

Interner Bericht
DESY F33-79/02
März 1979

VORTRÄGE AUF DER DPG

FROHJAHRSTAGUNG, BONN, 28.2.-2.3.1979

(Transparente)

PLUTO-Kollaboration

DESY-Bibliothek
19. APR. 1979

1961

Inhaltsverzeichnis:

Vorträge auf der DPG-Frühjahrstagung, Bonn 1979, Transparente
PLUTO-Kollaboration

<u>Inhalt</u>	<u>Seite</u>
Y-Mesonen und Jets in e^+e^- - Wechselwirkungen Plenarvortrag, J.Bürger, DESY	1
Messung des totalen hadronischen Wirkungsquerschnittes in der e^+e^- - Annihilation bei 9.4 GeV. Ch.Gerke, DESY	55
$q\bar{q}$ - Jets zwischen 3 und 17 GeV K.Derikum, DESY	67
Jet Analyse des Y-Zerfalls in geladene Hadronen. H.J.Meyer, GHS Siegen	83
Energieflußanalyse zur Struktur der Ereignisse der Y-Resonanz. H.J.Daum, GHS Wuppertal	115
Inklusive K_s^0 - Erzeugung in der e^+e^- -Vernichtung bei 9.4 GeV und beim Y- Zerfall. K.Wacker, GHS Wuppertal	127
Untersuchung des Zerfalls $\Upsilon \rightarrow \Psi + X$ mit dem Detektor PLUTO: O.Meyer, GHS Wuppertal	135
J^P - Analyse von $\rho\pi$ in $\tau \rightarrow \nu\rho^0\pi$. E.Lehmann, DESY	145
Untersuchungen an Zwei-Photon Ereignissen (PLUTO an PETRA) F.Raupach, RWTH Aachen	161
Ergebnisse der PLUTO-Kollaboration bei PETRA, σ_{tot} unter besonderer Berücksichtigung der Luminositätsmessung. W.Lackas, RWTH Aachen	179

Υ -Mesonen und Jets in e^+e^- - Wechselwirkungen

Jochen Bürger
DESY, Hamburg

Plenarvortrag auf der DPG-Frühjahrstagung
Hochenergiephysik
vom 28.2. - 2.3.1979 in Bonn

Kurzfassung

Der Vortrag beschäftigt sich mit den jüngsten Ergebnissen, die mit den e^+e^- -Speicherringen DORIS und PETRA am Deutschen Elektronen Synchrotron DESY in Hamburg gewonnen wurden.

Die Messung einer neuen Familie von schweren mesonischen Resonanzen, den sog. Υ -Mesonen, in der e^+e^- -Annihilation wird erläutert und ihre Interpretation als gebundene Zustände eines neuen fünften Quarks und seines Antiteilchens diskutiert.

Die Bestimmung des totalen hadronischen Wirkungsquerschnitts im Energiebereich von ca. 9 bis 17 GeV, der z.Zt. höchsten mit PETRA erreichbaren Schwerpunktsenergie, wird vorgestellt.

Bei der Untersuchung der Topologie hadronischer Ereignisse außerhalb der Υ -Resonanzen zeigen diese eine charakteristische Struktur. Ihre Teilchen sind typisch in zwei sog. Jets gebündelt, die als Hinweis auf zwei fragmentierende Quarks gedeutet werden können. Die Ereignisse auf der Υ -Resonanz zeigen eine andere Struktur, die von der Theorie der starken Wechselwirkung, der Quantenchromodynamik, durch die Fragmentation von drei "Gluonen", den Austauschteilchen der starken Wechselwirkung, erklärt wird.

Υ -Mesonen und Jets

in e^+e^- - Wechselwirkungen

in e^+e^- - Physik 78/79

- Υ, Υ' in e^+e^- (DORIS)

- JET-Struktur

had. Ereignisse (DORIS $\sqrt{s} = 10 \text{ GeV}$)
($\sqrt{s} \leq 17 \text{ GeV}$) PETRA ($s > 10 \text{ GeV}$)

Übersicht

1.) Totaler hadr. Wirkungsquerschnitt
bis $\sqrt{s} = 17 \text{ GeV}$

2.) Resonanzparameter der Υ -Ketten

3.) Jets

3a. vom Kontinuum

3b. von den Υ -Resonanzen

Beteiligte Detektoren

bei DORIS

(bis 10 GeV)

DASP 2 (DESY, Dortmund, Heidelberg, Lund)

Na3 - Bleiglas-Detektor (ehem. DESY-4D)

(DESY, Hamburg, Heidelberg, München)

PLUTO (Aachen, DESY, Hamburg, Siegen, Wuppertal)

bei PETRA

(13 und 17 GeV)

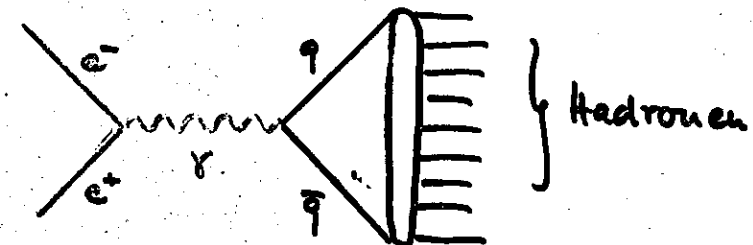
HARK III (Aachen, DESY, LAMP, HIT, NIKHEF,
Peking)

PLUTO (s.o. + Maryland + Bergen)

TASSO (Aachen, Berlin, DESY, Hamburg,
London, Oxford, Rutherford,
Weizmann, Wisconsin)

Totaler hadronischer

Wirkungsquerschnitt



e^+e^- - Annihilation

$$\sigma_{\text{tot}} \propto \sigma_{pp} \propto \frac{1}{s} \quad T_S = E_{\text{kin}}$$

$$R = \frac{\epsilon_{\text{ent}}}{\epsilon_{pp}} = \sum_i (c_f^i)^2$$

c_f^i = Quarkladung

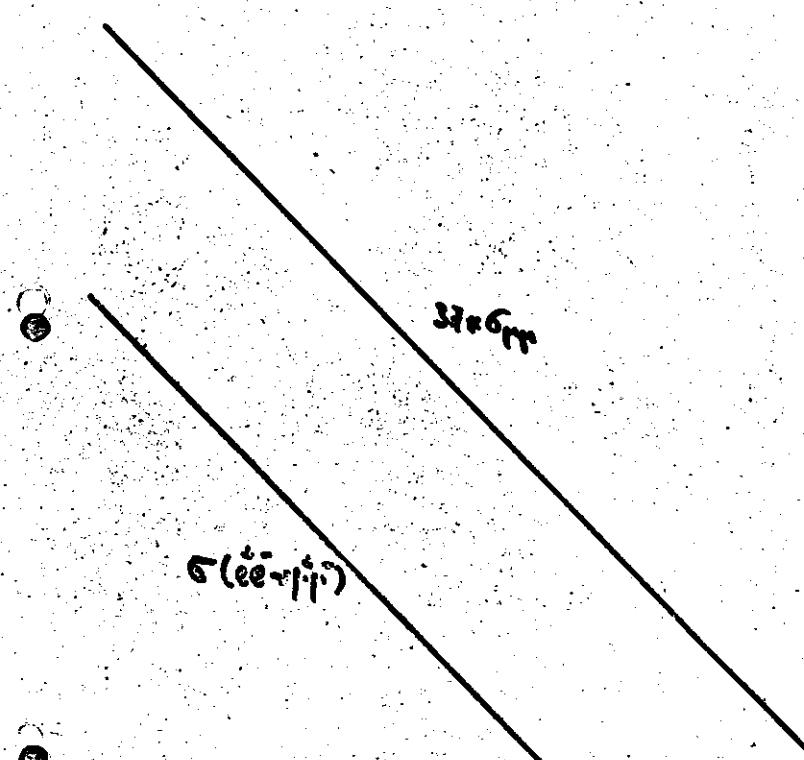
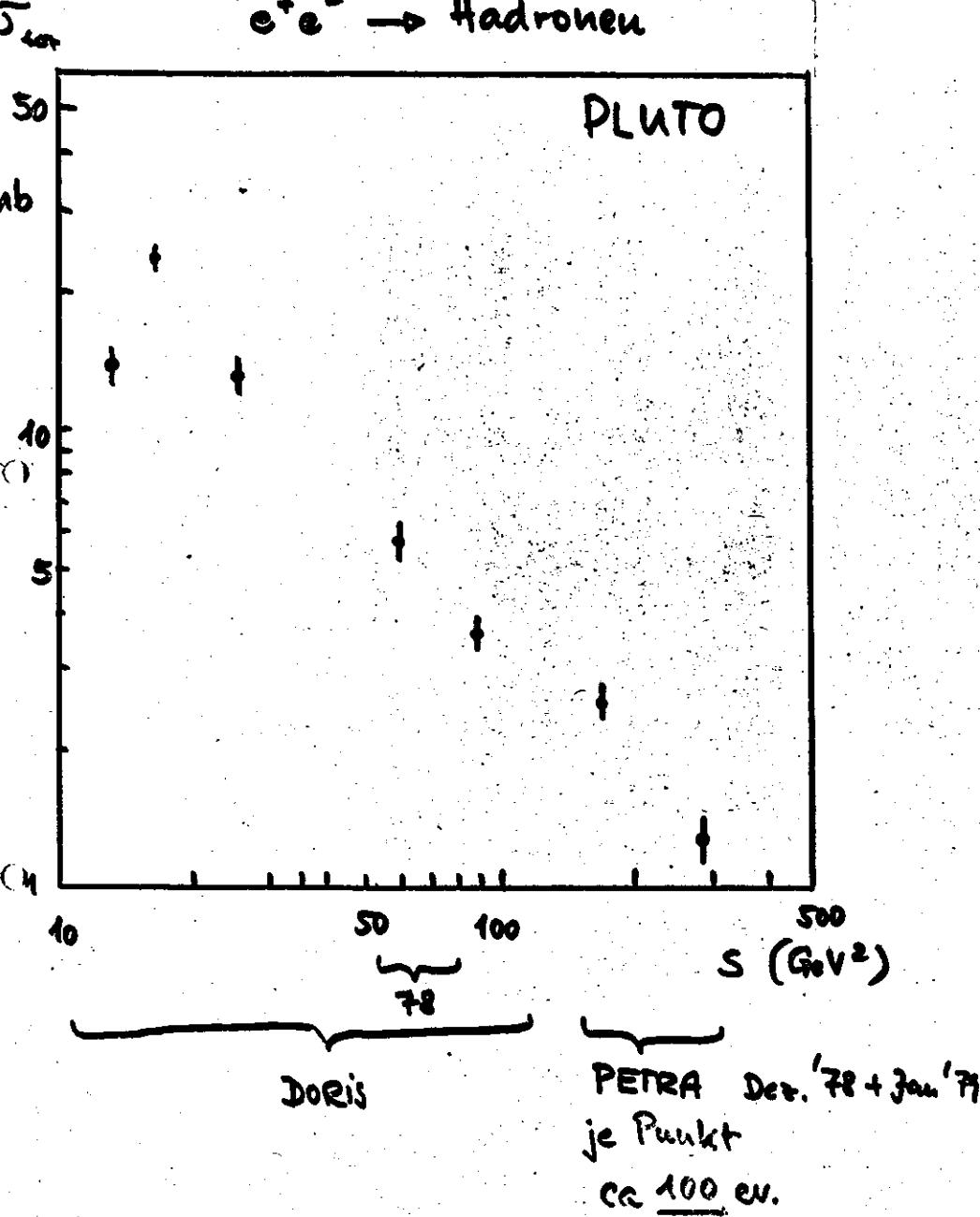
Summe über alle

Flavours
+ Colours

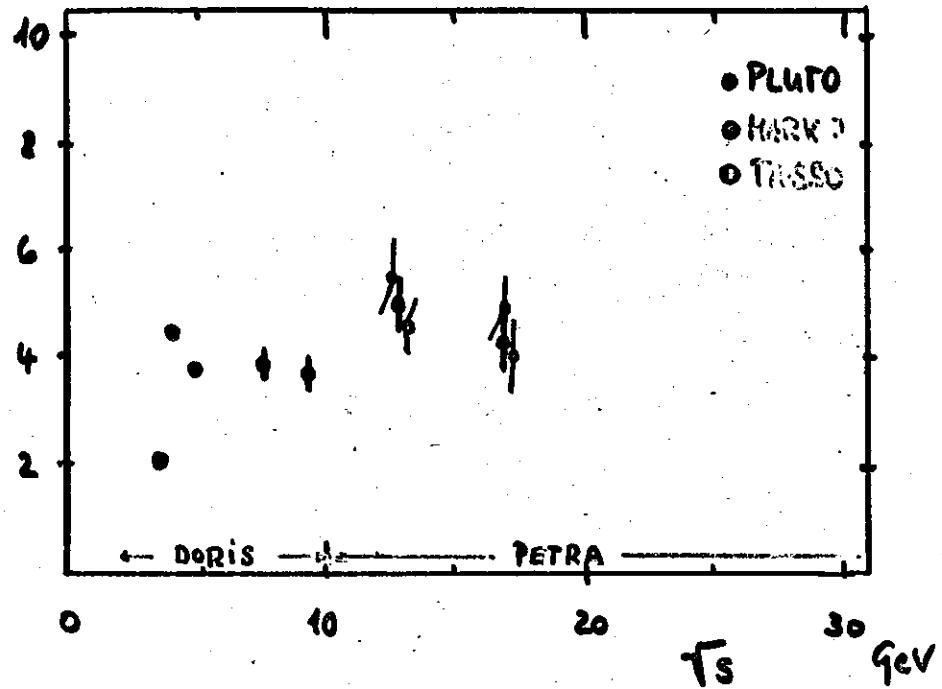
Exp. Probleme

- Untergrund (QED einschl. ZZ, cosmic)
- Detektor Akzeptanz + Auflösung
- Monitor (Reinheit des QED Blends - Störungen b.v. Q.)
- Streulichtgekoppelte Reaktionen

$e^+e^- \rightarrow \text{Hadronen}$



$$R = \sigma_{\text{tot}} / \sigma_{\mu\mu}$$



Nur statistische Fehler!

Systematische Fehler:

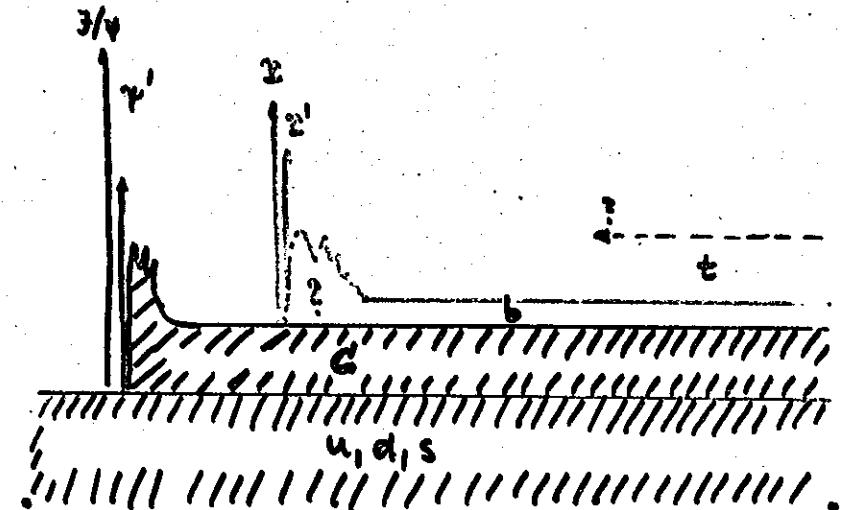
PLUTO : $> 10 \text{ GeV} \approx 20\%$ $< 10 \text{ GeV} \approx 15\%$

MARK J : $\approx 20\%$

PETRA : $\approx 20\%$

$|\log \frac{1}{R}| \approx 0.05$

$|\log(1-R)| \approx 0.05$



$$\text{QCD Korrekturen } R^{\text{corr}} = R \left(1 + \frac{ds}{s} + \dots \right)$$

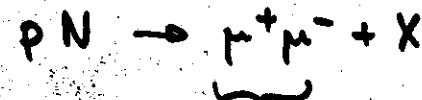
$$\frac{R^{\text{corr}} - R}{R} < 10\%$$

Folgerungen

- ① σ_{tot} zeigt über einen sehr großen Energiebereich den erwarteten $1/s$ Abfall
- ② Das Verhalten von R ist mit einfacheren Vorhersagen (Flavour- & Colour-Zählern) in großer Übereinstimmung, insbesondere ist für $V_3 \geq 13$ GeV für ein neues (5.) Quark-Plate.
- ③ Wegen großer systematischer Fehler kann oberhalb von 13 GeV nichts über den Beitrag eines zusätzlichen Quarks (6.) ausgesagt werden.

Eigenschaften der Λ -Resonanzen

Entdeckung: Juni 77 in FNAL
(Columbia, FNAL, Stony Brook)



Inv. Mass: Peak bei 9.5 GeV

④

⇒ Vermutung mehrer Zustände

⇒ Fragen:

Analoge ($q\bar{q}$) -Zustände
wie $3/4$ -Familie

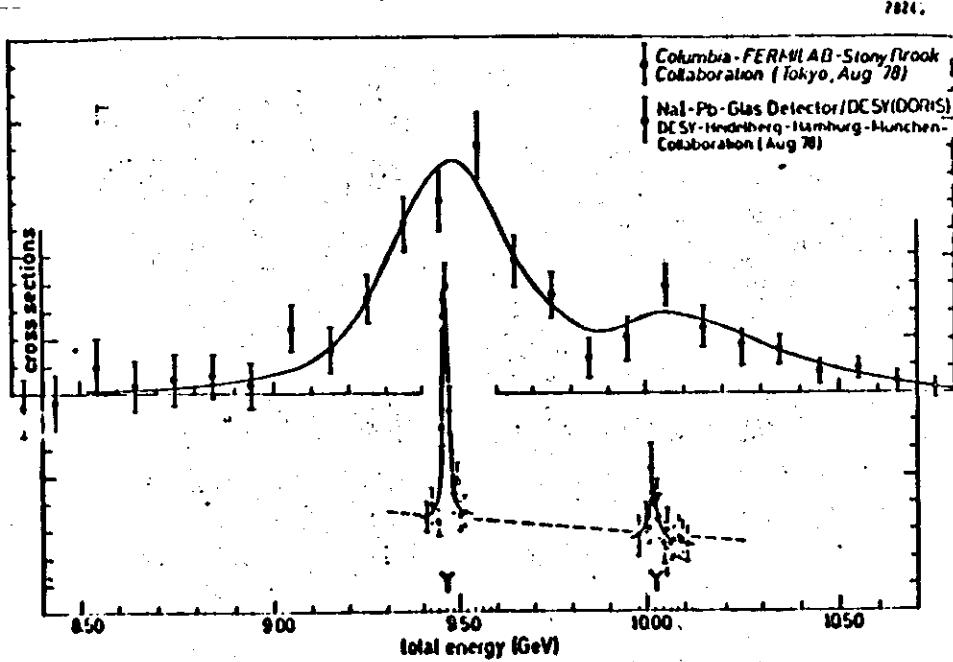
⇒ eige Resonanz(en) in e^+e^-

Frühjahr 78: Doris erreicht den Λ -Energiebereich

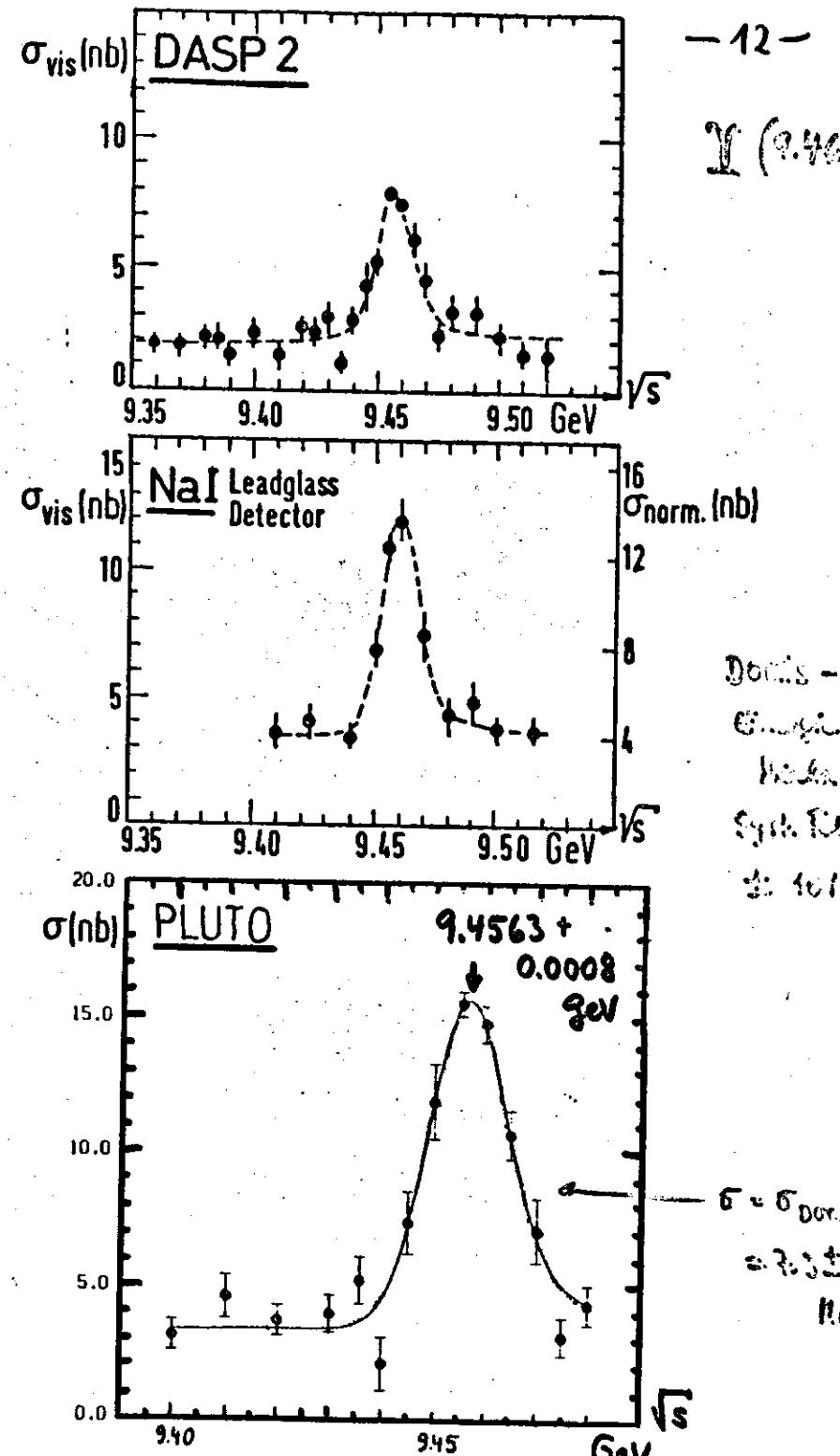
End April '78: Λ' gefunden

August '78: Ξ' gefunden

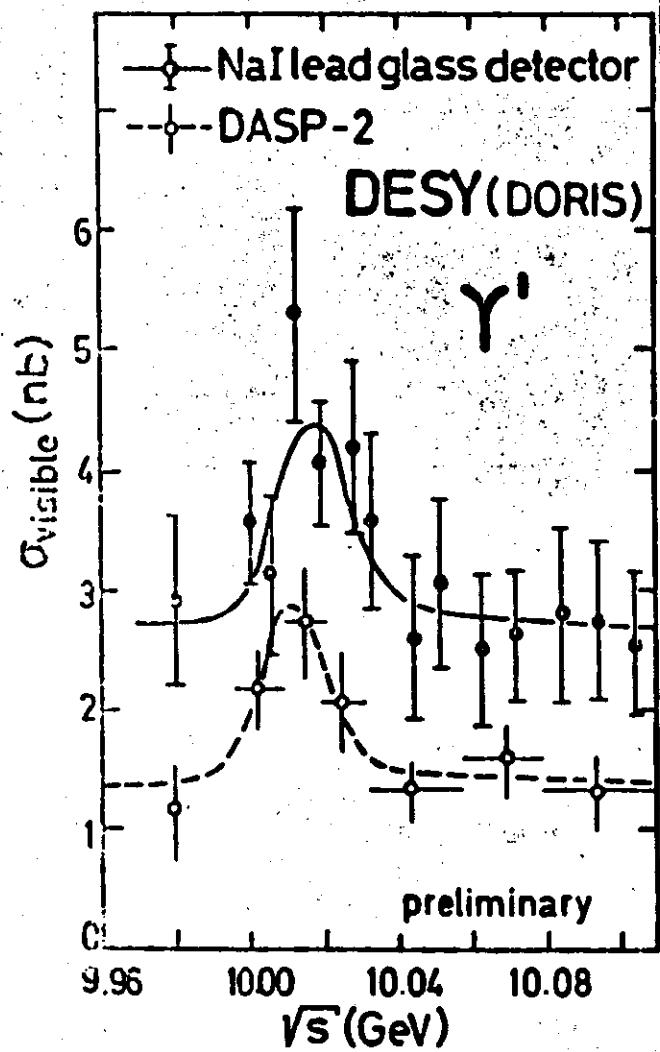
- 11 -



- 12 -



Υ' (10.02)



Bestimmung der Resonanzparameter

• Masse

Breit-Wigner-Fit
(einschl. Strahlungskorr.)

• Γ_{ee}

Breite : Maschinenauflösung
(Gaußverteilung)

Resonanzintegrale

$$\int \sigma_{\text{int}} dts$$

$$I = \frac{6\pi^2}{M_X^2} \cdot \frac{\Gamma_{\text{tot}} f_h}{\Gamma_{\text{int}}} \approx \frac{6\pi^2}{M_X^2} \cdot \Gamma_{ee}$$

$$\Gamma_{ee} \approx f_h, f_h \approx \Gamma_{\text{tot}}$$

• $B_{\mu\mu} = BR(\Upsilon \rightarrow \mu\mu)$

$$= \frac{\sigma_{\mu\mu}^{\text{on}} - \sigma_{\mu\mu}^{\text{off}}}{\sigma_{\text{tot}}}$$

• $\Gamma_{\text{tot}} = \frac{\Gamma_{\mu\mu}}{B_{\mu\mu}} = \frac{\Gamma_{ee}}{B_{\mu\mu}}$

Ergodnisse

I

MASSE : (GeV) (einschl. Syst. Fehler)

DASP2	9.46 ± 0.01
Na 3	9.46 ± 0.01
PLUTO	9.46 ± 0.01
	9.46 ± 0.01

Γ_{ee} : (keV)

DASP2	1.5 ± 0.4
Na 3	1.04 ± 0.28
PLUTO	1.33 ± 0.14

B_{pp} : (%)

DASP2	2.5 ± 2.1
Na 3	1.0 ± 1.0
PLUTO	2.2 ± 2.0

Γ_{tot} : (keV) weitere Grenzen (2 St. Abz.).

DASP 2	> 20
Na 3	> 15
PLUTO	> 21

$$\left. \begin{array}{l} \text{obere Grenze:} \\ \Gamma_{\text{DASP2}} = 7 \text{ MeV} \\ \Rightarrow \Gamma_{\text{tot}} < 18 \text{ keV} \end{array} \right\}$$

"Beste" Wert: $\Gamma_{\text{tot}} > 57 \text{ keV}$

Ergodnisse

I'

Masse : (GeV)

Na 3	10.02 ± 0.02
PLUTO	10.012 ± 0.020

Γ_{ee} : (keV)

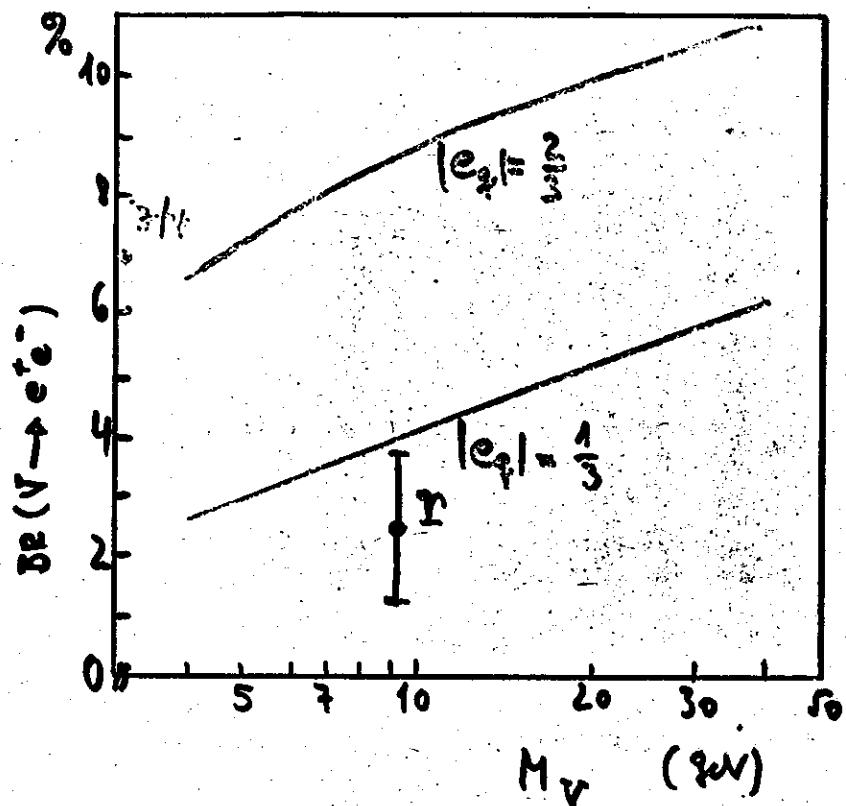
Na 3	0.32 ± 0.13
DASP 2	0.35 ± 0.14

\Rightarrow Massendifferenz $H(\chi') - H(\chi)$

$$= 558 \pm 10 \text{ MeV}$$

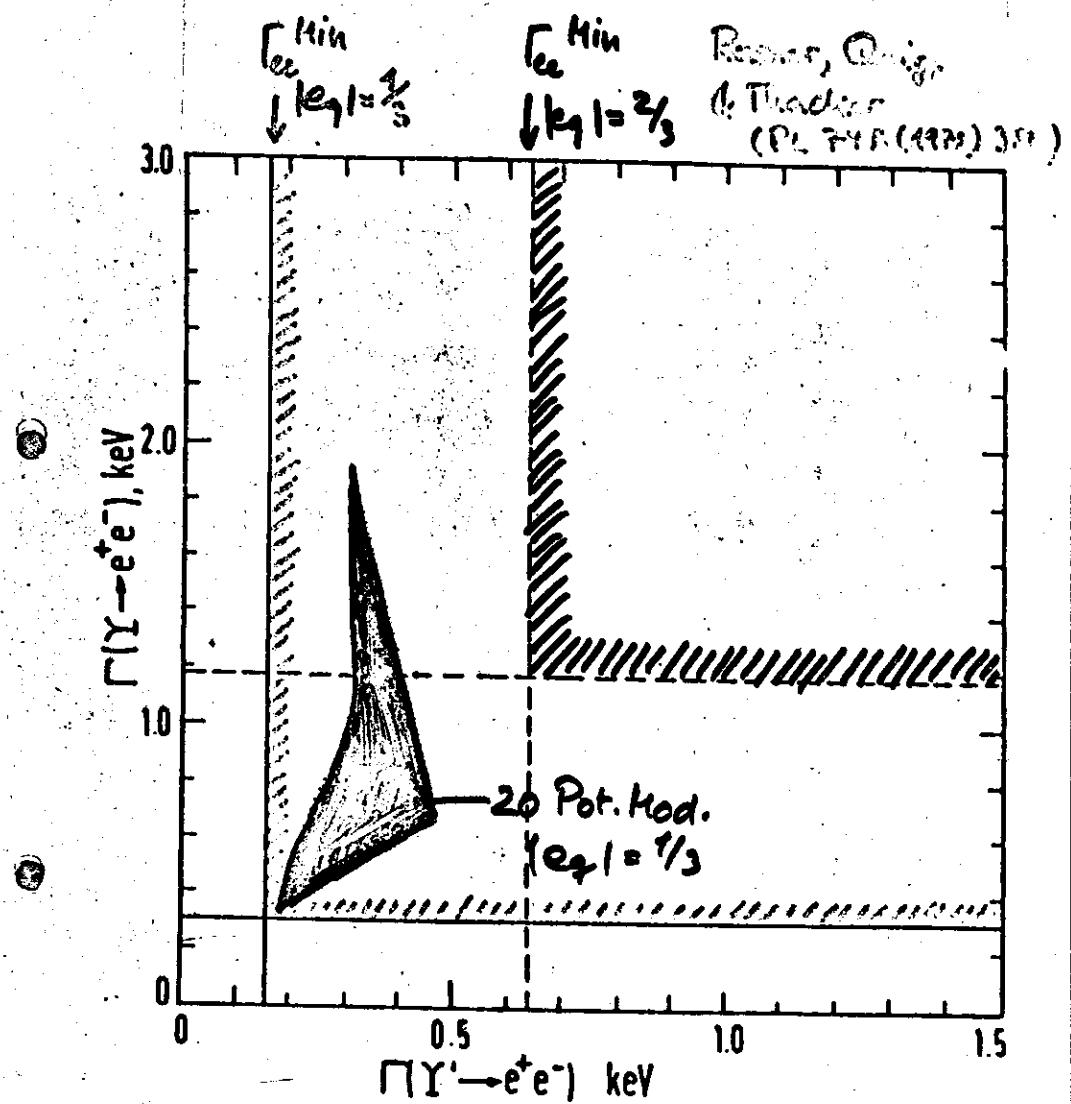
Vergleiche: $H_{\pi^+} - H_{\pi^-} = 591 \text{ MeV}$ ist sieg.

$$\Gamma_{ee}(\chi') \approx \frac{1}{4} \Gamma_e(\chi)$$



$$\text{Br}(\gamma \rightarrow \mu^+ \mu^-) \approx (7 \pm 1)\%$$

$$\text{Br}(\gamma \rightarrow e^+ e^-) \approx (2.3 \pm 1.4)\%$$



Doris



- $\Gamma, \Gamma' = (b\bar{b})$ Zustände
- $|e_b| = 1/3$ bevorzugt
- Massenaufspaltung $(c\bar{c}) \approx (b\bar{b})$

Jets in e^+e^- -Annihilation

Vorbemerkung:

- (Quarks)-Fragmentationsfkt!

(siehe Beamer)

Bei allen Prozessen in denen ein Quark in Hadronen fragmentiert ist diese Fragmentation unabhängig von der Vorgeschichte des Quarks

$$\Rightarrow D_q^h \left(\frac{E_{\text{hadron}}}{E_{\text{Quark}}} \right) \quad \underline{\text{Scaling}}$$

$$\Leftrightarrow \langle p_\perp \rangle \text{ beschw.} \\ (\text{bezüglich Quark-Richtung})$$

\Rightarrow Hadronen sind kollinear zu
die Quark-Richtung

\Rightarrow "Jet" "Fetadise"

• Q.C.D.

Verletzung des Skalarcharakters

Gluonen als Austauschteilchen
der starken W.W.

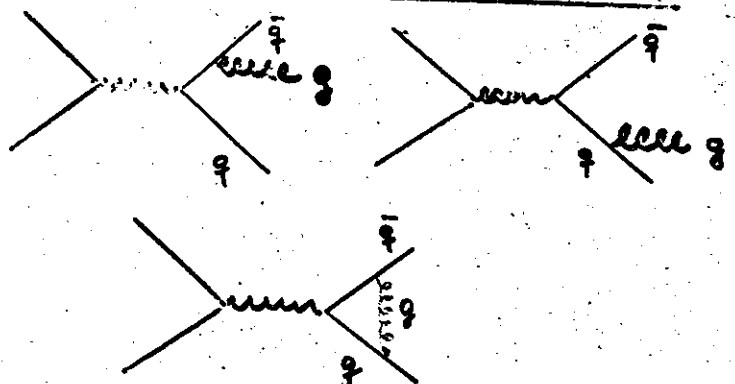
1. Ordnung \equiv Quark-Parton-Modell

Föhre:

Ordnungen \equiv Prozesse bei denen
Gluonen auftreten

\Rightarrow Berechenbar in Ordnungen von α_s

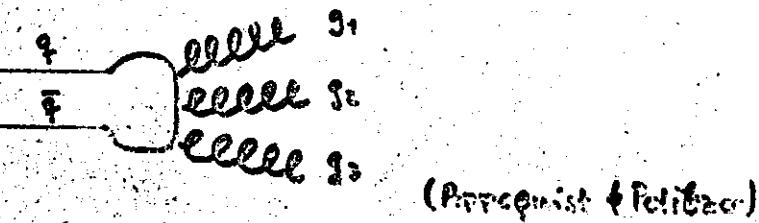
\Rightarrow "Strahlungs"-korrekturen
Gluon Bremsstrahlung



Weitere Quelle für Gluonen:

Resonanzen mit $J^P = 1^-$ (z.B. J)

zerfallen in 3 Gluonen



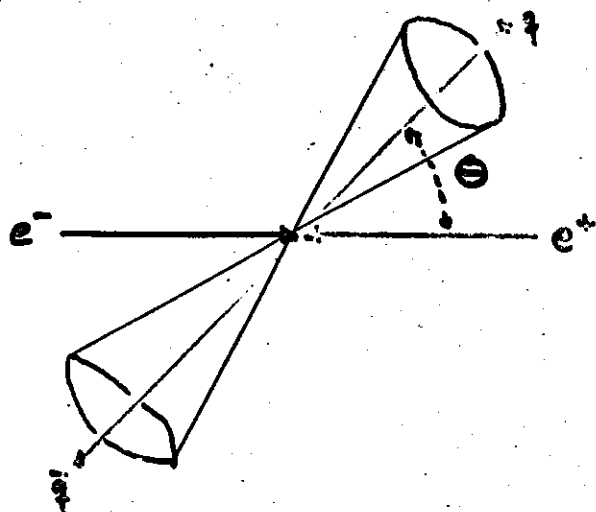
EXPERIMENTELL:

- Sind die Jets nicht trennbar
 \Rightarrow Aufweitung der Jets
(KEINE $\langle p_{Tj} \rangle$ - Begrenzung)
- Sind sie trennbar:
 \Rightarrow n-jet - Struktur ($n > 2$)

JET's in e^+e^- -Annihilierungen

- Quarks als punktförmige Konstituenten mit Spin $\frac{1}{2}$
- ⇒ Richtungsverteilung der Quarks (= Jettachsen). Wie für andere Spin $\frac{1}{2}$ Teilchen (z.B. μ^\pm)

$$\frac{d\sigma}{d\Omega} \propto 1 + \cos^2 \theta$$



2... JET's - Strukturen

(ausführliche der Lernvoraus.)

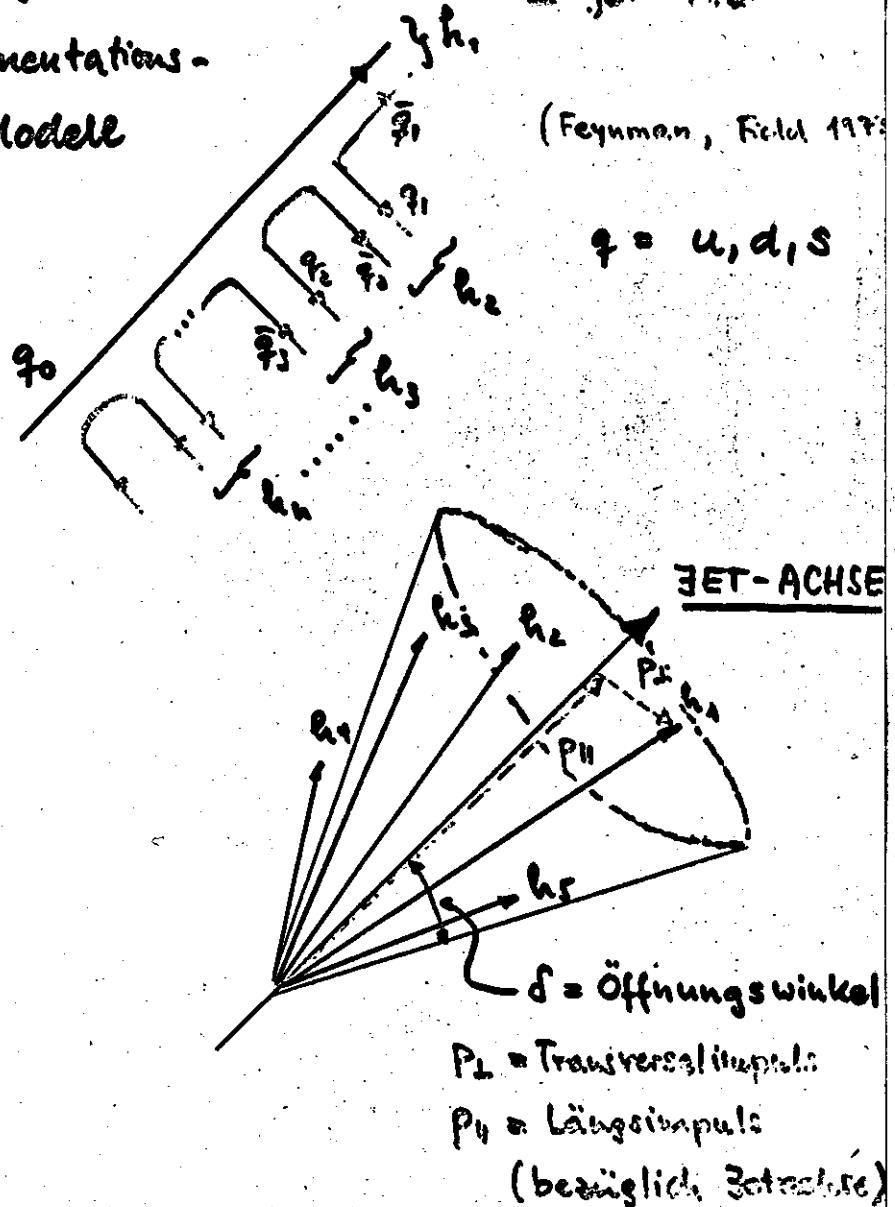
Daten:

S.0 - 3.2 GeV	Spear	Suff.-LBH
3.6 - 6.0 GeV		PLUTO
7.3 GeV	Doris	PLUTO
9.4 GeV		PLUTO, NA3
10 GeV	PETRA	NA3
13 GeV		PETRA, TASSO
17 GeV		

Experimentell

- Bestimmung der Intensität
(meist nur eine getaktete, T₁)
 - Messung von Verteilung... bezüglich
dieser Größe
 P_{\perp} , P_{\parallel} , Öffnungswinkel
 - Neutralie zur selektiven Energieverteilung
- Vergleich: mit 2-Jet-Modell
(Monte Carlo)

Quark-
Fragmentations-
Modell



JET - Maße

SPHERICITY

Def.: $S = \frac{3}{2} \min \frac{\sum_i p_{\perp i}^2}{\sum_i p_i^2}$

Berechn. Eigenwert des
"Trägheitstensors"

$$T^{\alpha\beta} = \sum_i (p_i^\alpha p_i^\beta - p_i^2 \delta^{\alpha\beta})$$

$$\lambda_1 \leq \lambda_2 \leq \lambda_3$$

$$S = \frac{3\lambda_3}{\lambda_1 + \lambda_2 + \lambda_3}$$

Wertebereich

isotrop

$$S=1$$

extr. "jetty"

$$S=0$$

THRUST

$$T = \max \frac{\sum_i |p_i^z|}{\sum_i |p_i^z|}$$

(max. directed momentum)

Kombinatorisches
Verfahren

$$T \approx 0.5$$

$$T \approx 1$$

- Thrust u. Sphericity Achse zeigen in gleiche Richtung (inkompl. Auflösung) (Pinguo)
⇒ meist nur 1 Größe diskutiert

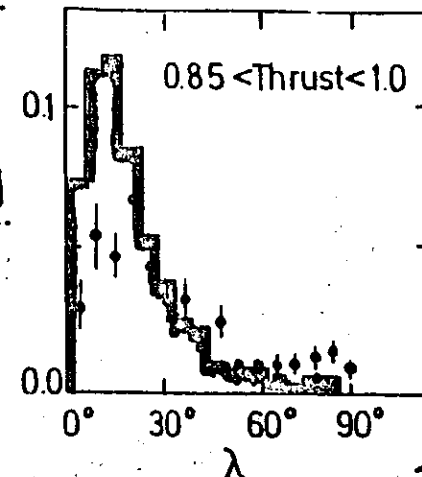
VERGLEICH

Neutral. E_T

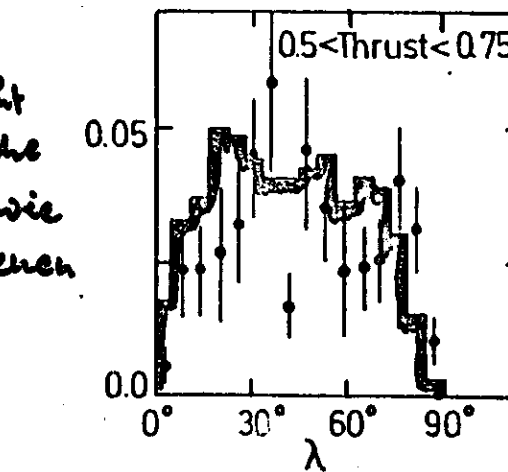
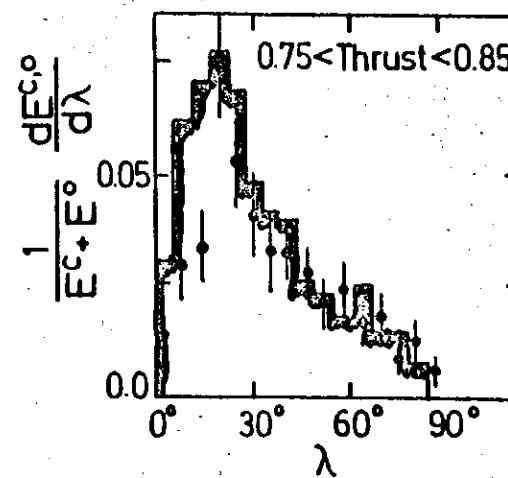
Neutral

geladene. E_T

- 27 -



PLUTO
9.4 GeV

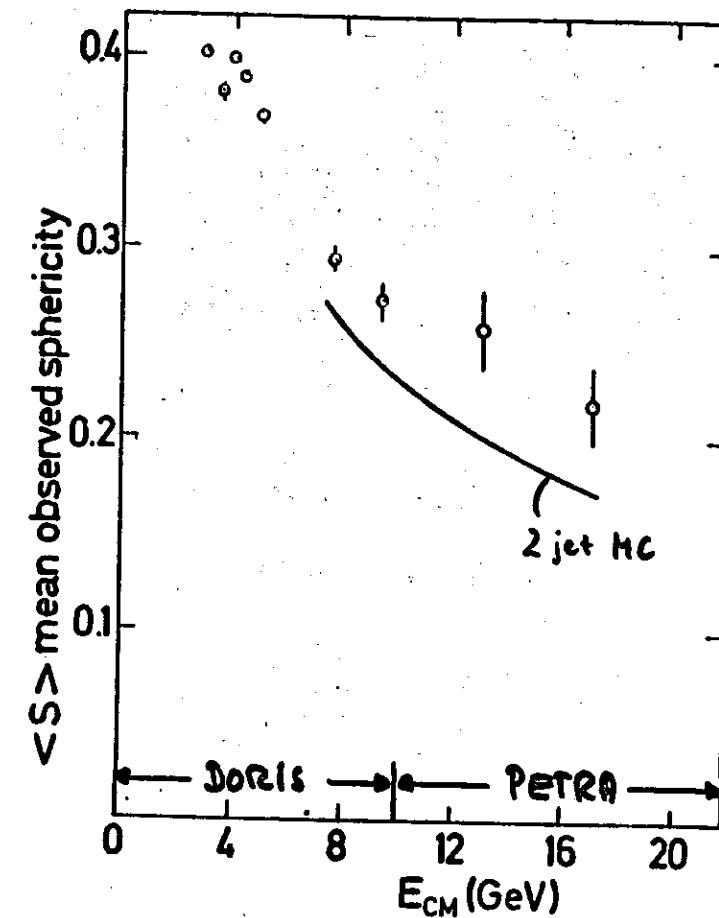


NEUTRALE

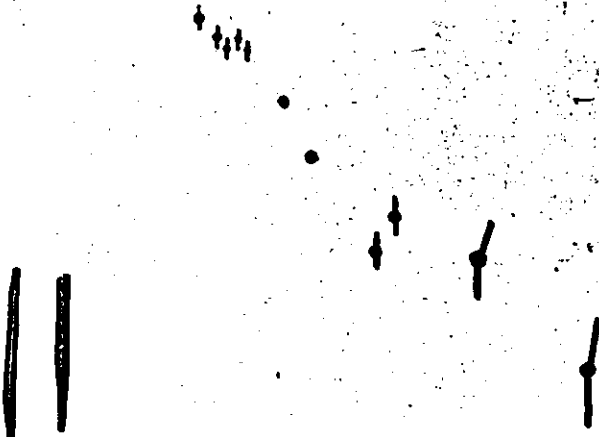
Energie geht
in die gleiche
Richtung wie
die geladenen
Teilchen.

- 28 -

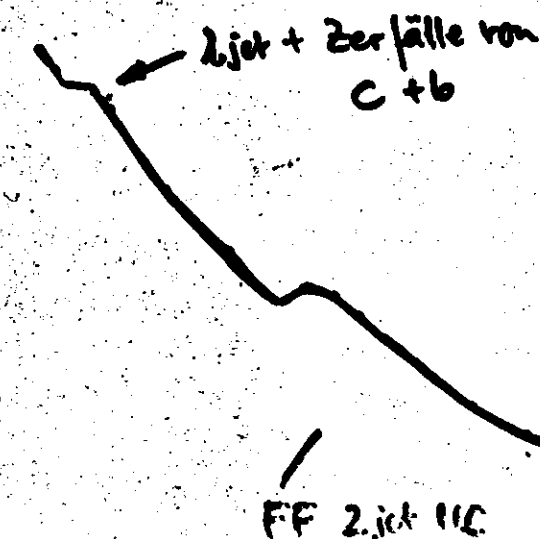
PLUTO



- SLAC-LBL
- Na 3
- TASSO



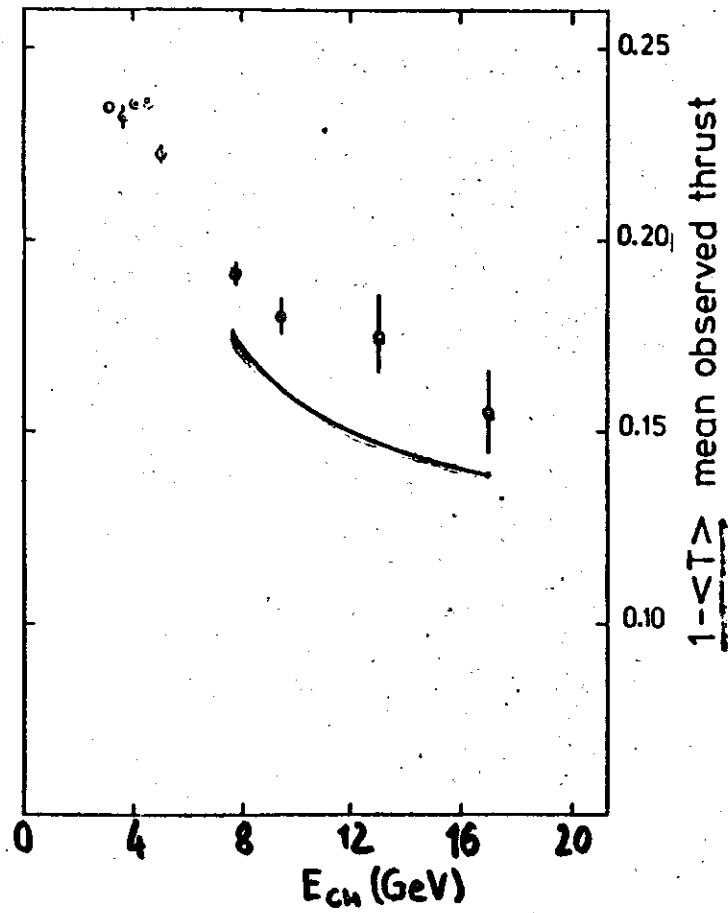
- Ali et al.



FF 2-jet HIC

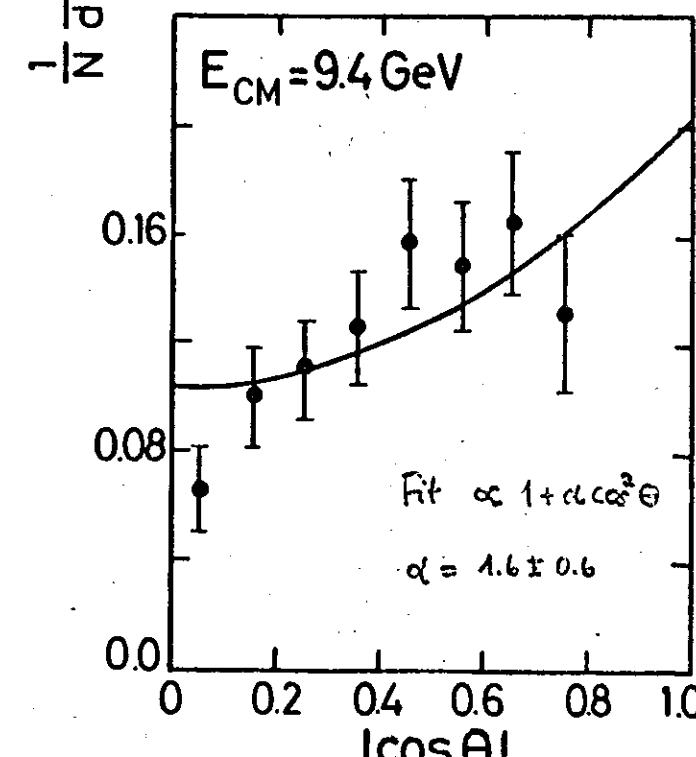
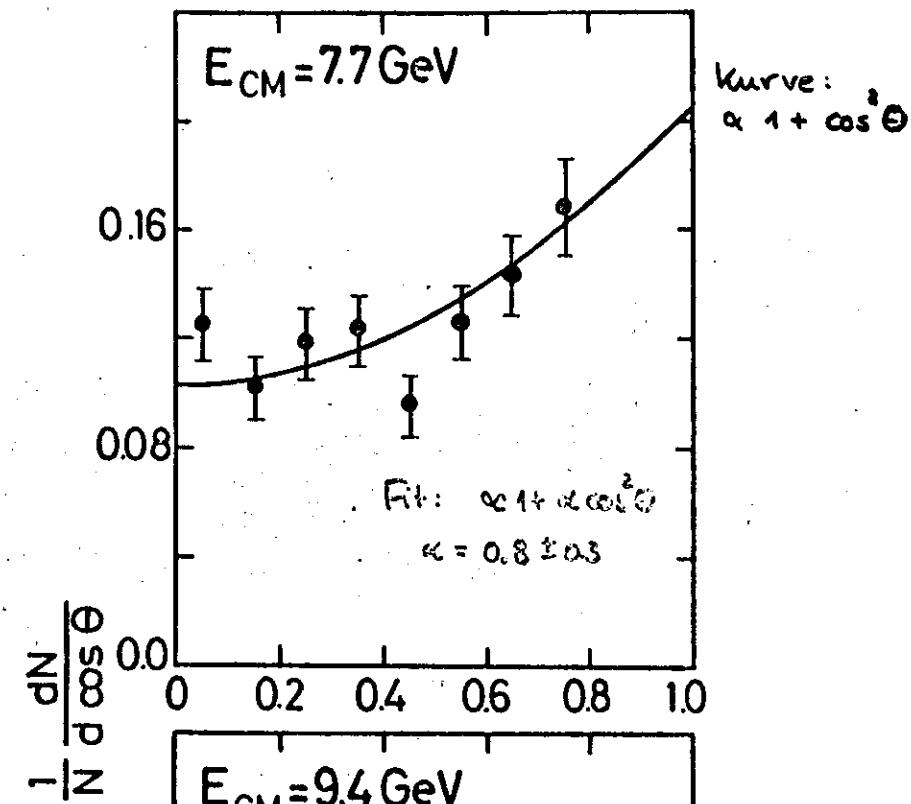
2-jet + Zerfälle von
C + b

-31-

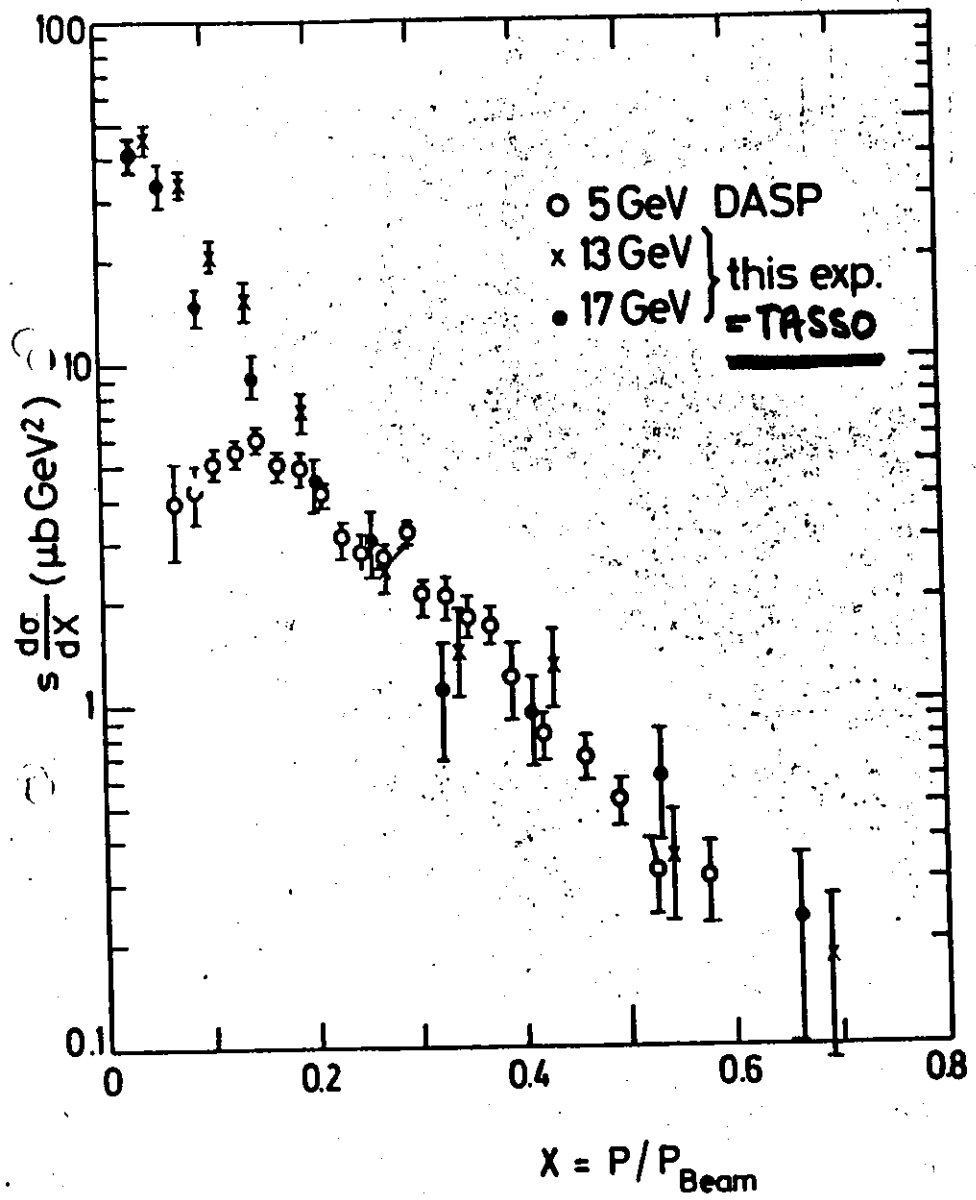


Thrust Axis Distribution

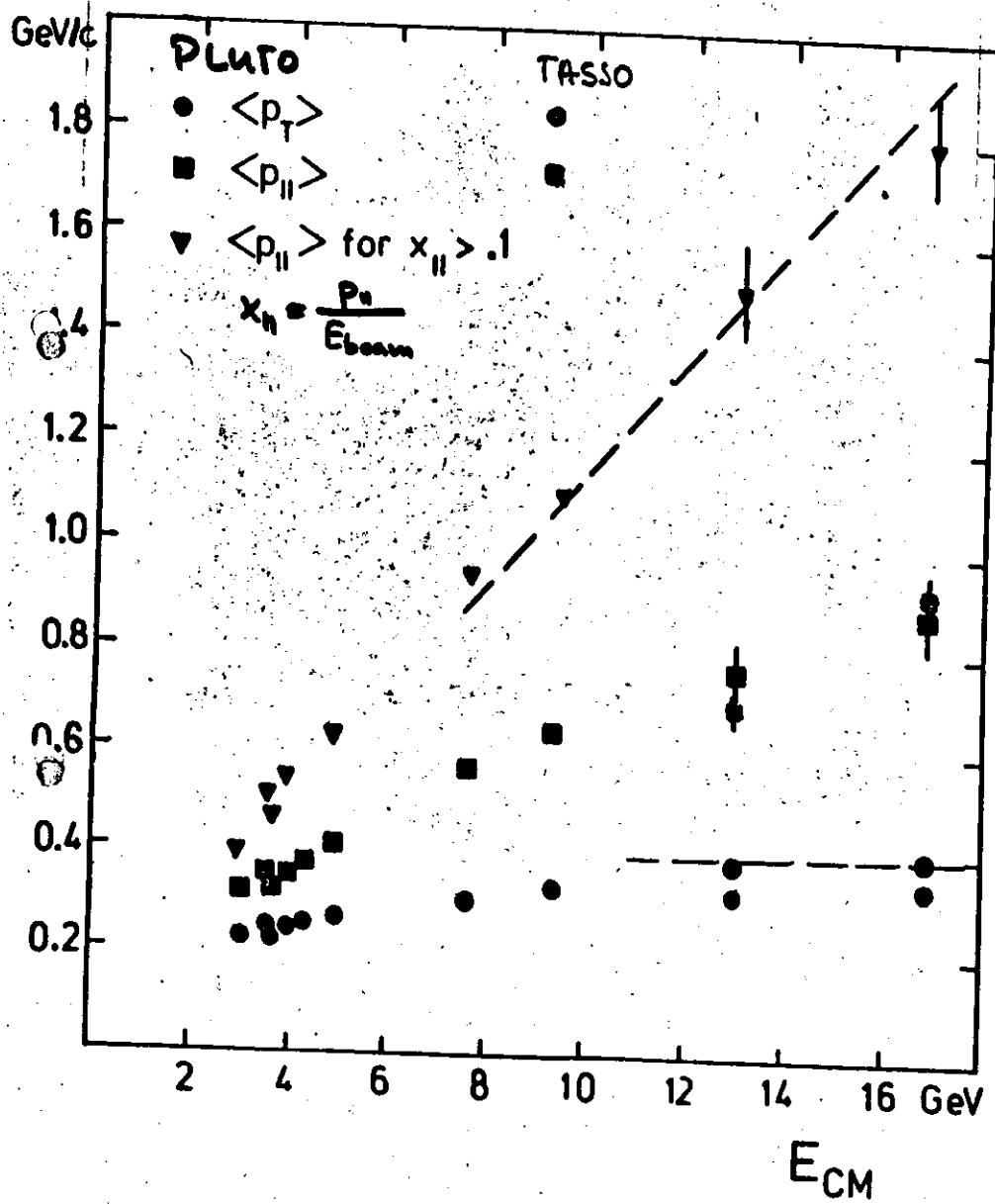
-32-

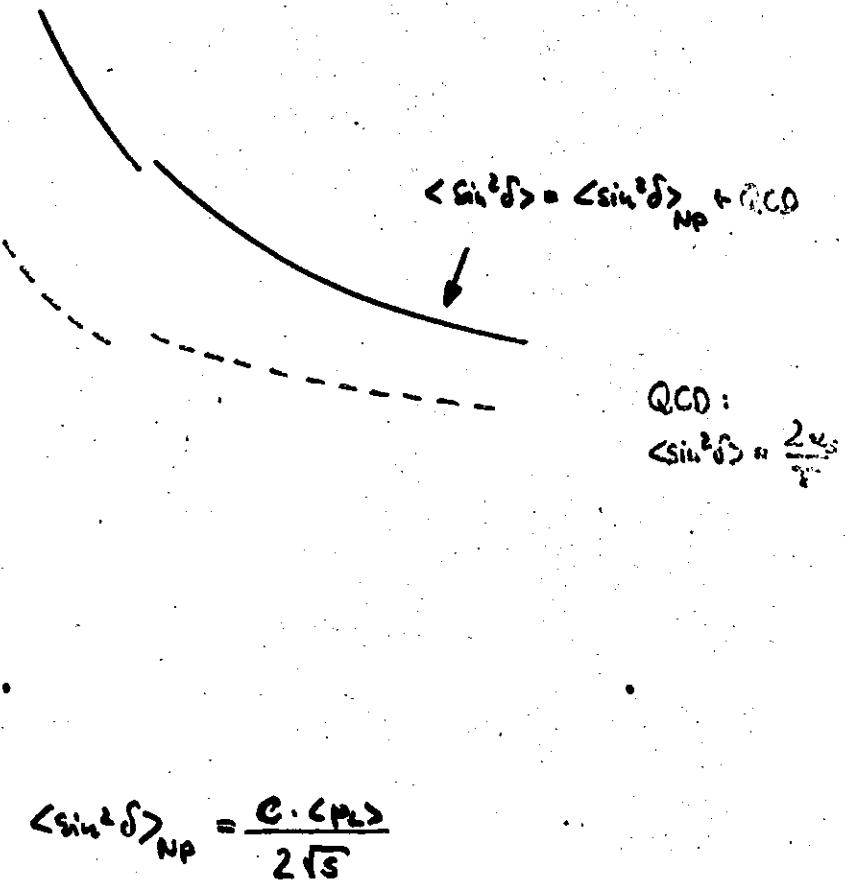


INKLUSIVE 1-Teilchen-Spektren



$\langle p_T \rangle$ und $\langle p_{\parallel} \rangle$ - Verteilungen
(beobachtet)

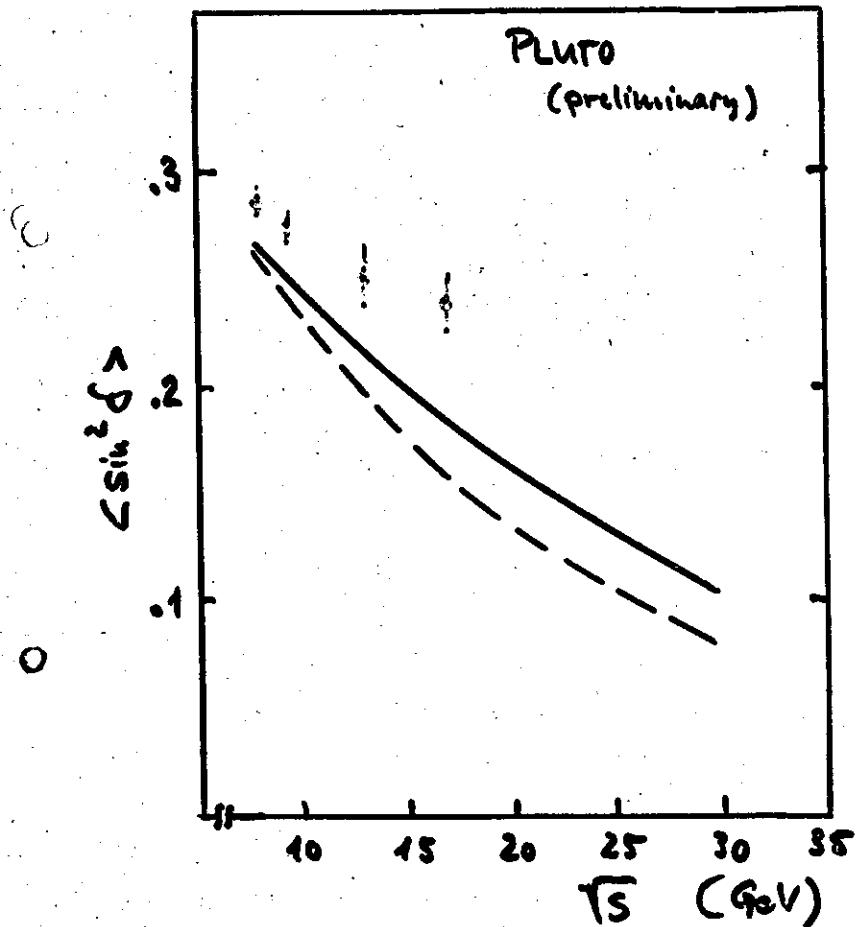




- Kurve ist Theorie
- Effekte der b-Quark-Schwelle nicht berücksichtigt!

o PLUTO (Luminos.)

— { F.F. -2 jet MC { $\not\!\! \text{bez. Thrust}$,
 ... " Quark.



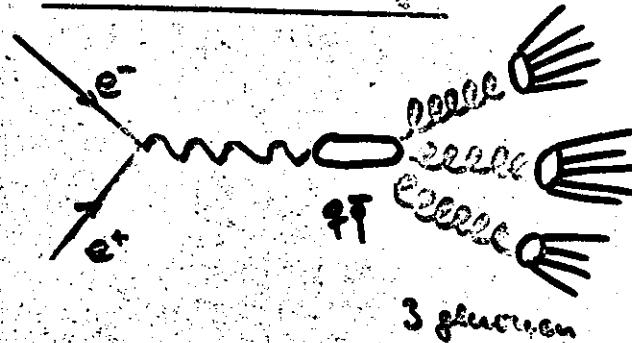
Folgerungen (2-jets)

- Hadronische Jets werden oberhalb $T_S = 5 \text{ GeV}$ beobachtet.
- Qualitative Übereinstimmung mit Vorhersagen des Quark-Parton-Modells
 - $\langle p_T \rangle \rightarrow \text{konst.}$
 - Öffnungswinkel wird klein
 - Winkelrest. für Spin $\frac{1}{2}$ Teilchen.
- Differenzen Daten - MC erkläbar (c, b, ... Quarks, red. Korrekturen, Schwellen u.s.w.) Anteile von QCD-Jets können nicht ausgeschlossen werden.
(QCD-Jets können erst mit einem entspr. H.C. untersucht werden!)

Zerfälle von $q\bar{q}$ - Pseudoskalaren

(Quarkonium)

QCD - Vorhersage



3 gluonen

$e^+e^- \rightarrow (q\bar{q}) \rightarrow 3 \text{ Gluonen} \rightarrow 3 \text{ Jets}$

Kandidat für diesen Zerfall ($b\bar{b}$) = Y

Vorhersagen (z.B. Koller, Kraemann & Ulrich)

- 3 Jet - Ereignisstruktur
- flache Ereignisse
- Winkelverteilung der Thrust-Achse
- $\langle T \rangle$
- u.v.a.m.

Experimentell

- Bestimme Detektore und Verteilungen analog 2-jet
- Zusätzlich:
Untersuche ob Topologie des Ereignisses flach ist

Vergleich der Ergebnisse mit

- 3-Gluon MC
- 2-Jet MC
- Multipion Phasenraum MC

Comput. Methoden

- Matrixelement $\Sigma \rightarrow 3$ gluonen
(mehrere Aktiv-Potenziale können ein Jet in 3 Fluoren.)
- Fragmentation Gluon \rightarrow Jet (Hadronen)

Probleme

- Fragmentation von Gluonen unbekannt
- Gluonen haben niedrige Energien
(Das niederenenergetische Gluon hat im Mittel nur 2 GeV)
- Adjustierung von Energie- und Impulserhaltung des Lichtuntergebnisses.

OFF =

-41-

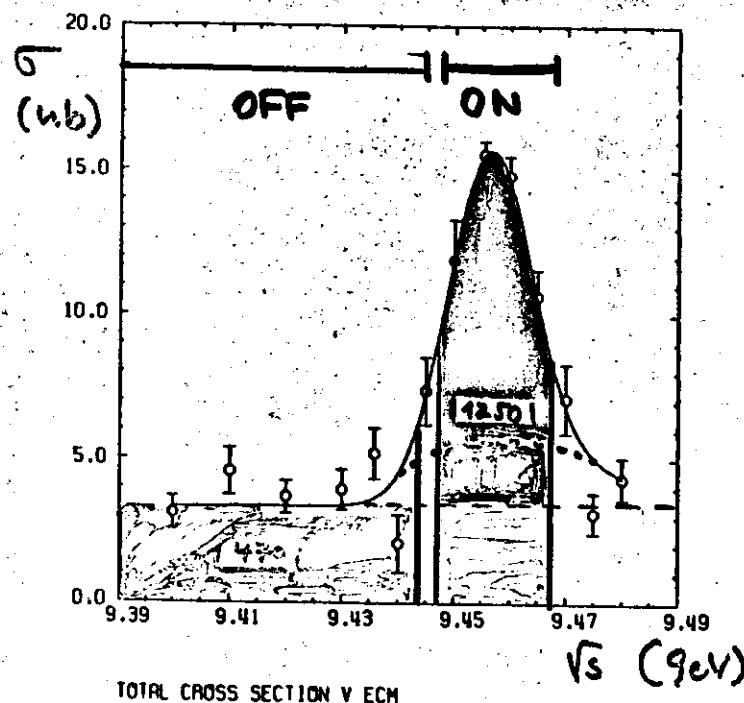
470 ev.

ON =
kontinuum Vakuum -
 Polarisation

1872 ev =

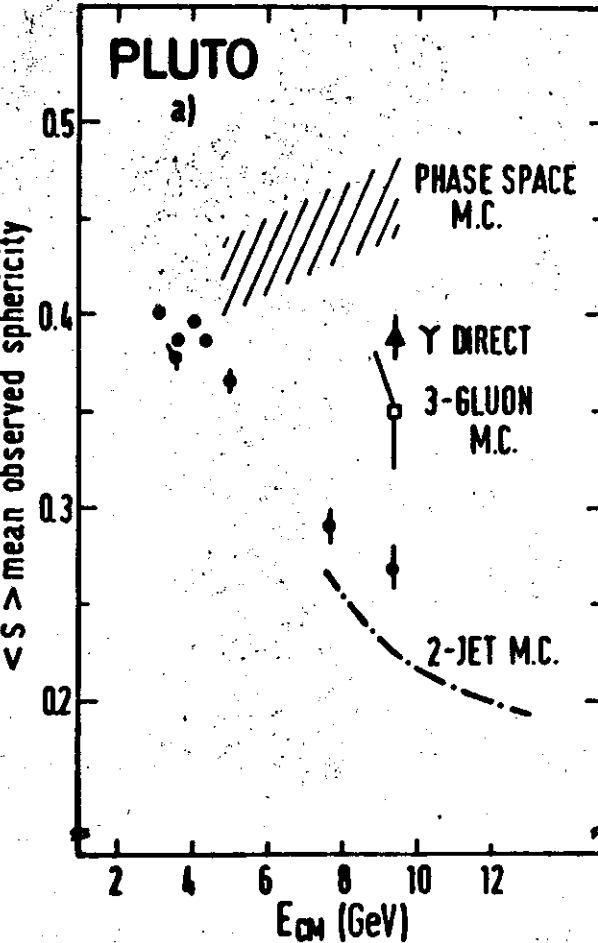
622

1250 ev



$$\sigma^{\text{dir}} = \sigma^{\text{on}} - \sigma^{\text{off}} \left(1 + \frac{\sigma_{\mu\mu}^{\text{on}} - \sigma_{\mu\mu}^{\text{off}}}{\sigma_{\mu\mu}^{\text{off}}} \right)$$

-42-



$\Delta \{ \text{Na}^3 \}$

Messung des Na^3 -Detektors beruhen hauptsächlich auf der Verwendung zentraler Teilchen

Messung der "Flachheit"

PLUTO : Q - Parameter

→ Trägheitstensor zur Bestimmung der Sphéricité

3 Eigenvektoren \vec{p}^k

3 Eigenwerte λ_k

$$Q_k = 1 - \frac{2\lambda_k}{\lambda_1 + \lambda_2 + \lambda_3}$$

$$= \frac{\sum_i (p_{||i})^2}{\sum_i p_i^2}$$

$p_{||}^k$ = Impulskomponente
parallel zu \vec{p}^k

$$\Rightarrow \sum_k Q_k = 1$$

⇒ "Dach" PLUTO

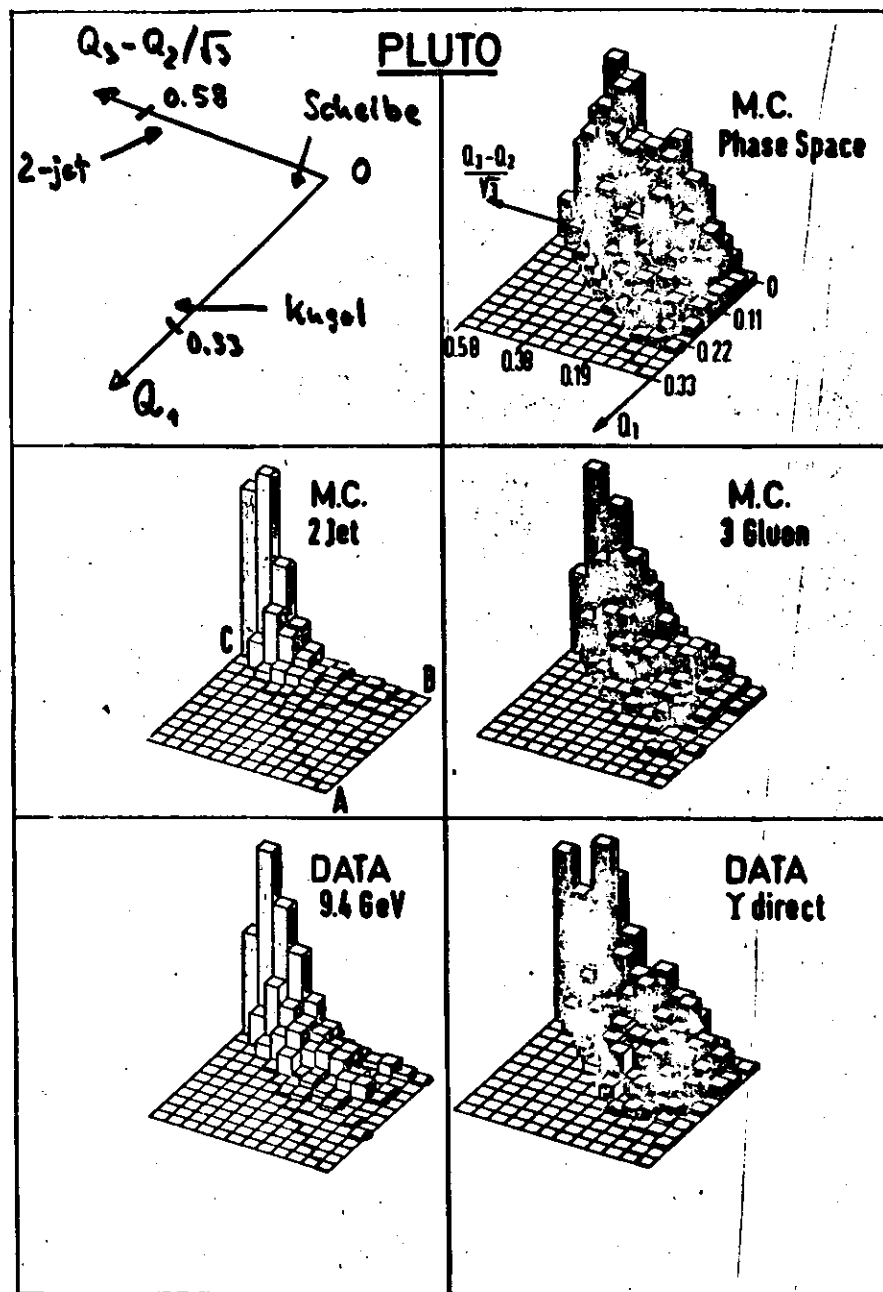
$$Q_1 \rightarrow (Q_1 - \bar{Q}_1)/\bar{Q}_1$$

für $\lambda_1 \gg \lambda_2 \geq \lambda_3$

$Q_1 \Rightarrow$ Maß für "Flachheit"

$Q_1 = 0 \hat{=} \text{ebene Konfig.}$

$Q_1 = 1/3 \hat{=} \text{isotrope Konf.}$



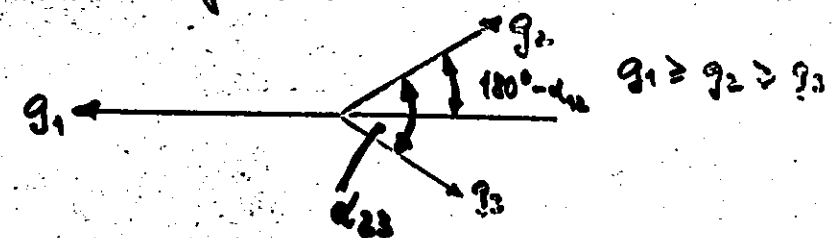
Kann man aus der räumlichen Verteilung der Energie auf die Gluon - Richtungen schließen?

PLUTO (vorläufig)

- Untersuchung des Energiefusses geladener + neutrale Energie

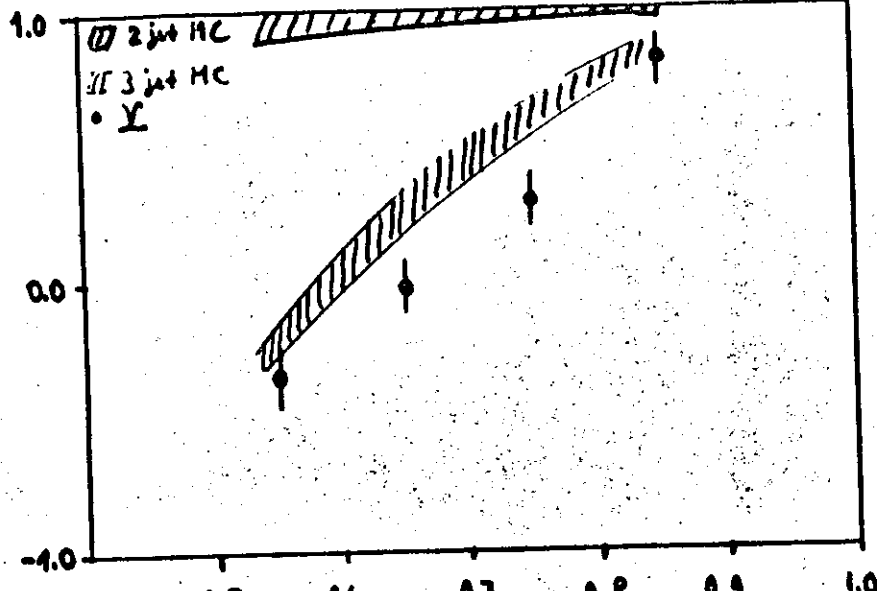
Bestimme

- Richtung des schnellsten Gluons
- Ebene des Ereignisses
- Richtung der anderen beiden Gluonen

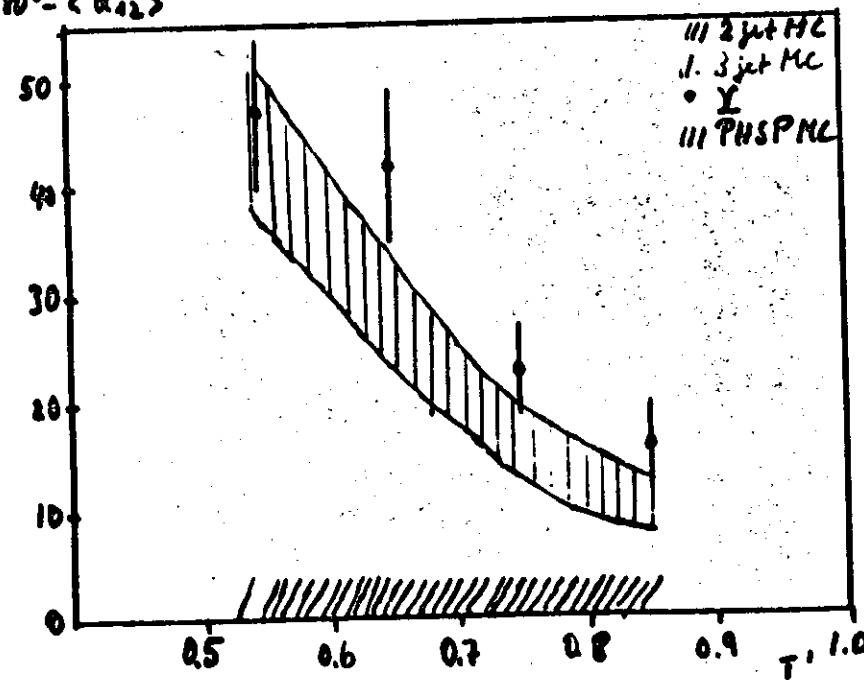


-47-

$\langle \cos \alpha_{23} \rangle$

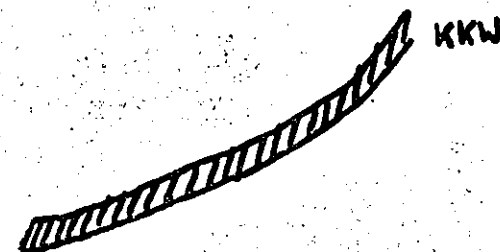


$180^\circ - \langle \alpha_{23} \rangle$



-48-

KKW = Koller, Kraemann, Welch



Folgerungen ($\Gamma \rightarrow$ Hadronen)

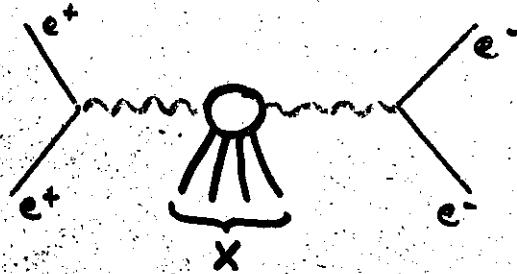
- Γ - Daten zeigen andres Verhalten als die Daten außerhalb des De-Schawt:

 - größere Sphericity
 - größere Multiplicity

- Die Energieverteilung geladener und neutraler Teilchen ist gleich
- Γ - Daten stimmen qualitativ und quantitativ gut mit einem einfachen 3-Gluon - MC überein, aber nicht mit einem (Multi-Pion) - Phaserraum MC.
(Übereinstimmung mit anderen Phaserräumen (mit Resonanzen) sind damit nicht ausgedlossen)

Eine neue Perspektive der e^+e^- Physik:

2 γ - Wechselwirkungen



$$X = \left. \begin{array}{l} e^+e^- \\ \mu^+\mu^- \\ \tau^+\tau^- \end{array} \right\} \text{QED}$$

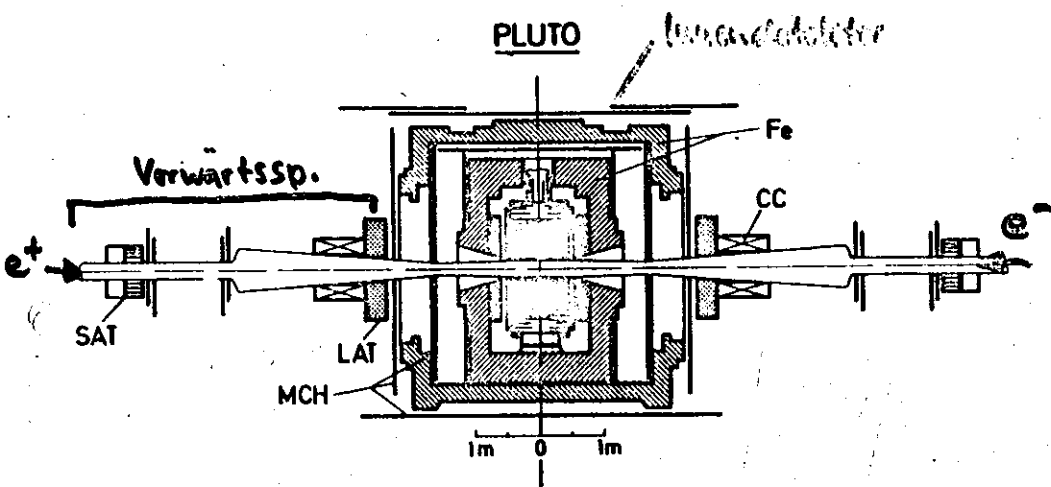
Hadronen
Resonanzen
($C = +1$, z.B. η_c !)

Wirkungsquerschnitt $\propto \log s$

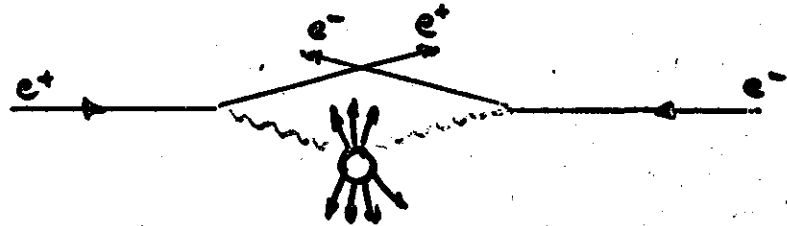
↓
2 γ Prozeß wird dominant

(Untergrund für Annihilation)

↓
Interessant als Prozeß
(z.B. Streuung von Bosonen)

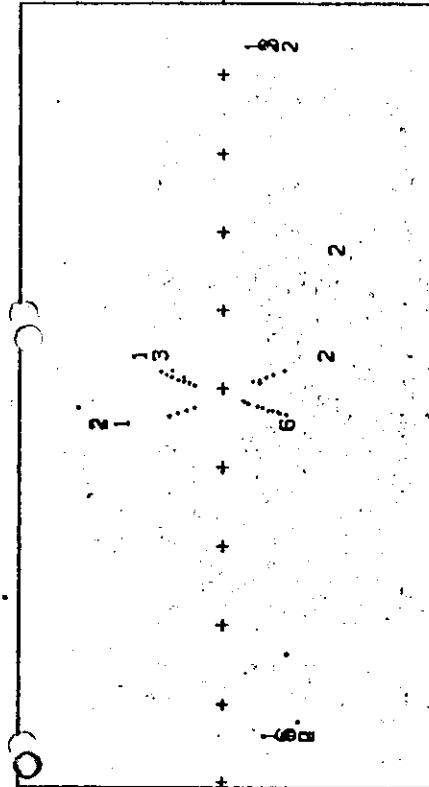


Kinematik des 2j-Prozess:



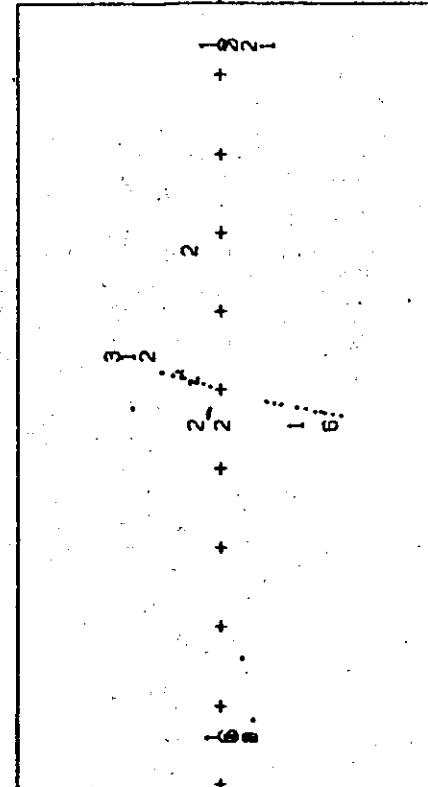
- Messung von e^+ und/oder e^- im Vorwärtspektrometer
- mit gleichzeitigen "Ereignis" im LAr-detektor (wobei Ereignis \ll Eich)

von oben



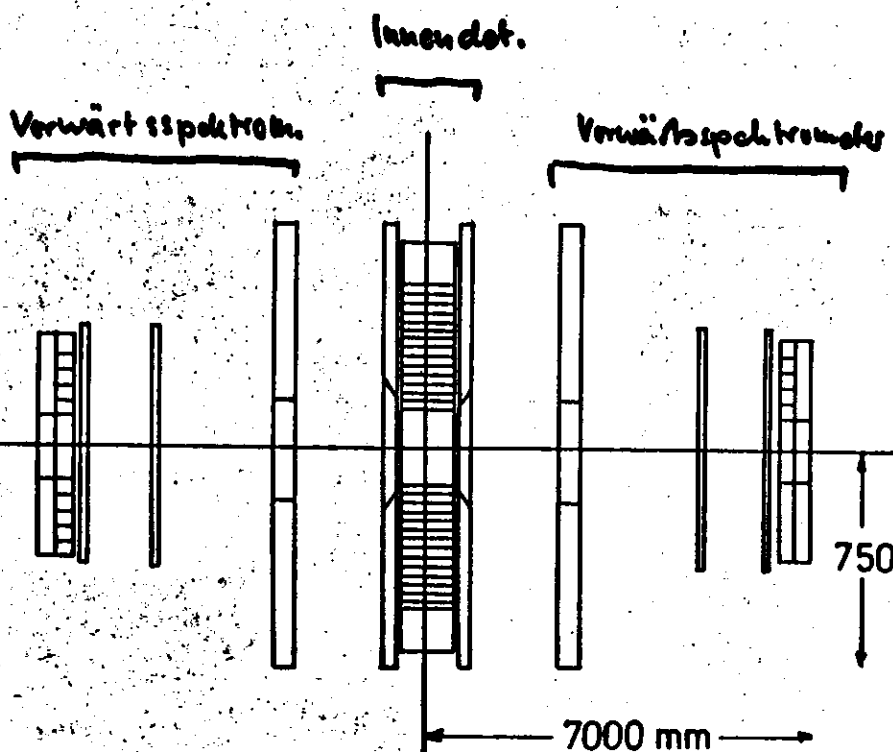
RUN # 18994
EVENT # 1867
X-VERSUS-Z AND
Y-VERSUS-Z VIEW
-7500. < Z < 1500.
-750. < X < 750.

von der Seite





$e^+ e^- + \text{hadronen}$



Messung des totalen hadronischen
Wirkungsquerschnittes in der
 e^+e^- -Annihilation bei 9.4 GeV

Christian Gerke
DESY, Hamburg

Messung des totalen hadronischen
Wirkungsquerschnittes in der e^+e^- -Annihilation
bei 9.4 GeV

PLUTO Collaboration

Ch. Berger, W. Lackas, F. Raupach, W. Wagner

I. Physikalisches Institut der Universität Bonn

G. Alexander¹, L. Criegee, H. C. Dehne, K. Derikum, R. Devenish,

G. Flügge, G. Franke, Ch. Gerke, E. Hackmack, P. Harms, G. Horlitz,

Th. Kahl², G. Kries, E. Lehmann, B. Neumann, R. L. Thompson³, U. Tiede,

P. Waloscheck, G. G. Winter, S. Wolff, W. Zimmermann

Deutsches Elektronen-Synchrotron DESY HAMBURG

O. Achterberg, V. Blobel, L. Boesten, H. Daumann, A. F. Garfinkel⁴,

H. Kopitzka, B. Koppitz, W. Lührsen, R. Maschuw, H. Spitzer,

R. van Staa, G. Wetjen

II. Institut für Experimentalphysik der Universität Bonn

A. Bäcker, J. Bürger, C. Grupen, H. J. Meyer, G. Zech

DEUTSCHE FEDERATION DER TECHNIKUNIVERSITÄTEN

H. J. Daum, H. Meyer, O. Meyer, M. Rössler, K. Wacker

DEUTSCHE FEDERATION DER TECHNIKUNIVERSITÄTEN

Hamburg, May 8, 1978

Submitted to Physics Letters

¹On leave from Tel-Aviv University, Israel

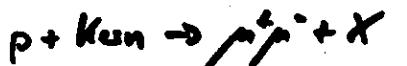
²Now at Max-Planck-Institut für Physik und Astrophysik, München

³On leave from Humboldt University, Arcata, California, USA

⁴On leave from Purdue University, West Lafayette Ind., USA

Pluto Proposal : 8.7.77

Juni 1977: Eine FNAL - Kollaboration entdeckt das Υ in der Reaktion



Masse $M(\mu^+ \mu^-) \approx 9.5 \text{ GeV}$, Breite der Maschinenauflösung

$$\text{FNAL: } \Gamma_{FWHM} = (500 \pm 100) \text{ MeV}$$

$$\text{DORIS: } \Gamma_{FWHM} = 18 \text{ MeV}$$

Problem: kann DORIS Luminosität bei 10 GeV liefern? \rightarrow Degénér

Wie?

$$\sigma(e^+ e^- \rightarrow \text{Hadronen}) = N \cdot \frac{1}{E} \cdot \frac{1}{L} \cdot (1 + \delta)$$

- 1) Finden der hadronischen Ereignisse
- 2) Bestimmung des Detektor-Akzeptanz
- 3) Messung der Luminosität
- 4) Strahlungskorrekturen
- 5) Interpretation

Supraleitende Spulen 1.7 Tesla

10 zylindrische Prop. kammon 90% von Y_{π}

Schauerzähler 94% von Y_{π}

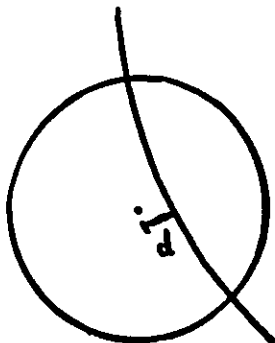
Trigger

Spurdetektoren in den Prop. kammen

Energie in den Schauerzählern

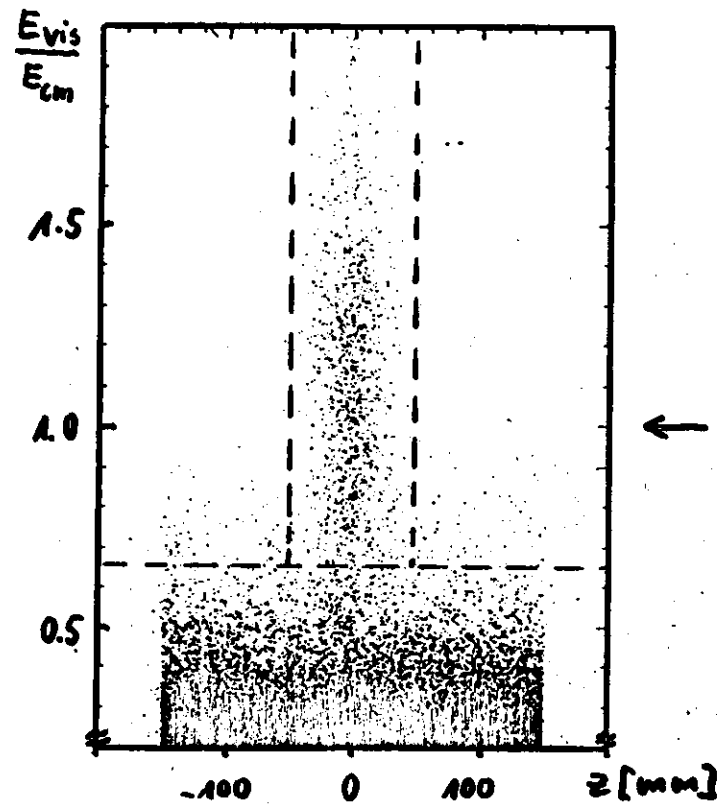
Rate $\approx 10 \text{ Hz}$ 80% Strahl-Restgas-WW
20% Höhenstrahlung

Hadronische Ereignisse $\approx 100 / \text{Tag}$



- 59 -

Reduktion der Ereignisse
aus der Höhenstrahlung
 $d < 10 \text{ mm}$
 $\Delta z < 20 \text{ mm}$

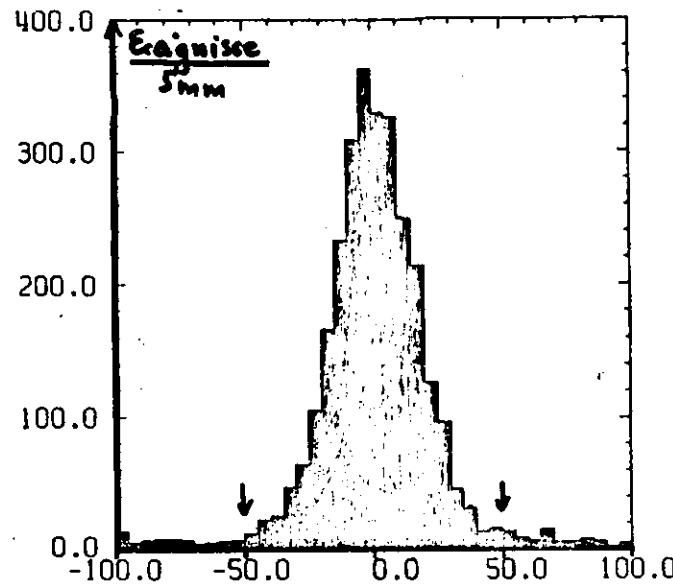


Reduktion der Ereignisse aus Stahl-Gas-WW

$$E_{\text{vis}} > \frac{2}{3} E_{\text{cm}}$$

$$\Delta z < 50 \text{ mm}$$

- 60 -



Ereignisse aus der e^+e^- -Wechselwirkung

Endzustand	Schnitt
QED $\mu^+\mu^-$	$\varphi > 30^\circ$ ✓
0 $\gamma\gamma$	$\varphi > 30^\circ$ ✓
$e^+e^-, e^+\bar{e}\gamma$	Schwerenergie zur Spur $< \frac{2}{3} E_{\text{cm}}$
$t\bar{t}$	Monte Carlo
pp -Reaktionen $e^+e^- \rightarrow e^+e^- X$	E gemessen $> \frac{2}{3} E_{\text{cm}}$

Hadronen aus
 e^+e^- -Kollision
524 Ereignisse neben dem Γ
1361 " " auf dem Γ

Bestimmung der Akzeptanz

-61-

3 Monte Carlo Programme

Pionen - Phasenraum

Input: Mittlere Multiplicität geladen neutral

2 jet Monte Carlo nach Field & Feynman
nur u,d,s
keine freien Parameter

3 Gluon Monte Carlo

Input: Mittlerer Transversalimpuls
neutral : geladene

Akzeptanz für PLUTO 80%
systematischer Fehler $\pm 10\%$

Multiplicitätsaufzaltung

$$\begin{pmatrix} n_1^{\text{obs}} \\ \vdots \\ n_m^{\text{obs}} \end{pmatrix} = \begin{pmatrix} c_{11} & & & \\ & \ddots & & \\ & & \ddots & \\ & & & c_{mm} \end{pmatrix} \cdot \begin{pmatrix} n_1^{\text{true}} \\ n_2^{\text{true}} \\ \vdots \\ n_m^{\text{true}} \end{pmatrix}$$

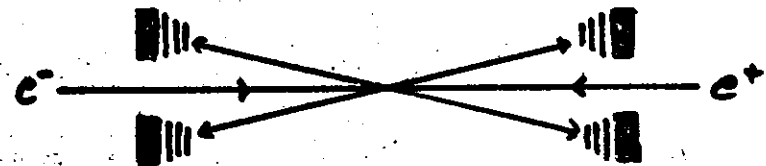
Messung der Luminosität.

-62-

$$\text{Def.: } L = \frac{\text{Rate}}{\sigma}$$

$$\text{Bhabha - Kleinwinkelstreuung } \frac{d\sigma}{d\Omega} = \frac{16\alpha^2}{\sin^2 \theta}$$

PLUTO bei DORIS:



$$\langle \theta \rangle \approx 180 \text{ mrad}$$

$$\text{Rate} \approx 1 \text{ Ereignis / Minute} \Rightarrow L \approx 5 \cdot 10^{29} \text{ cm}^{-2} \text{ s}^{-1}$$

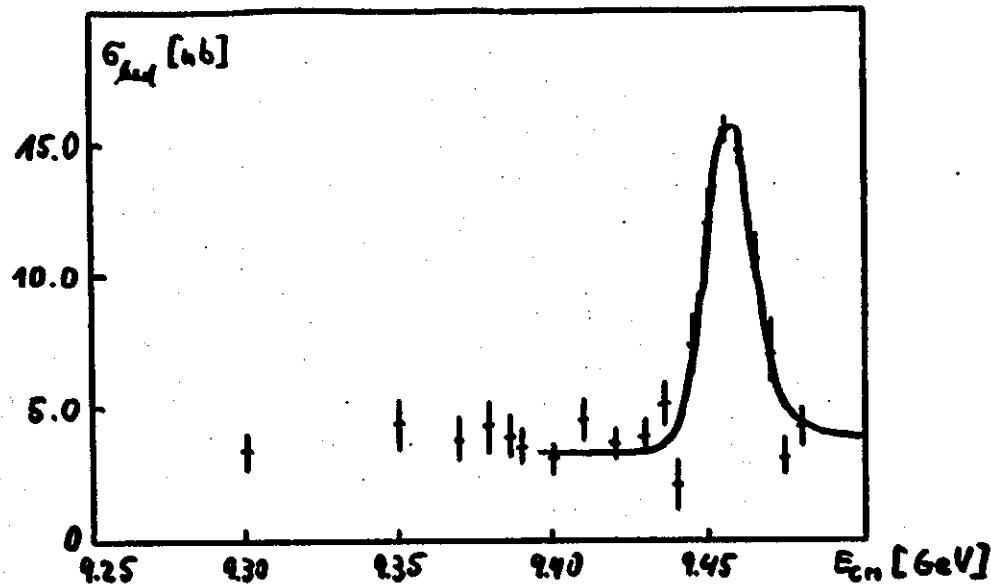
$$\text{Statt } [nb] \approx N \cdot \frac{E_b^2 [GeV]}{2560} \cdot 1,09$$

$$\text{Fehler} = \pm 10\%$$

Überprüfung mit Bhabha - Weitwinkel streuung
im Zentraldetektor.

Ergebnis: $\int L dt = 177 \text{ nb}^{-1}$ neben der Res.
 $= 190 \text{ nb}^{-1}$ auf der Res.

hadronisches Wirkungsquerschnitt bei 9.4 GeV



Fit zur Bestimmung der Resonanzparameter

- Bratt-Wigner für Streuzug
- Gaußverteilung für Maschinenauflösung
- Strahlungskorrektur nach Greco et al.

$$M(\Upsilon) = (9.4563 \pm 0.0008) \text{ GeV} \pm 0.01 \text{ (Maschine)}$$

$$\Gamma(\Upsilon \rightarrow e^+e^-) = (1.33 \pm 0.05) \text{ keV} \pm 0.13 \text{ syst. Fehler}$$

$$\sigma_{\text{Strahl}} = (7.3 \pm 0.1) \text{ MeV}$$

$$\Gamma_{\text{tot}}(\Upsilon) < 18 \text{ MeV}$$

Zusammenfassung der Messung

	neben Υ	Υ
gesuchte Ereignisse	524	1361
Akzeptanz	76%	80%
$\int L dt$	177 nb^{-1}	190 nb^{-1}
Strahlungskorrektur	-10%	Fit nach Greco et al.
$R = \frac{\sigma_{\text{had}}}{\sigma_{\mu\mu}}$	3.6 ± 0.3	
$\langle n_c \rangle$	6.3 ± 0.4	8.0 ± 0.3

Systematischer Fehler aus Monte-Carlo und Luminoositätsmessung $\pm 15\%$

$$\text{Masse } M(\Upsilon) = 9.46 \pm 0.01 \text{ GeV}$$

$$\Gamma_{ee} = 1.33 \pm 0.14 \text{ keV}$$

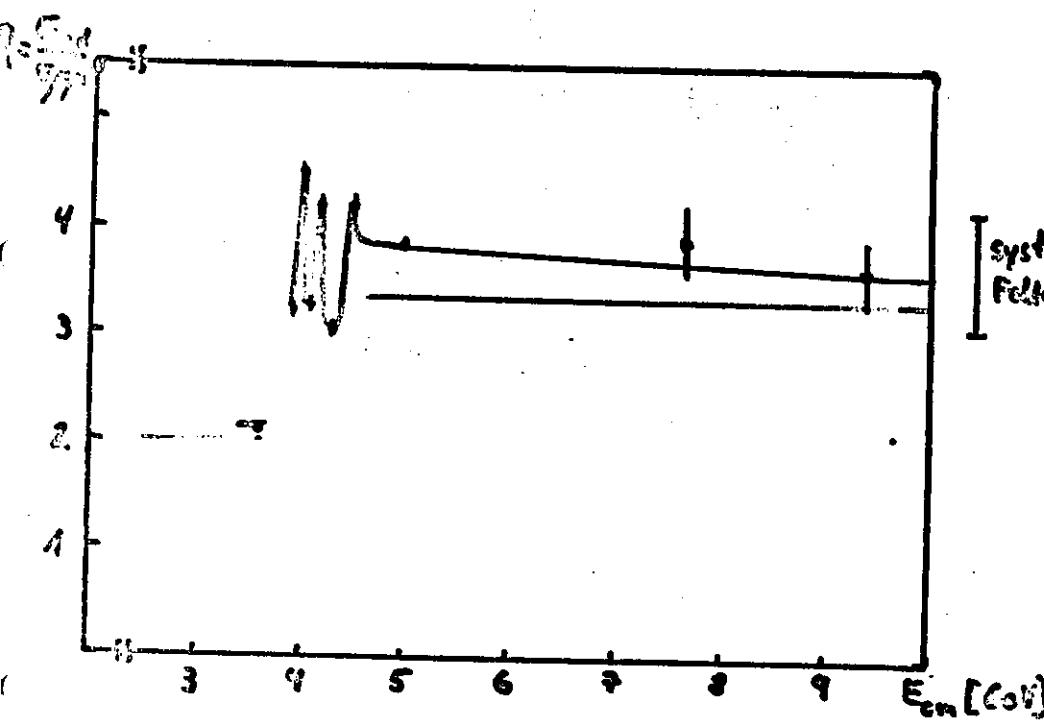
$$\Gamma_{\text{tot}} < 18 \text{ MeV} \text{ (Maschinenauflösung)}$$

$$B_{\mu\mu} = (2.2 \pm 2.0) \%$$

$$\Rightarrow \Gamma_{\text{tot}} = \frac{\Gamma_{ee}}{B_{ee}} = \frac{\Gamma_{ee}}{B_{\mu\mu}} > 21 \text{ keV} \text{ (95\% CL)}$$

μ-e-Unterschätzung

C: schmale Resonanz mit hoher Masse
Analogie zum D/Y: gebundenes System
aus einem neuen Quark mit seinem
Antiquark.



$$R = 3 \cdot \pi Q^2$$

= 2 unter Cherenkovschall
= 3 über Schall

$$\text{Gesamt: } R = 3 \cdot \pi Q^2 \left(1 + \frac{\epsilon}{100} \right)$$

260%

\Rightarrow Genauigkeit 5% nötig

Zusammenfassung:

DEUTSCHE PHYSIKALISCHE GESELLSCHAFT E.V.



Bestimmung des totalen hadronischen Wirkungsquerschnittes in der e^+e^- -Annihilation um 9.4 GeV

PLUTO-Kollaboration, Ch. Gerke (DESY)

Der e^+e^- -Speicherring DORIS bei DESY wurde auf einen Ein-Ring-ein-Bunch-Betrieb umgestellt. An der umgebauten Maschine konnte der totale hadronische Wirkungsquerschnitt der e^+e^- -Annihilation bei Schwerpunktsenergien um 9.4 GeV mit dem magnetischen Detektor PLUTO gemessen werden. Dabei gelang der Nachweis des ψ' -Mesons in der e^+e^- -Annihilation. Es wird interpretiert als der gebundene Zustand eines neuen schweren Quark-Antiquark-Paares.

q \bar{q} -Jets zwischen 3 und 17 GeV

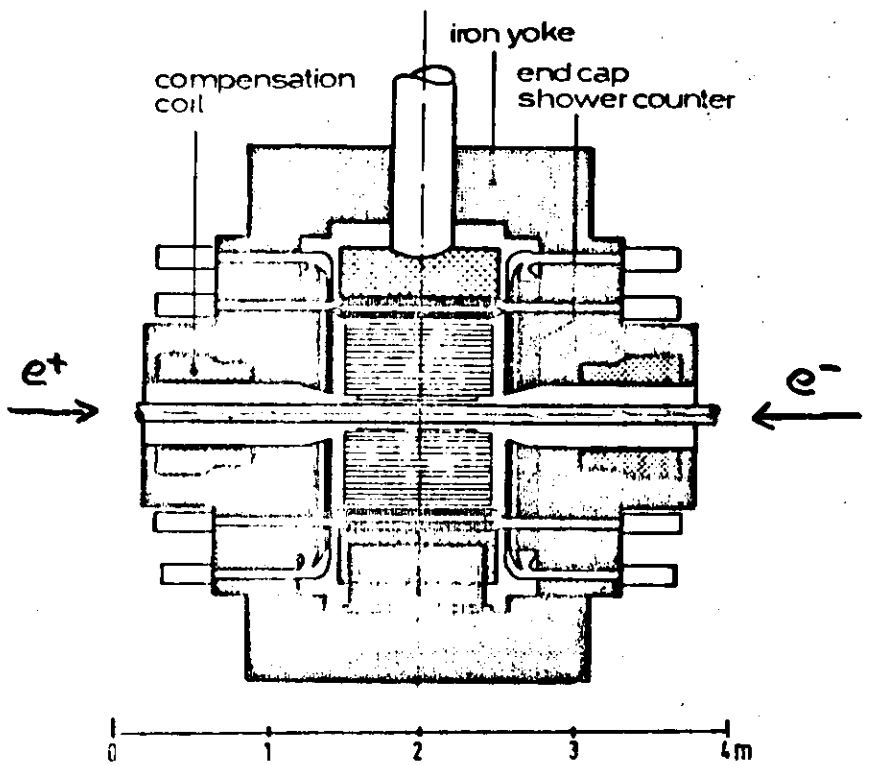
Klaus Derikum

Gesamthochschule Siegen

q \bar{q} -Jets zwischen 3 und 17 GeV

PLUTO - Kollaboration

- — Detektor
- Definition der Größen
- Datenauswahl
- Ergebnisse



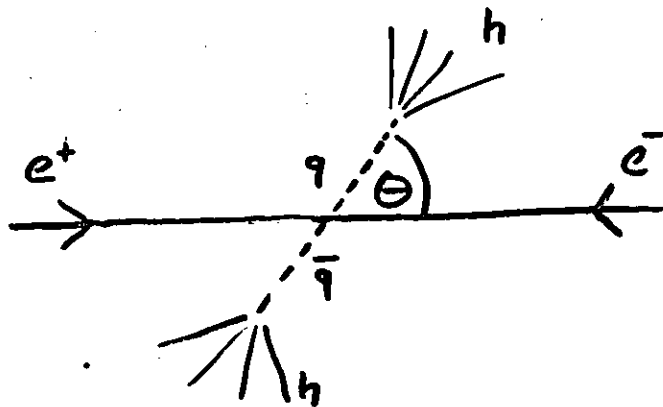
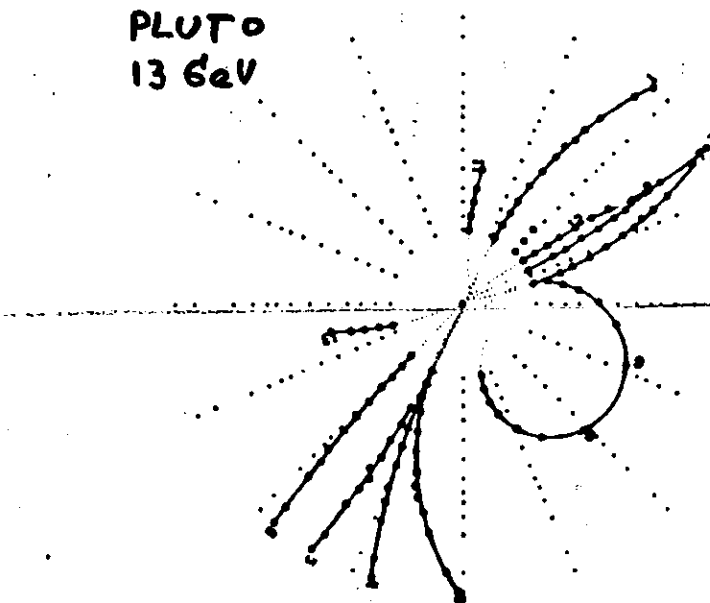
Akzeptanz geladen $0.90 * 4\pi$

Akzeptanz neutral $0.94 * 4\pi$

$$\sigma_p/p^2 = 6 \%$$

$$\sigma_E/\sqrt{E} = 2.5 \%$$

PLUTO
13 GeV



Jet - Maße

Sphericity	Thrust
$S = \frac{3}{2} \min\left(\frac{\sum p_{\perp}^2}{\sum p^2}\right)$	$T = \max\left(\frac{\sum p_{\parallel} }{\sum p }\right)$
Isotropie: $S=1$	Isotropie: $T=0.5$
Kollinearität: $S=0$	Kollinearität: $T=1.0$
Berechnung über (Eigenwertproblem)	Berechnung über Kombinationsverfahren

Datenauswahl

1. Abtrennung von

Kosmischer Strahlung

QED

Strahl-Gas-Wechselwirkung

durch gleiche Schnitte wie bei
Bestimmung des totalen hadronischen
Wirkungsquerschnitts.

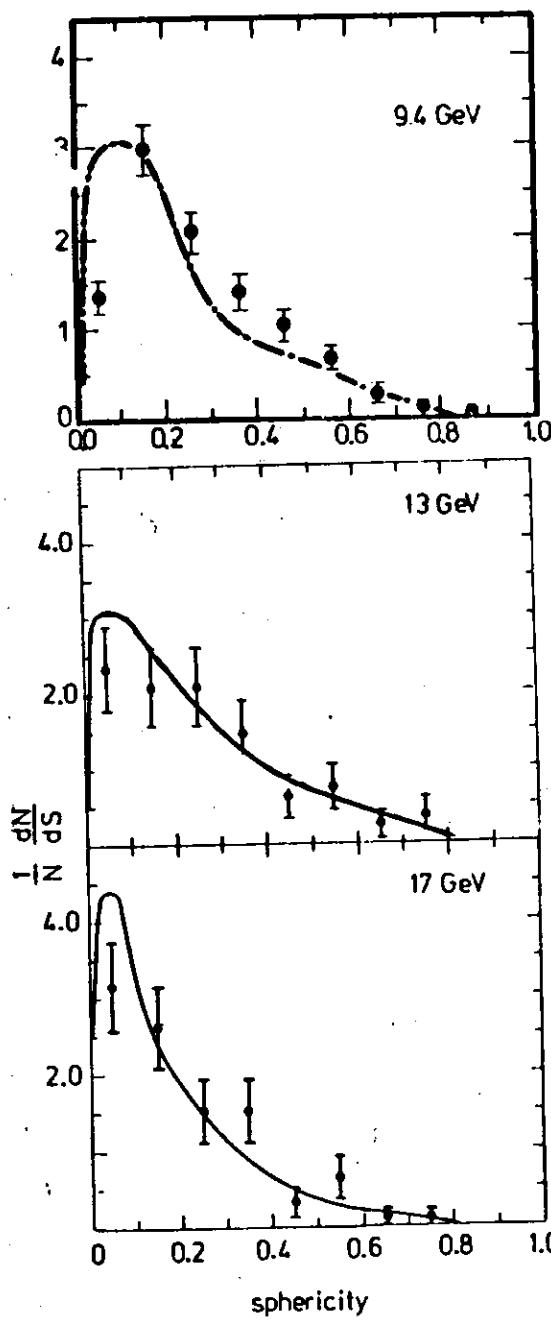
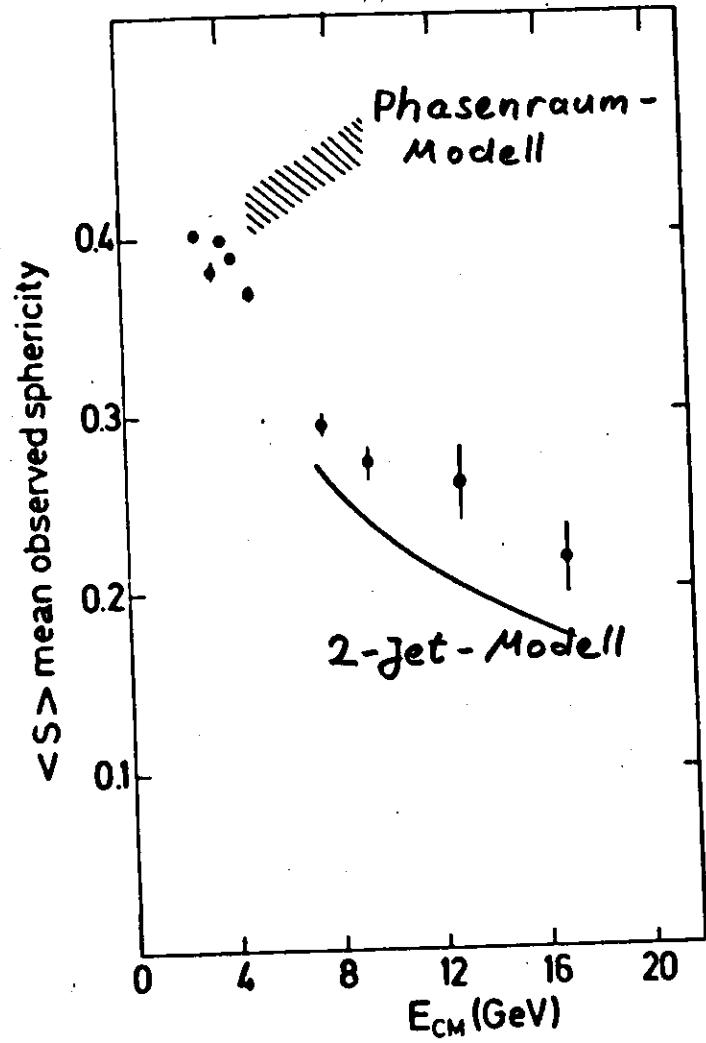
2. Mindestens 4 geladene Teilchen
vom Wechselwirkungspunkt

Verbleibender Untergrund < 5 %

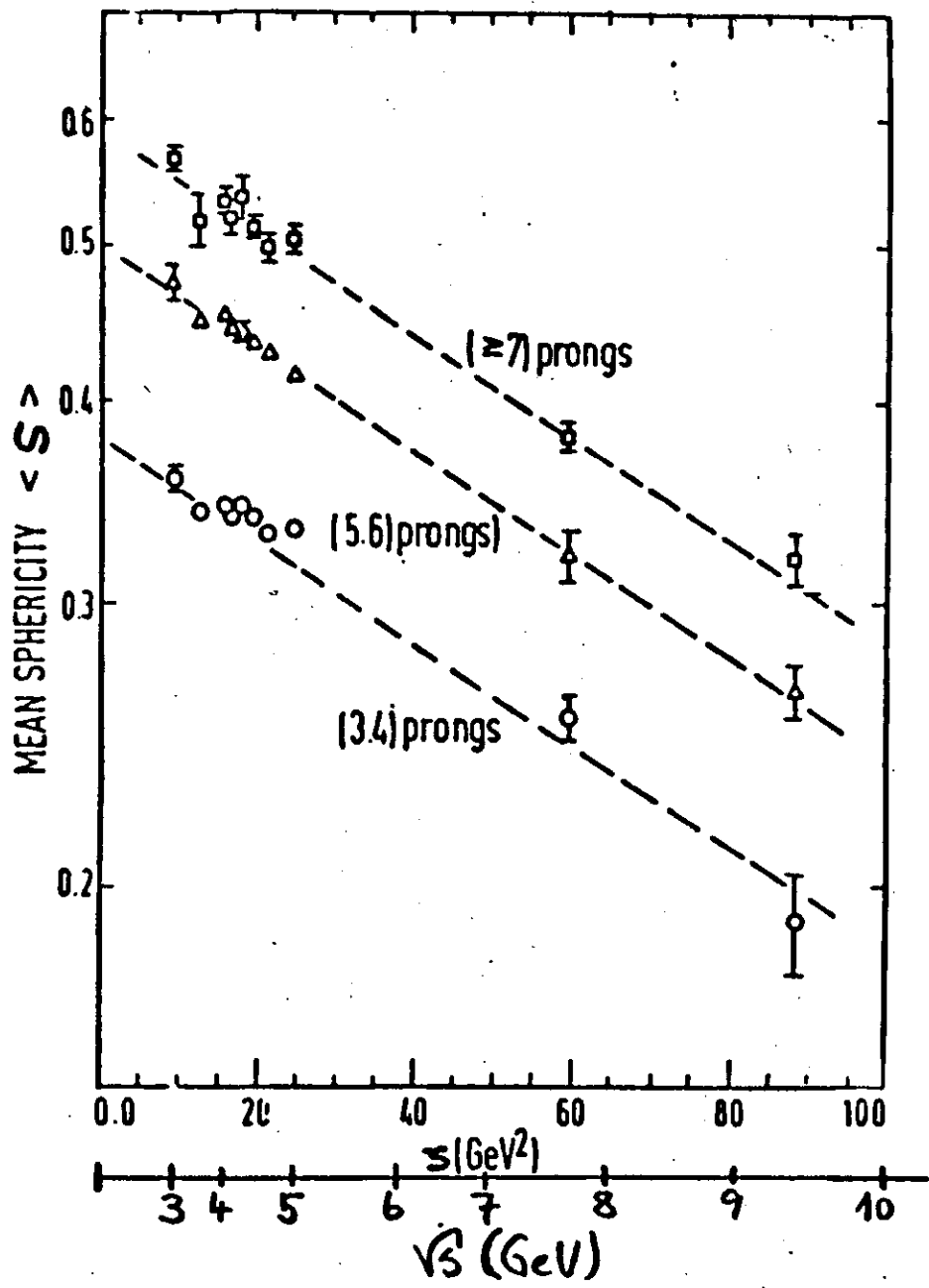
○ (einschließlich τ -Zerfälle, $\gamma\gamma$ -Prozesse)

Alle Ergebnisse unkorrigiert!

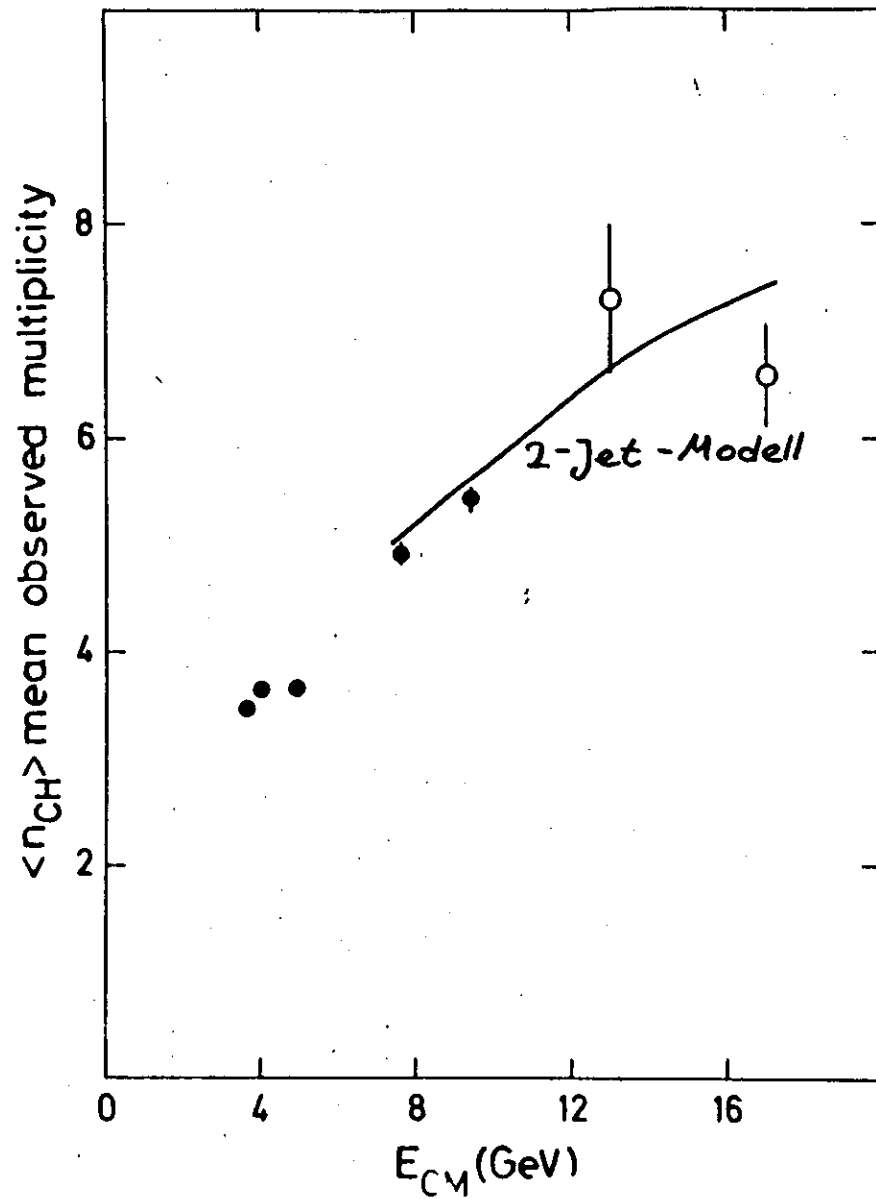
(bezüglich Akzeptanz, Strahlungskorrekturen)



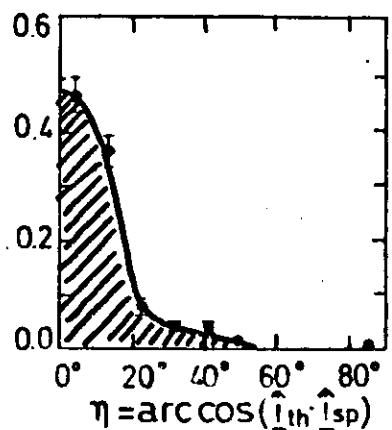
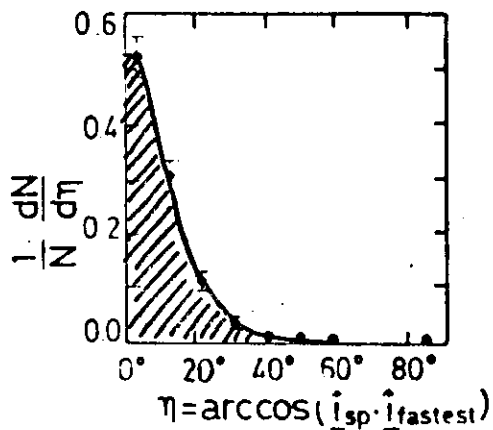
-75-



-76-

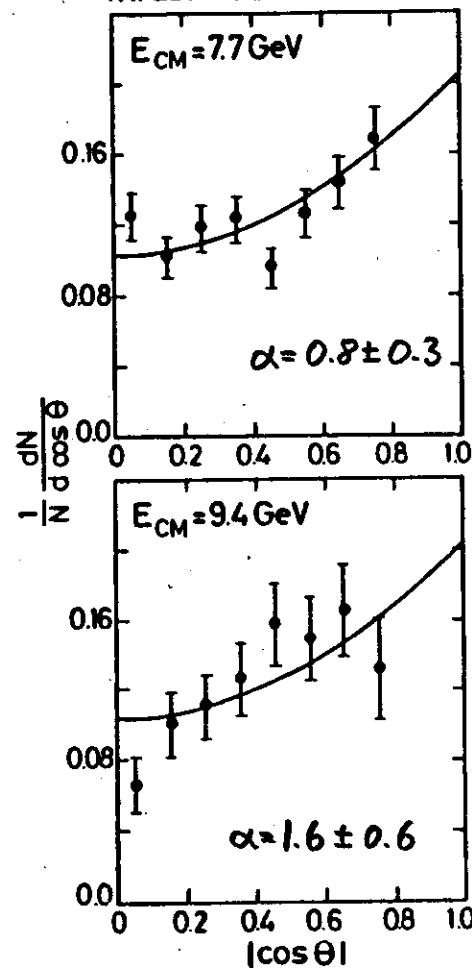


Bestimmung der Jet-Achse



$HWHM \approx 15^\circ$

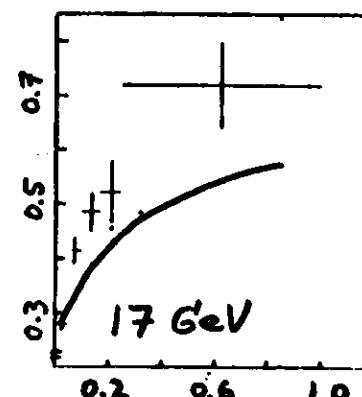
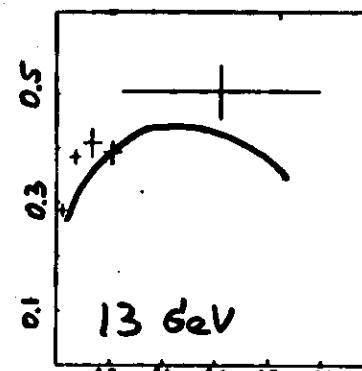
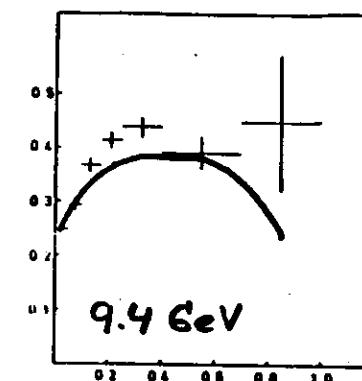
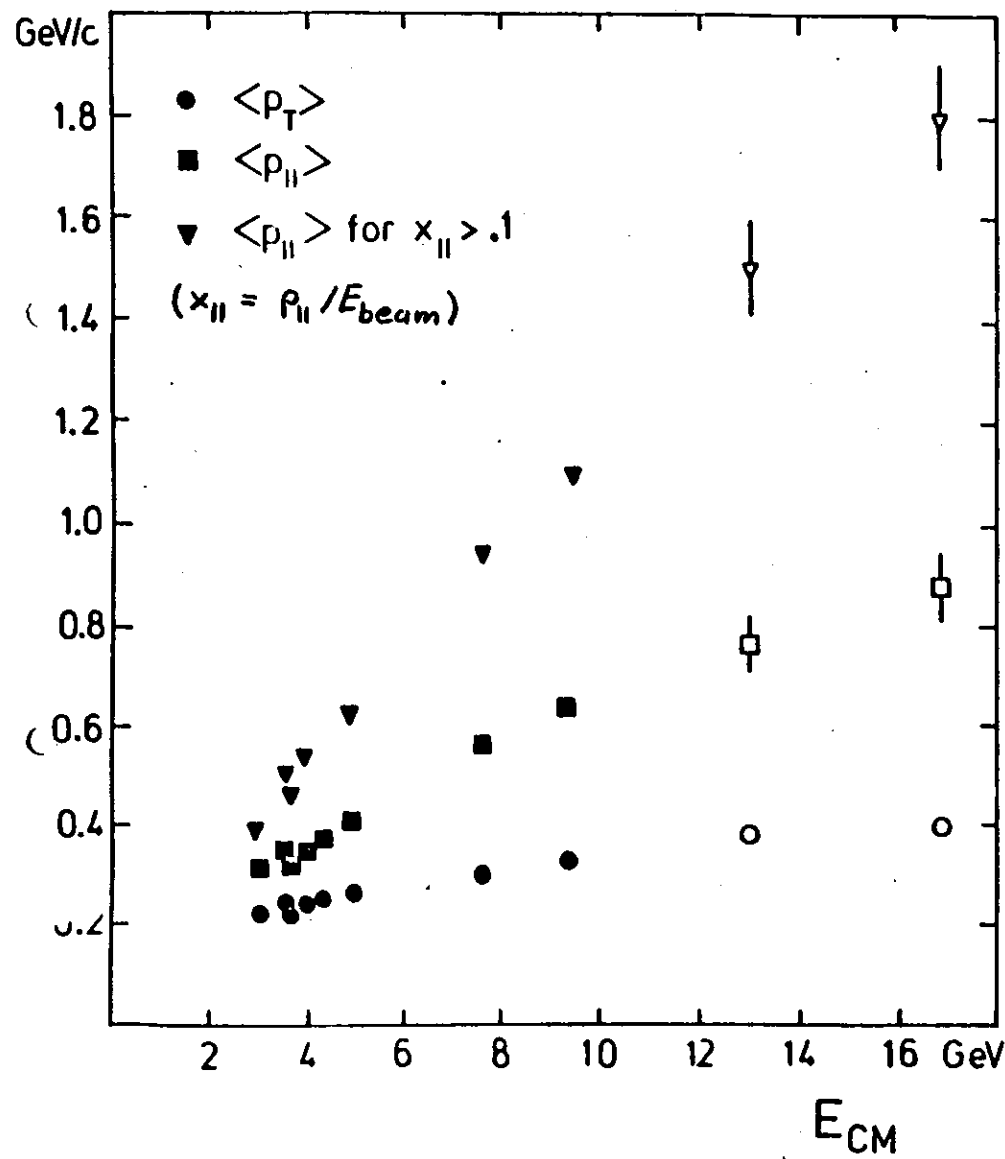
Thrust Axis Distribution



$$W = 1 + \alpha \cdot \cos^2 \theta$$

Eingezeichnete Linien: $\alpha = 1.0$
wie für Spin = $\frac{1}{2}$ erwartet

Mittlere Impulse



$$|x_L| = |p_L| / E_{beam}$$

Zusammenfassung

Eine klare 2-Jet-Struktur wird beobachtet

Die Daten sind verträglich mit dem $q\bar{q}$ -Bild

Zu QCD-Effekten sind z.Zt. keine Aussagen möglich

Zusammenfassung:

DEUTSCHE PHYSIKALISCHE GESELLSCHAFT E.V.



Untersuchung von Jets in der e^+e^- -Annihilation bei Schwerpunktenergien zwischen 3.1 und 9.5 GeV.

PLUTO-Kollaboration, K. DERIKUM (Gesamthochschule Siegen)

Am Speicherring DORIS ist mit dem magnetischen Detektor PLUTO eine Zwei-Jet-Struktur von hadronischen Ereignissen der e^+e^- -Annihilation beobachtet worden. Aus den geladenen Spuren werden topologische Größen wie mittlere Sphericity, mittlerer Thrust, die Winkelverteilung der Jet-Achse sowie Parallel- und Longitudinalimpuls bezüglich der Jet-Achse bestimmt.

Jet Analyse des Υ -Zerfalls
in geladene Hadronen

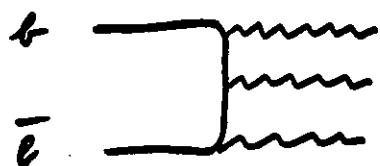
Hans-Jürgen Meyer
Gesamthochschule Siegen

Jet Analyse des Υ -Zerfalls
in geladene Hadronen

PLUTO - Kollektion

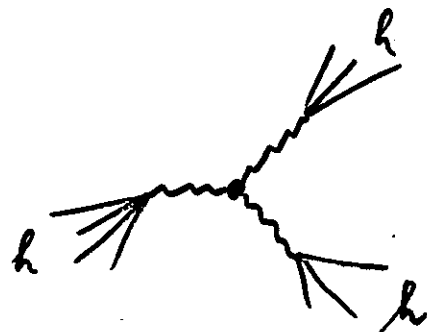
Bonn Vortrag
H. J. Meyer

Gesamthochschule Siegen
(noch ungetkürzte Version)



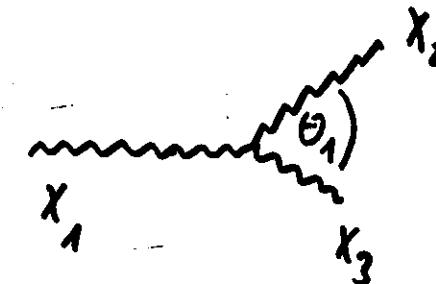
QCD:

3-jet Zerfall

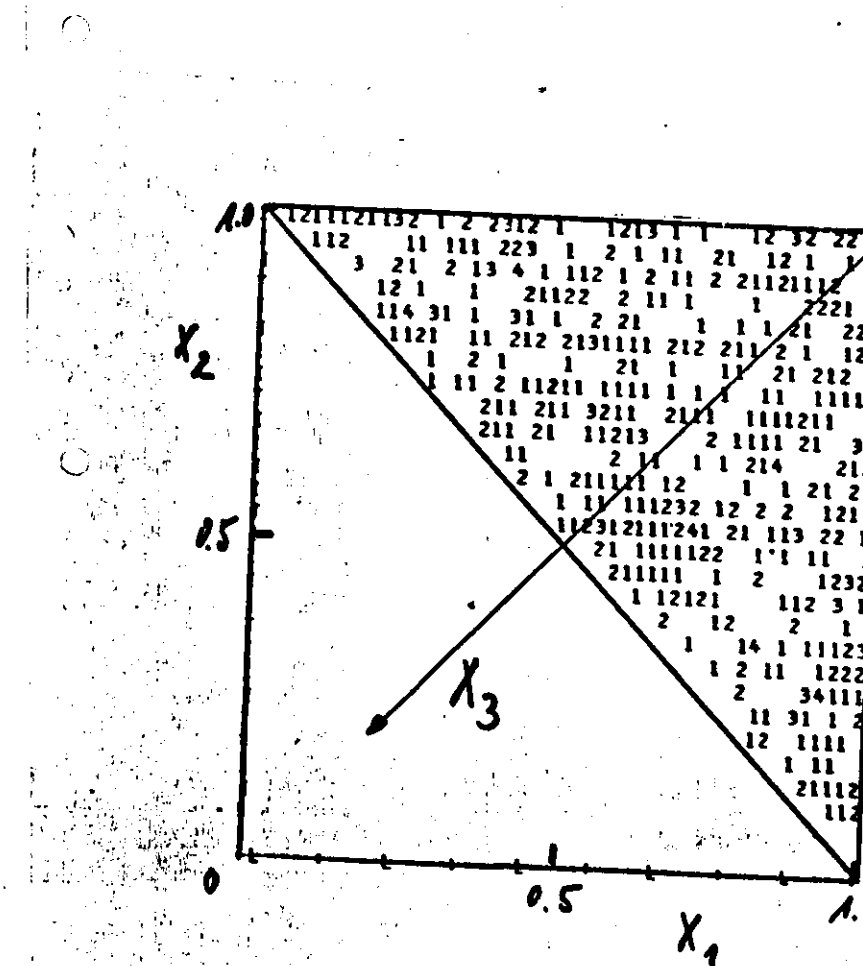


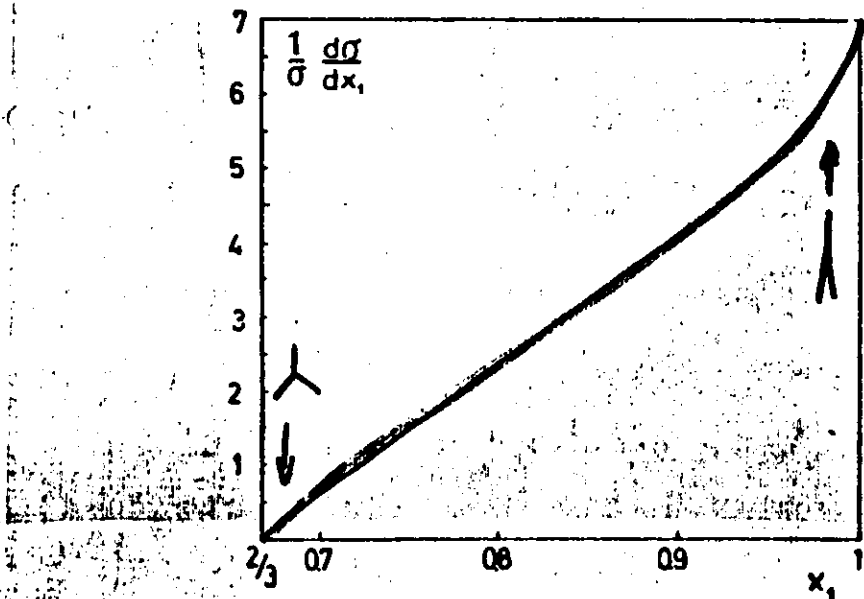
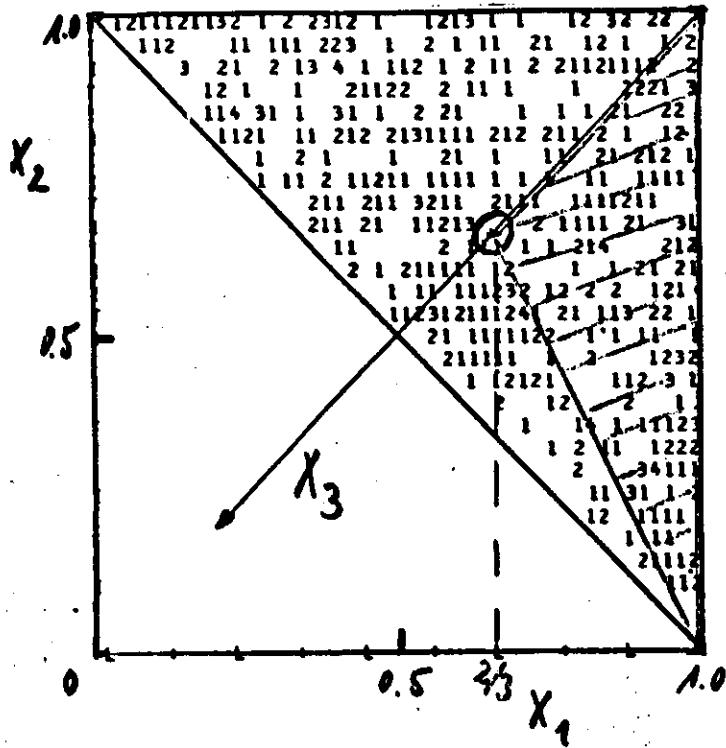
Voraussetzen:

- 3-jet - Struktur
- flache Konfiguration
- Winkelverteilung der Thrust-Achse:
 $\sim 1 + 0.35 \cos^2 \theta$
- Winkelverteilung der Normale zur 3-jet-Ebene:
 $\sim 1 - \frac{1}{3} \cos^2 \theta$

Koller,
Krasenbach,
Walsh

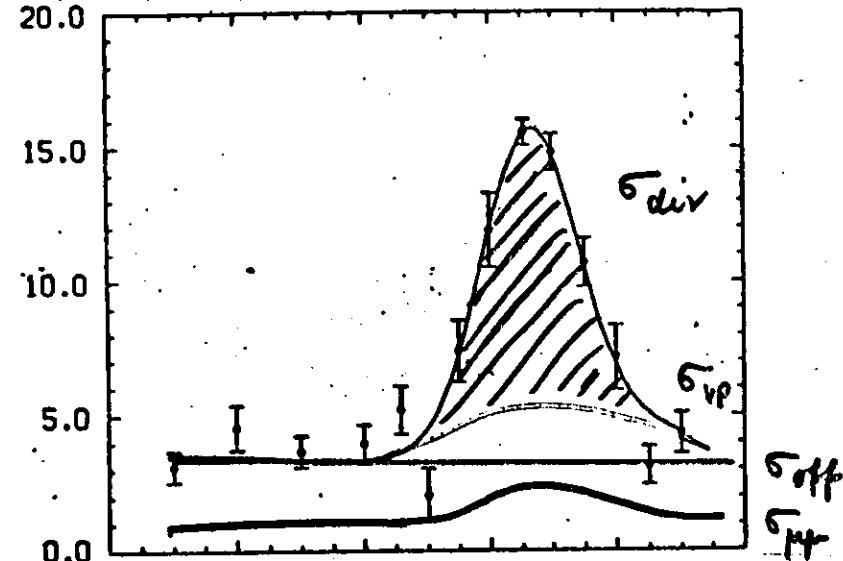
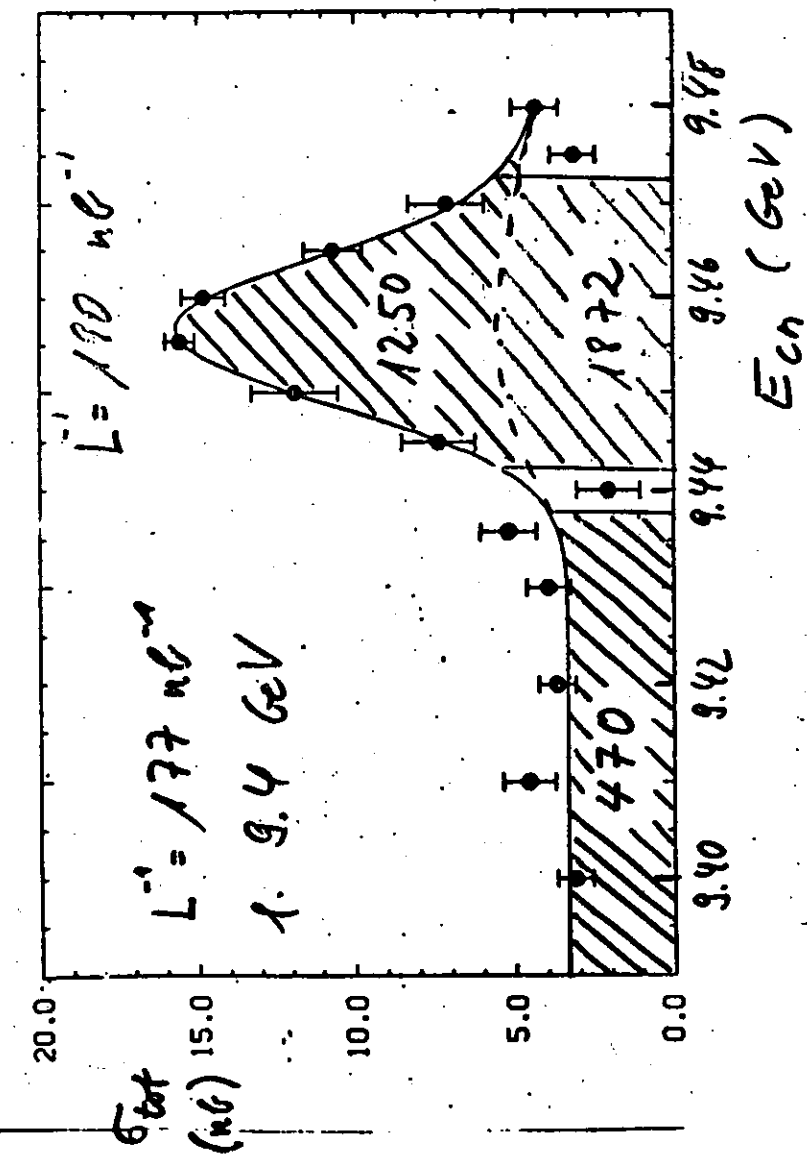
$$X_i = 2 P_{\text{beam}} / M_i$$





Modelle:

- 2 g - Jet N.C. (Field + Feynman)
- Multi Pionen Phaserraum N.C.
- 3 g - N.C.
 - Erzeugung: 3 g - Dalitz Plot
 - Fragmentation: g - jets bei entsprechender Energie



$\gamma + \text{hadrons} + \gamma + \text{hadrons} + \gamma + \text{hadrons}$

γ direkt Vakuumpol. Continuum

$$\sigma_{\text{dir}} = \sigma_{\text{on}} - \sigma_{\text{off}} - \sigma_{\text{tt}} \left(\frac{\sigma_{\text{tt}}^{\text{on}} - \sigma_{\text{tt}}^{\text{off}}}{\sigma_{\text{tt}}^{\text{off}}} \right)$$

Subtraktion erfolgt differentiell:

$$\left. \frac{dN}{dx} \right|_{\text{dir}} = \left. \frac{dN}{dx} \right|_{\text{on}} - 1.32 \left. \frac{dN}{dx} \right|_{\text{off}}$$

3 verschiedene Möglichkeiten:

1. 2-jet Krite: sphericity
Thrust

2. Größen, die die 'Flachheit'
eines Events messen:

Q_1
Acoplanarity

3. Größen, die eine 3-jet-Struktur
messen oder erkennen:

Triplecity

a.) Sphericity:

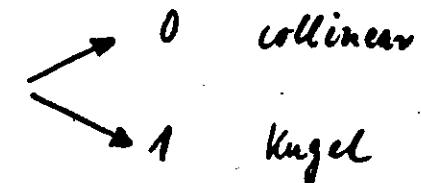
$$S = \min \frac{3}{2} \frac{\sum p_i^2}{\sum p_i^2}$$

Methode:

$$T^{sp} = \sum_{i=1}^N (p_i^2 \delta^{sp} - p_i^2 p_i^2) \quad \alpha, \beta = 1, 2, 3$$

\rightarrow Eigenwerte λ_i mit $\lambda_1 \geq \lambda_2 \geq \lambda_3$

$$S = \frac{3 \lambda_3}{\lambda_1 + \lambda_2 + \lambda_3}$$



b.) Thrust:

(maximum directed momentum)

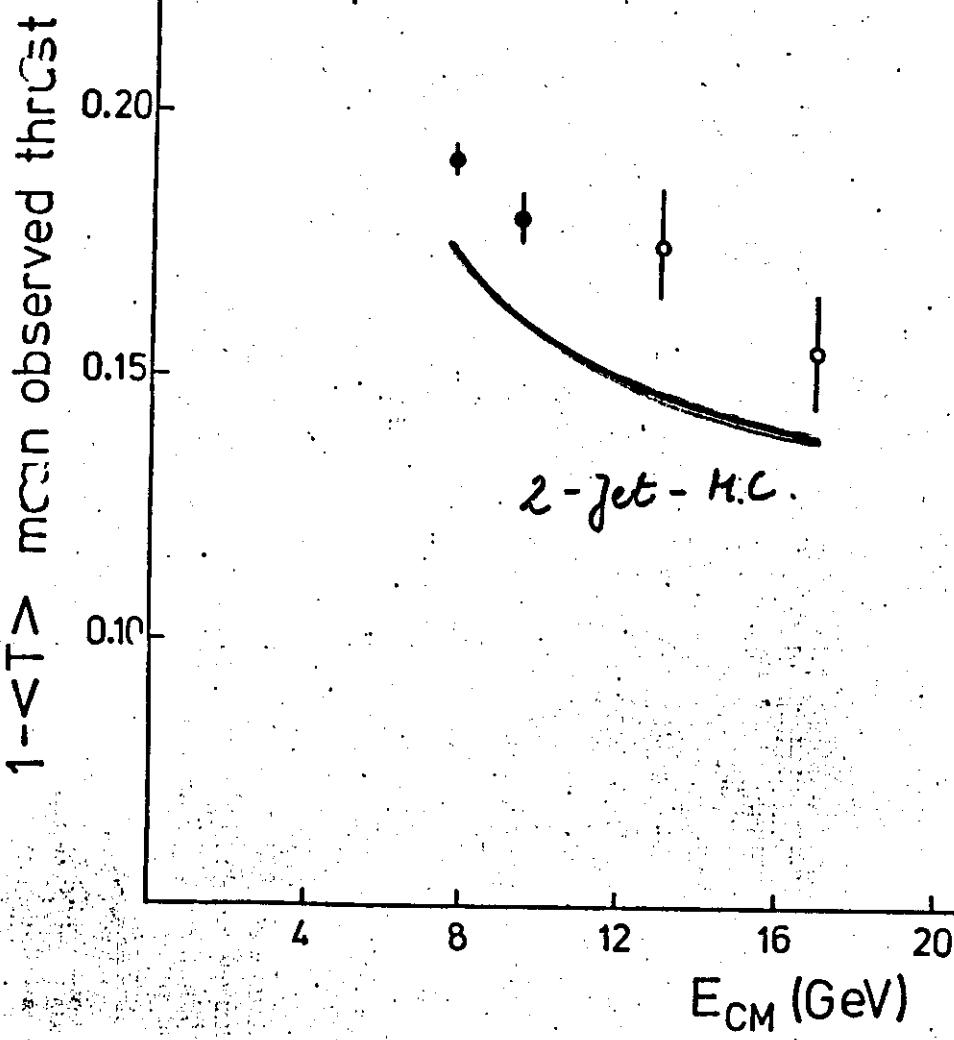
$$T = 2 \max \frac{\sum |p_{2i}|}{\sum |p_i|} \quad \left(= \frac{\sum |p_{2i}|}{\sum |p_i|} \right)$$

Methode: Kombinationsverfahren (2^{n-1})
 \rightarrow Arbeit: $\max |\sum p_i|$

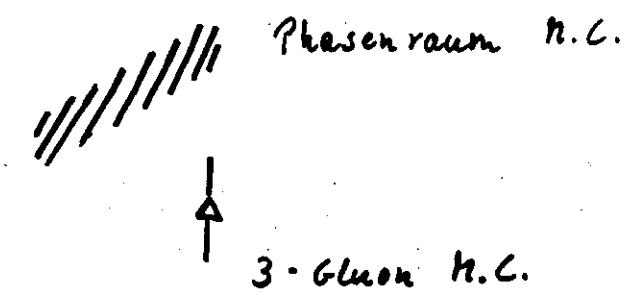
$$T \begin{cases} 1 & \text{collinear} \\ 0.5 & \text{Kugel} \end{cases}$$

$$1 - \langle T \rangle \hat{=} \langle S \rangle \quad 0.3 \text{ do } f(\sigma)$$

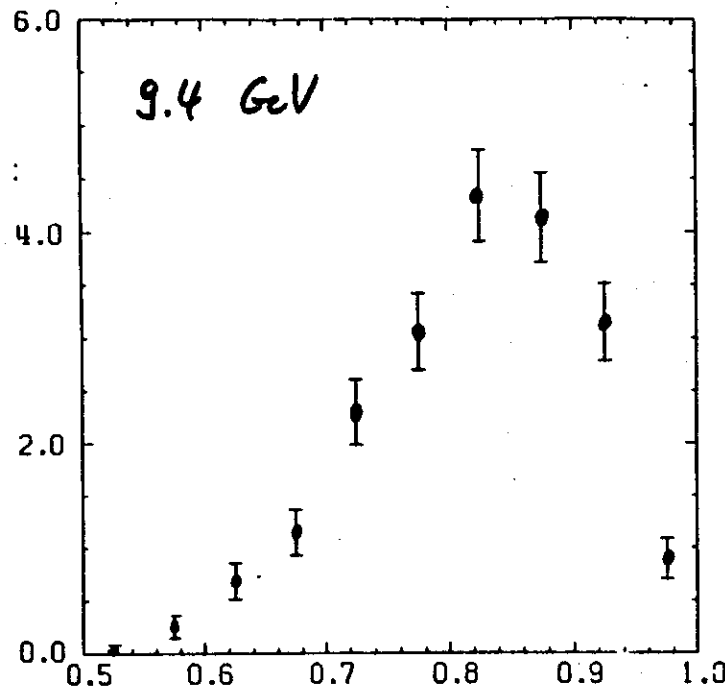
-93-



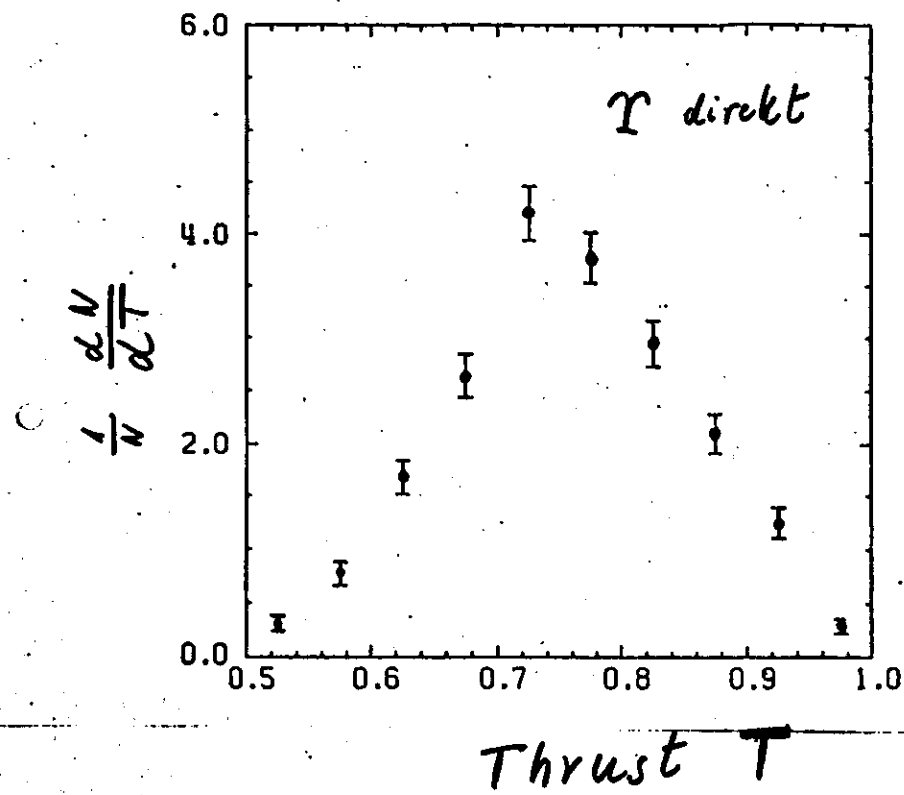
-94-



-95-

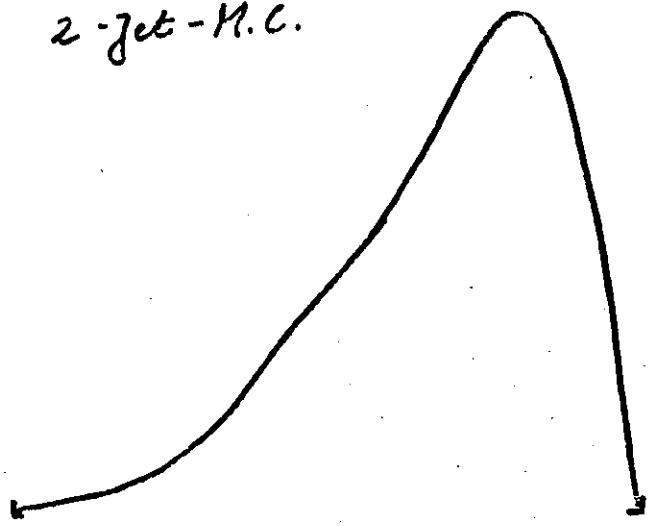


-96-



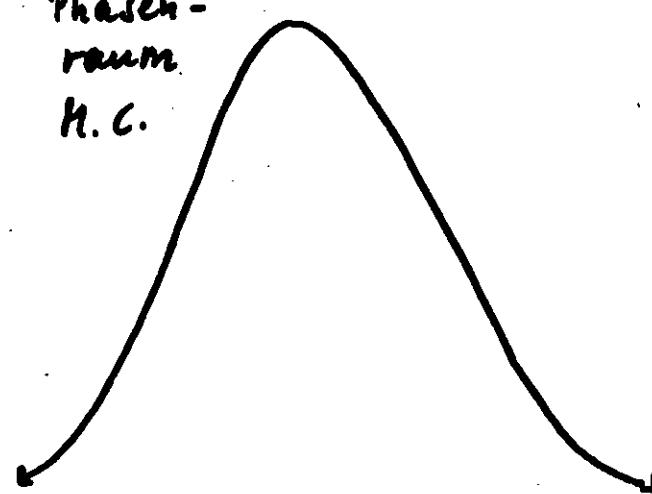
-97-

2-jet-H.C.



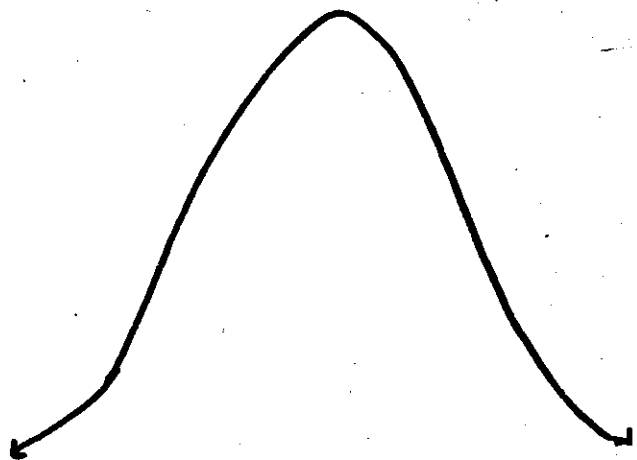
-98-

Phasen-
raum
H.C.



-99-

3-Gluon M.C.



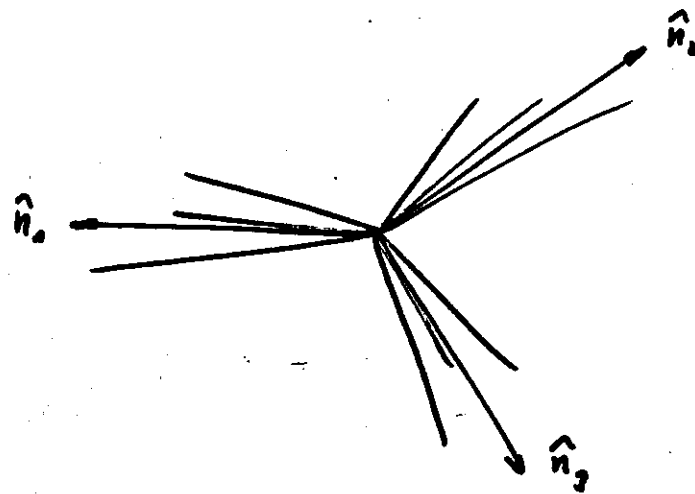
-100-

TriPLICITY:

$$\bar{T}_3 = \max \frac{|\sum_{i \in C_1} \vec{p}_i| + |\sum_{i \in C_2} \vec{p}_i| + |\sum_{i \in C_3} \vec{p}_i|}{\sum_{i=1}^n |\vec{p}_i|}$$

Methode: Kombinationsverfahren

Klassen C_i : disjunkt, nicht leer



Im Procedur findet per Def. immer
3 Achsen \hat{n}_i .

Mer: Anzahl d. Komb. = $\frac{1}{2} (3^{N-1} + 1) - 2^{N-1}$

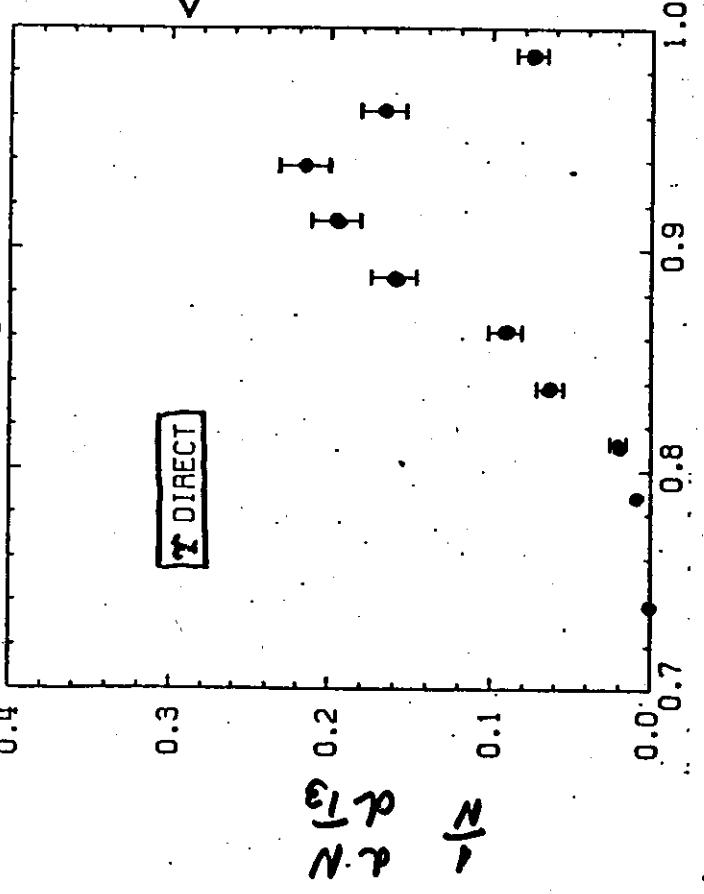
e.g. $N=10 \rightarrow 3330$

Rekursiv ≈ 7 sec.

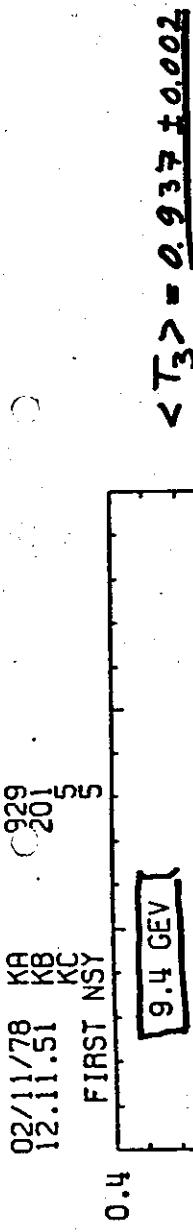
02/11/78 KA
12.14.38 KB
KC
FIRST NSY

-101-

$$\langle T_3 \rangle = 0.915 \pm 0.003$$



TRIPLETICITY BAL. \bar{T}_3



$$\langle T_3 \rangle = 0.937 \pm 0.002$$

-102-

TRIPLETICITY BAL. \bar{T}_3

-103-

$$\langle T_3 \rangle = 0.941 \pm 0.001$$

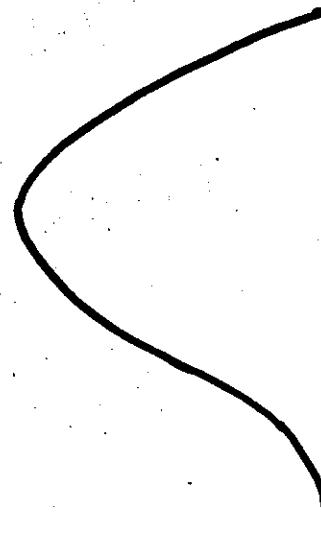
2 Jet NC

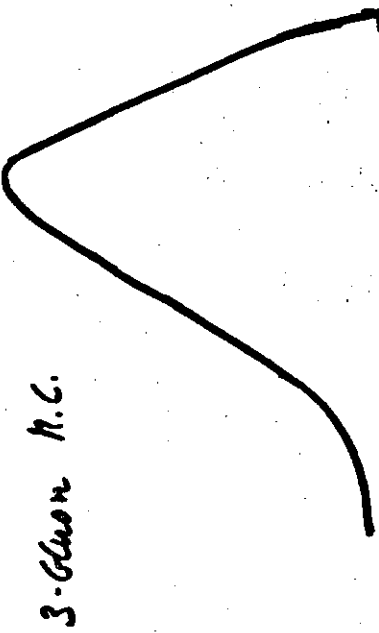


-104-

$$\langle T_3 \rangle = 0.902 \pm 0.001$$

Phase run N.C.

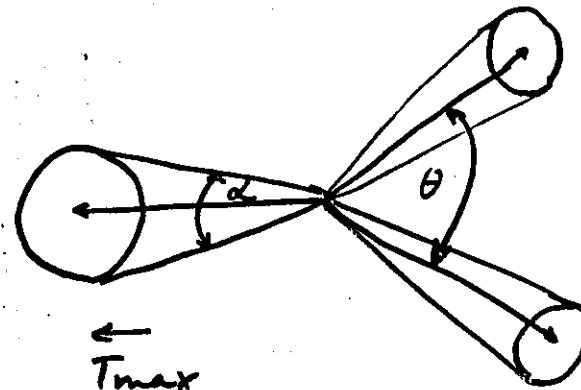




$$\langle T_3 \rangle = 0.9 M \pm 0.01$$

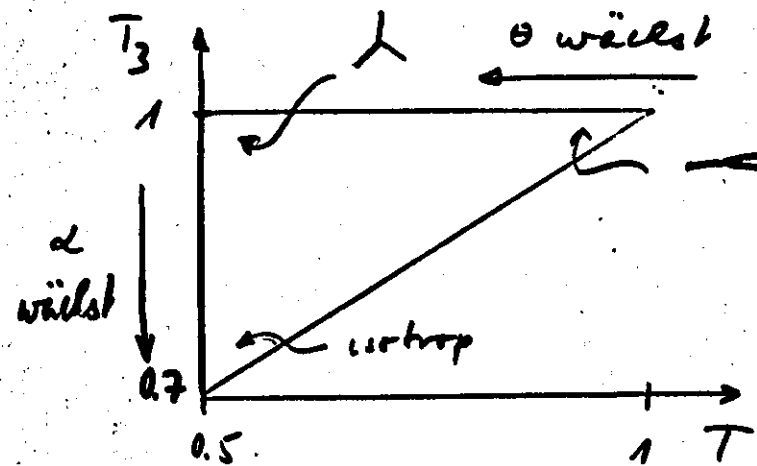
3-blatt n.c.

T_3 in Verbindung mit Thrust T

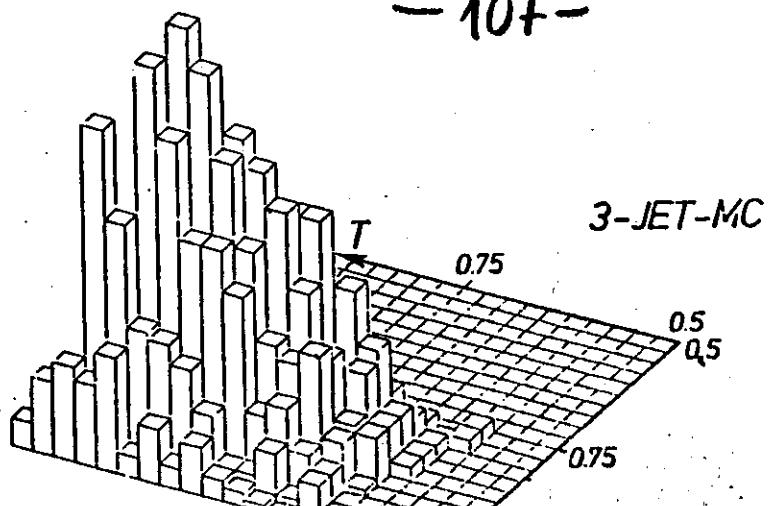


T 'misst' den Öffnungswinkel der Reifen

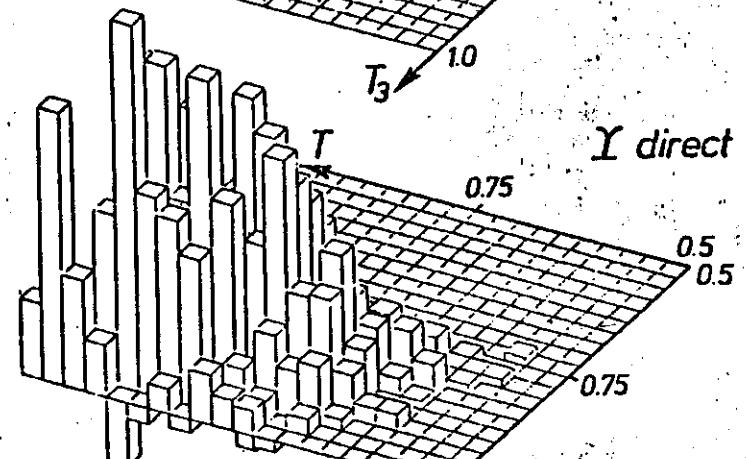
T_3 'misst' den Öffnungswinkel des Kegel



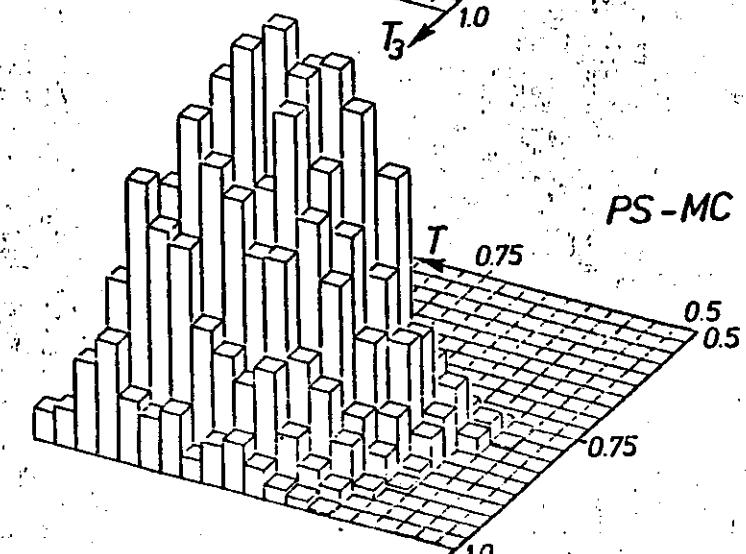
- 107 -



3-JET-MC



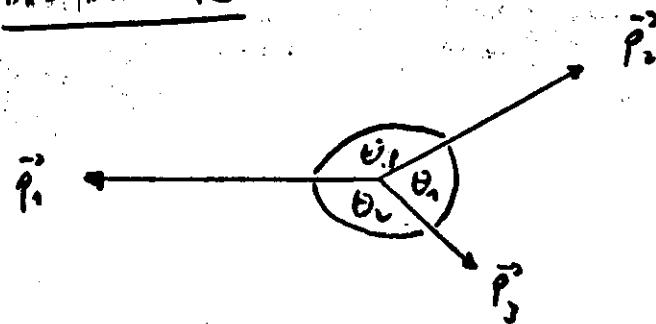
Υ direct



PS-MC

- 108 -

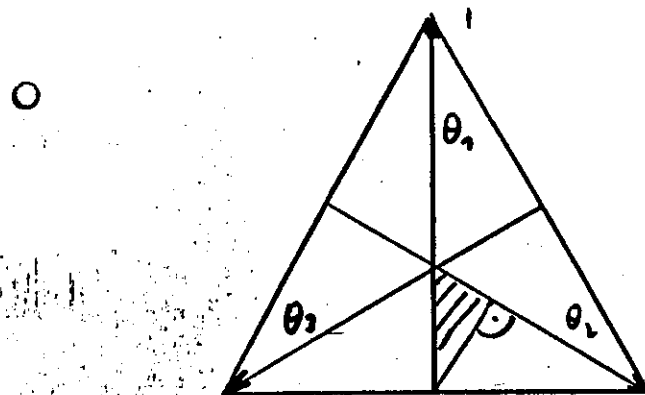
$P_1 \geq P_2 \geq P_3$



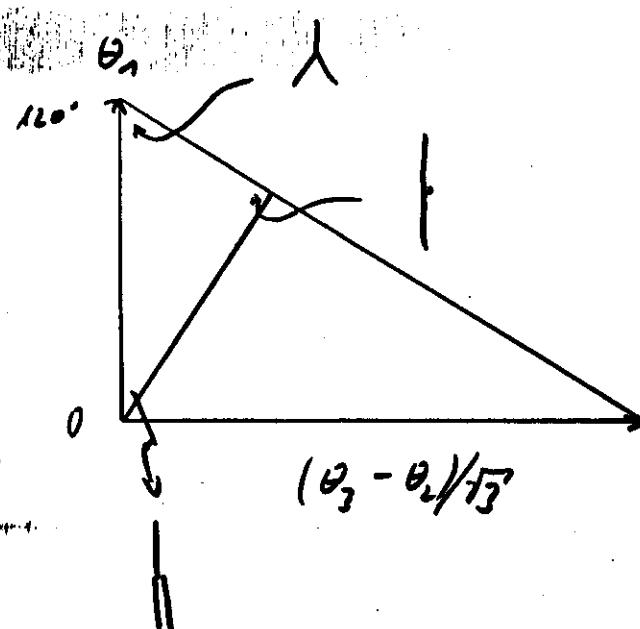
$$\underline{\theta_1 + \theta_L + \theta_2 = 360^\circ}$$

$$\underline{110^\circ > \theta_3}, \underline{\theta_L > 90^\circ}, \underline{\theta_3 > \theta_L}$$

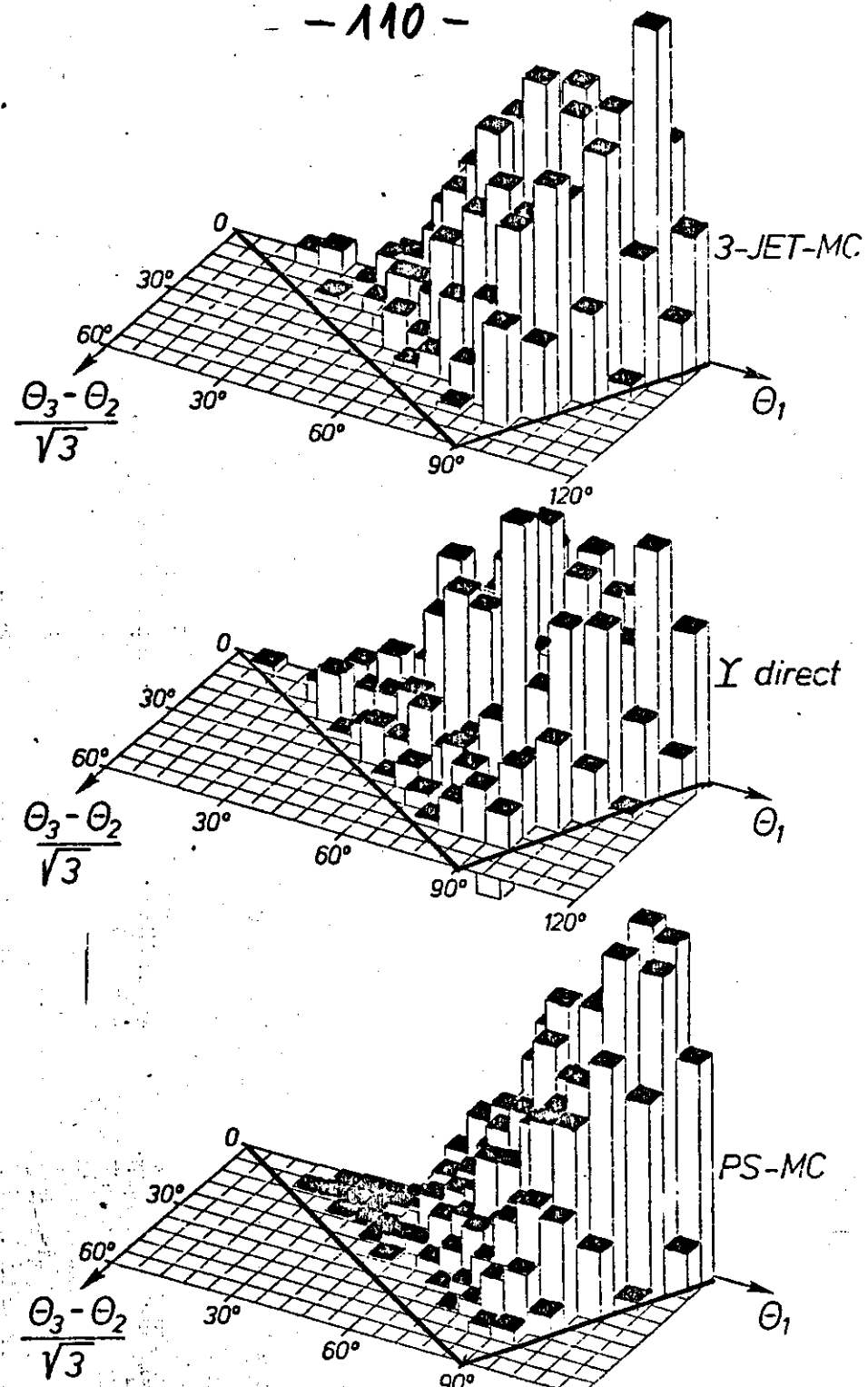
$$\underline{\theta_3 < 110^\circ}$$



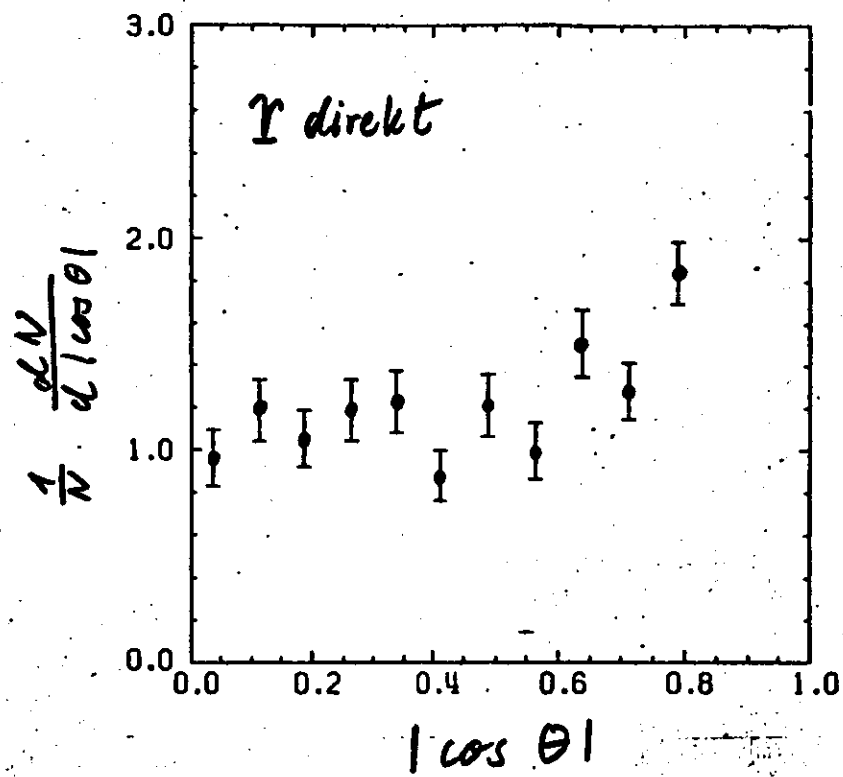
-109-



-110-



-111-



-112-



Kurve : $1 + 0.39 \cos^2 \theta$

Fit : 0.83 ± 0.23

- alle Größen sind deutlich von Phasenraum und der Erwartung von 2-jets verschieden, aber sind konsistent mit den Vorhersagen des 3-Gluon Zerfalls
- andere Möglichkeiten wie ein modifizierter Phasenraum, der Resonanzen oder eine 2-jet Beimischung enthält, können nicht ausgeschlossen werden.

Bessere Klärung mit größerer Statistik und Einbeziehung des neutralen Impulses.

Zusammenfassung:

DEUTSCHE PHYSIKALISCHE GESELLSCHAFT E.V.

Untersuchung der Jet-Struktur des Zerfalls des $\Upsilon(9.46)$ -Mesons in geladene Hadronen

PLUTO-Kollaboration, H.-J. Meyer (Gesamthochschule Siegen)

Der Analyse liegen Daten zu Grunde, die mit dem magnetischen Detektor PLUTO an dem e^+e^- -Speicherring DORIS im Schwerpunktsenergiebereich 9.3 - 9.5 GeV gewonnen wurden.

Der direkte Zerfall des $\Upsilon(9.46)$ -Mesons in vier und mehr geladene Hadronen wird auf seine Jet-Struktur hin untersucht. Die Ergebnisse werden verglichen mit den Erwartungen des Phasenraums, eines 2-Quark-Jet-Modells und des in der QCD vorhergesagten 3-Gluon-Zerfalls des Υ -Mesons. Die Ergebnisse in allen hier gezeigten Maßgrößen sind mit dem 3-Gluon-Bild verträglich.

Energiefluß analyse zur
Struktur der Ereignisse
der Υ -Resonanz

Hans-Jürgen Daum
Gesamthochschule Wuppertal

Energieflußanalyse zur Struktur der Ereignisse

im Bereich der Υ -Resonanz

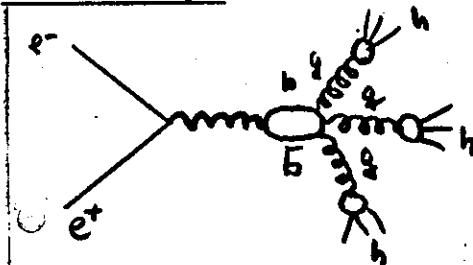
PLUTO - Collaboration

Fragestellung: Ist es durch eine detaillierte Topologieuntersuchung möglich, beim Υ -Resonanz-Hinweise auf eine 3-jet Struktur zu erhalten?

○

Voraussetzung: Nachweis geladener und neutraler Hadronen.

Erwartung: 3-Gluonen $x_i = \frac{2E_i}{M\chi}$ $x_1 > x_2 > x_3$



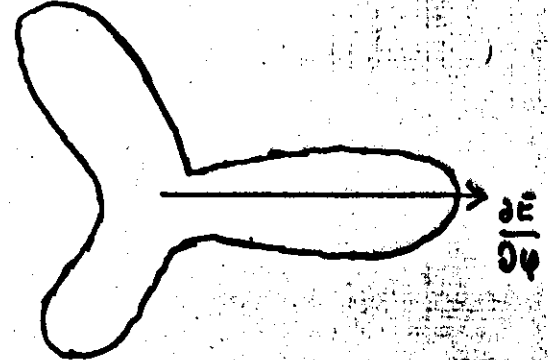
○

Gluonen: 3-Teilchenkinematik
 \Rightarrow bilden eine Ebene

Hadronen: 3-jet Struktur in einer Ebene

Aufgabenstellung: Nachweis der 3-jet Struktur und Ebenenstruktur,
besonders Unterschiede zum Phasoräum-Modell.

alle Ereignisse orientiert!

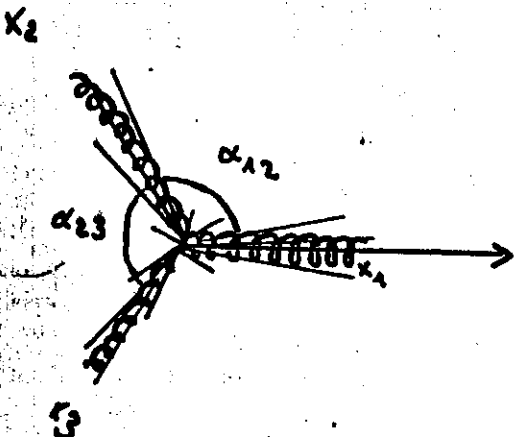


Methode: Der mittlere Energiefluss

$$\langle \phi_E(\phi, T) \rangle = \frac{1}{E_{ch}} \langle \frac{\partial E}{\partial \phi} \rangle |_{T=\text{const}}$$

Wird als Funktion des Thrusts untersucht.

in der 3-gluon-Ebene:



Siehe rechts zur 3-gluon-Ebene



Problem: Findung der x_1 -Achse

Findung der Ebene

Entscheidung nach $x_1 - x_2$ und x_3

Entscheidung nach $x_2 - x_3$

-119-

Achsendefinition: Mit Hilfe des Thrusts

Forderung eines minimalen
Teilchenimpulses
 $p_i > 8 \text{ GeV}$!

$$T' = \max \frac{\sum_{p_i > 8} |p_i|}{\sum |p_i|}$$

3-jet HC zeigt gute Rekonstruktion der x_1 -Achse

$$\alpha_R(x_1, T) = 9^\circ$$

$$\alpha_R(x_2, T) = 11^\circ$$

Ebenendefinition: Thrust 2-dimensional in der Ebene

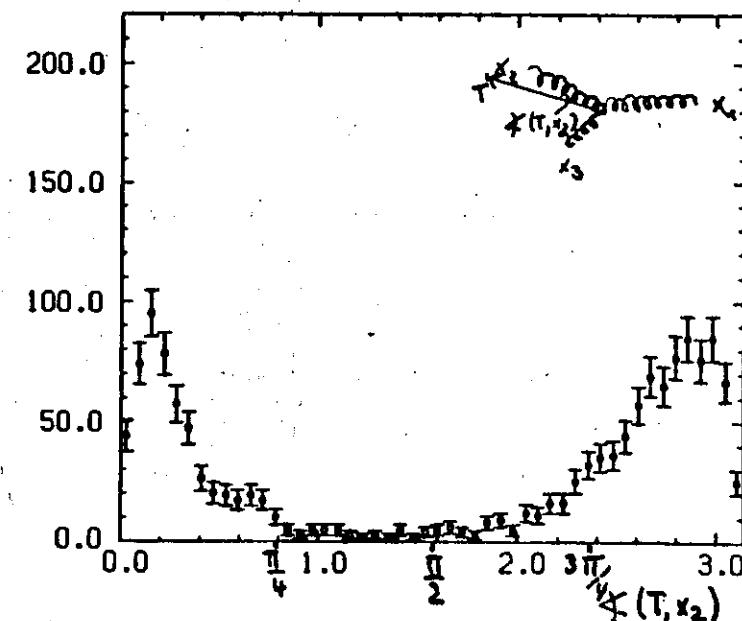
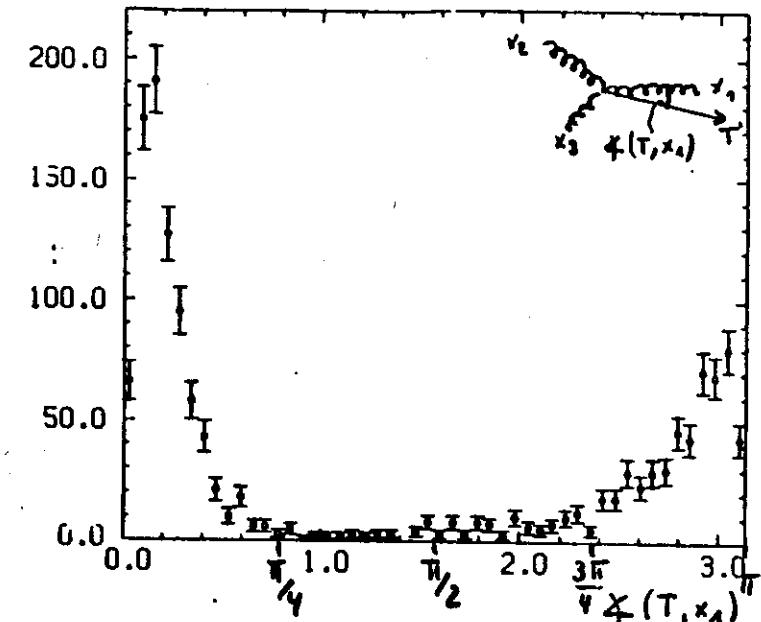
sollk recht zur T' -Achse

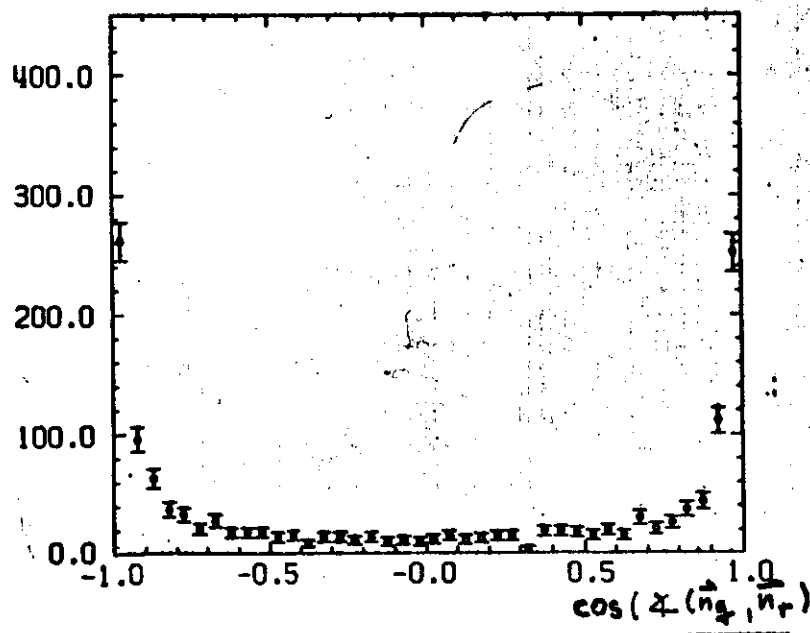
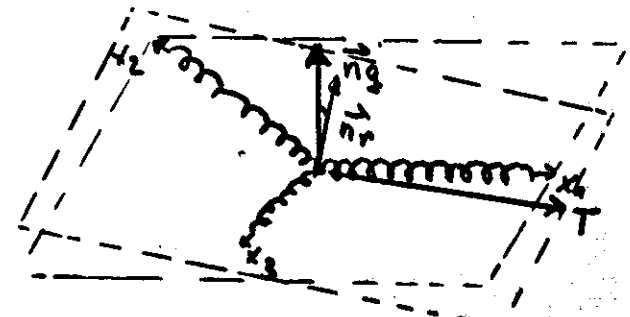
Teilchenimpuls $p_i > 5 \text{ GeV}$

Vorwärts-Rückwärts: x_1 in der Hemisphäre in der T'
maximal

$x_2 - x_3$ Entscheidung: x_2 liegt in dem Rückwärtigen Quadranten,
in dem ΣE maximal ist.

-120-



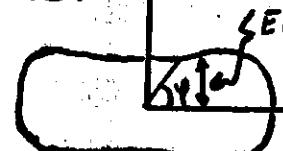


Ergebnisse: 1) Ebenenstruktur

Orientierung aus bis zur Ebenen-
rekonstruktion sig. E_x

$$\sin \varphi \cdot E_y$$

In der Ebene:



Zur Ebene



Bildet man die Verhältnisse

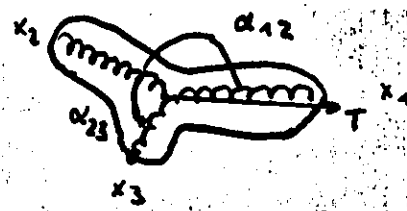
$$\alpha_y = \frac{\langle E_y \rangle_{MC}}{\langle E_y \rangle_{\Sigma}} \quad \text{und} \quad \alpha_x = \frac{\langle E_x \rangle_{MC}}{\langle E_x \rangle_{\Sigma}}$$

$\Rightarrow \alpha_y$ und $\alpha_x \approx 1$ für 3-jet-MC

α_y und $\alpha_x > 1$ für Phasenraum MC

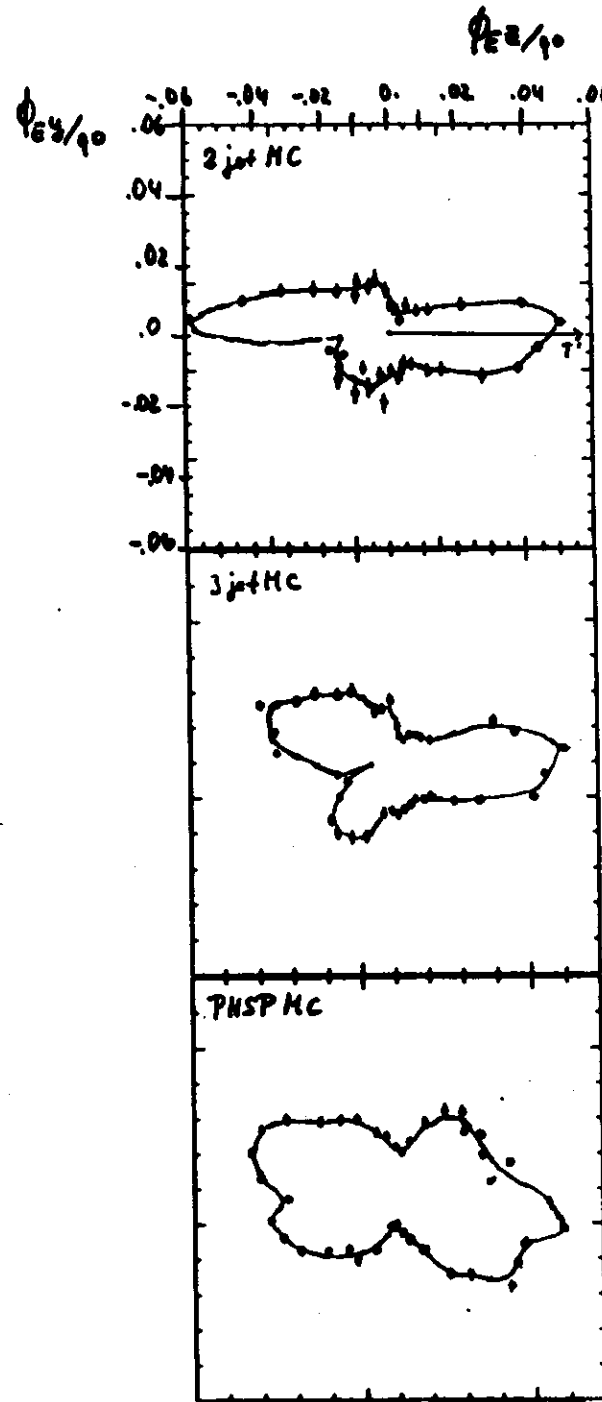
\Rightarrow gute Übereinstimmung der Ypsilon-Daten mit dem 3-jet-MC.
Keine Übereinstimmung mit dem Phasenraum
Phasenraum ist in biehen Koordinaten zur
T'-Achse breiter (keine P_T -Beschränkung)

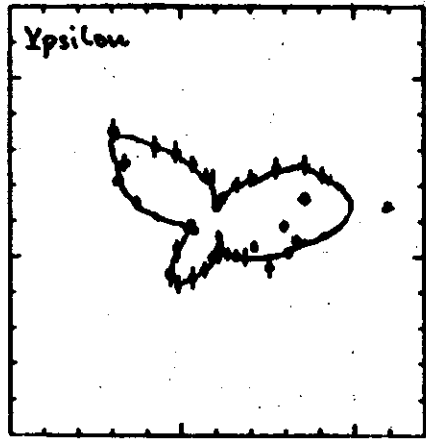
2) Messung der Winkel α_{12} , α_{23} als Funktion des Thrusts.



- 3 gluon MC zeigt Variation des Winkel α_{12}, α_{23}
- 2 jet MC zeigt keine Variation in α_{12}, α_{23}
- Phasenraum zeigt keine Variation in α_{12}
der Winkel α_{23} kann nicht definiert werden
- Epsilon Daten zeigen gleiche Variation wie das
3 gluon - MC

⇒ Daten zeigen Übereinstimmung mit dem 3-gluon-MC
Es gibt keine Übereinstimmung mit dem 2-jet MC
und dem Phasenraummodell.





Zusammenfassung:

DEUTSCHE PHYSIKALISCHE GESELLSCHAFT E.V.



Energieflußanalyse zur 2- und 3-Jetstruktur in der e^+e^- -Annihilation bei
9.4 GeV und im Bereich der Ypsilon Resonanz

PLUTO Collaboration Sprecher H.-J. Daum (Gesamthochschule Wuppertal)

Die dieser Untersuchung zugrunde liegenden Daten wurden 1978 mit dem Detektor PLUTO am Speicherring DORIS in einem Energiebereich von 9.25 GeV bis 9.47 GeV genommen. Der Nachweis geladener und neutraler Endzustands-Teilchen ergibt für diesen Detektor eine gesehene Energie $\langle E_{\text{seen}} \rangle = 89 \pm 0.01 \text{ GeV}$. Der Energiefluß $\langle E_T(\phi_j, T) \rangle = \frac{1}{E_{\text{cm}}} \langle \frac{\partial E}{\partial \phi_j} \rangle |_T$ für den Winkel ϕ_j wird als Funktion der Thrust T untersucht. Die Ergebnisse der e^+e^- -Annihilation bei 9.4 GeV und im Bereich der Ypsilon Resonanz werden mit 2-Jet-, 3-Jet- und Phasenraummodellen verglichen.

Inklusive K_s^0 -Erzeugung
in der e^+e^- -Vernichtung bei
9.4 GeV und beim Υ -Zerfall

Klaus Wacker

Gesamthochschule Wuppertal

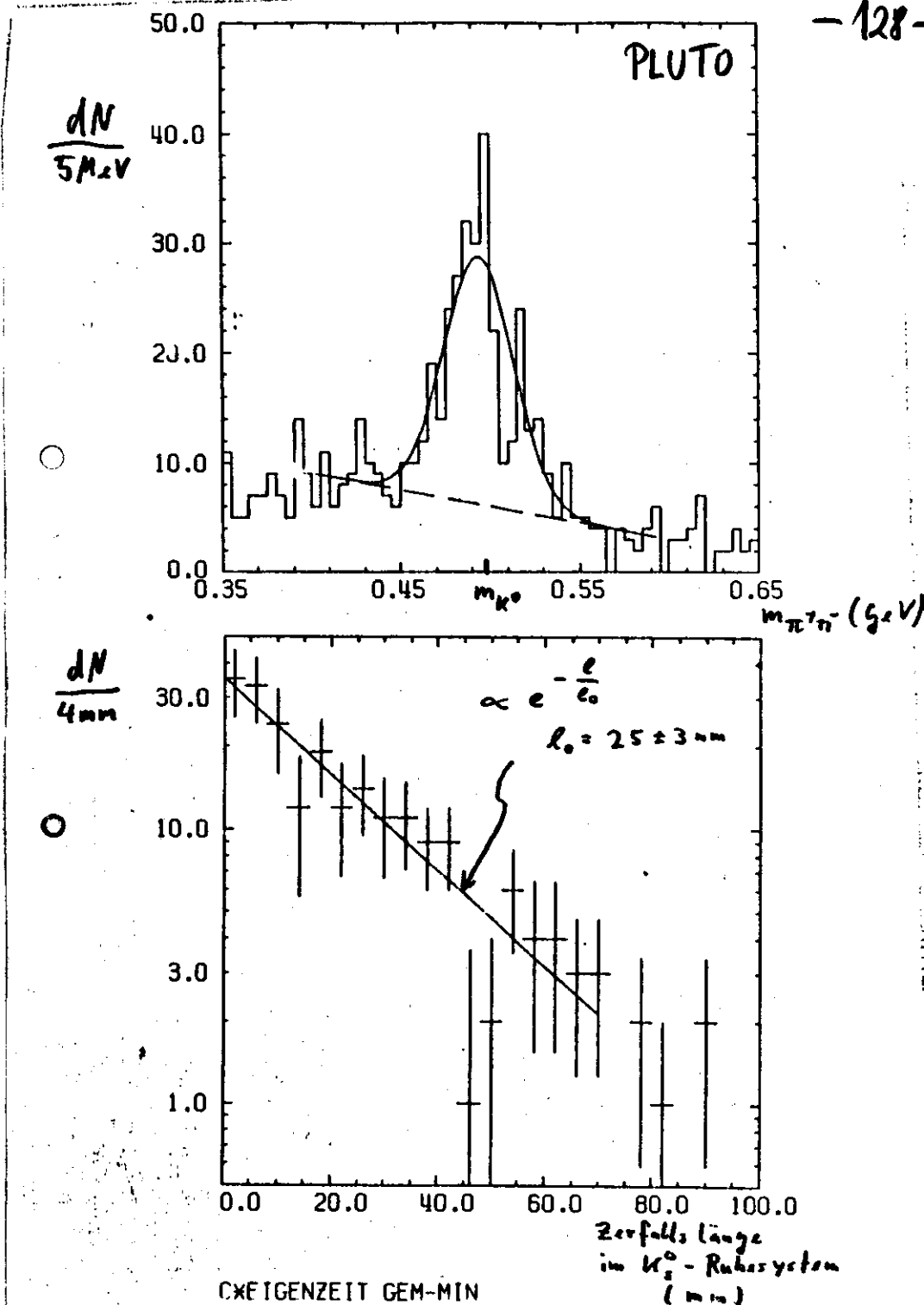
DEUTSCHE PHYSIKALISCHE GESELLSCHAFT E.V.



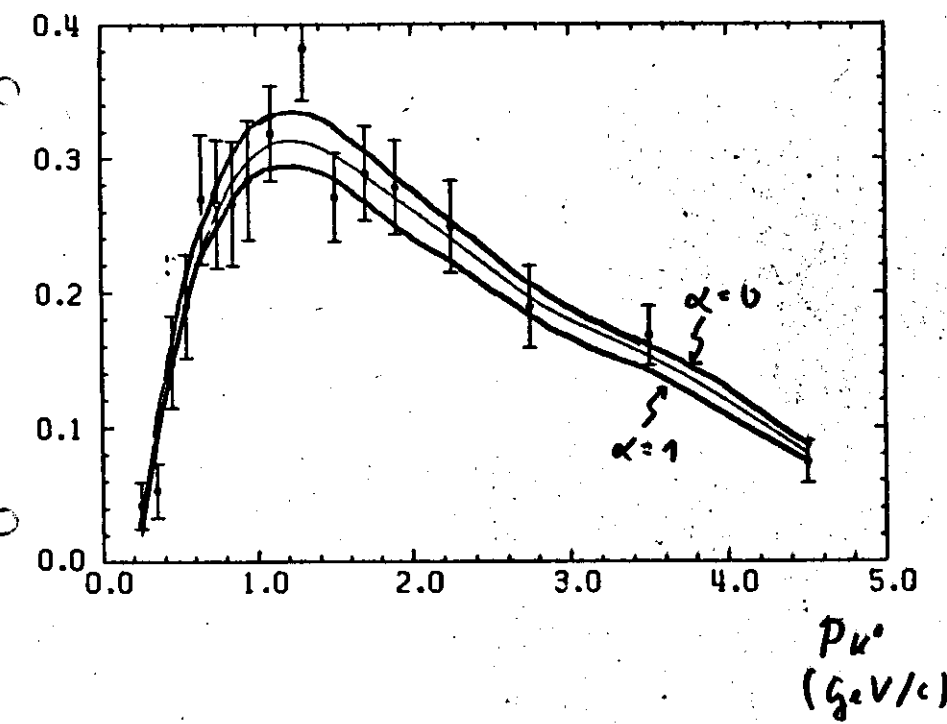
Inklusive K_s^0 -Erzeugung durch e^+e^- -Vernichtung bei 9.4 GeV und beim Zerfall des Υ .

Pluto Collaboration Sprecher: K. Wacker

Mit dem magnetischen Detektor Pluto wurde am Speicherring Doris die e^+e^- -Vernichtung bei Schwerpunktsenergien um 9.4 GeV untersucht. Dabei wurden die Formation und Zerfall der Υ -Resonanz sowie die Erzeugung von Hadronen im Kontinuum beobachtet. K_s^0 -Mesonen im Endzustand können durch ihren Zerfall in $\pi^+\pi^-$ nachgewiesen werden. Der inklusive K_s^0 -Wirkungsquerschnitt im Kontinuum ergibt Aussagen über Charm-Produktion und Fragmentation weit oberhalb der Schwelle. Der Zerfall des Υ in $K_s^0 + X$ lässt im Rahmen der QCD auf Eigenschaften der Gluon-Fragmentation schließen.

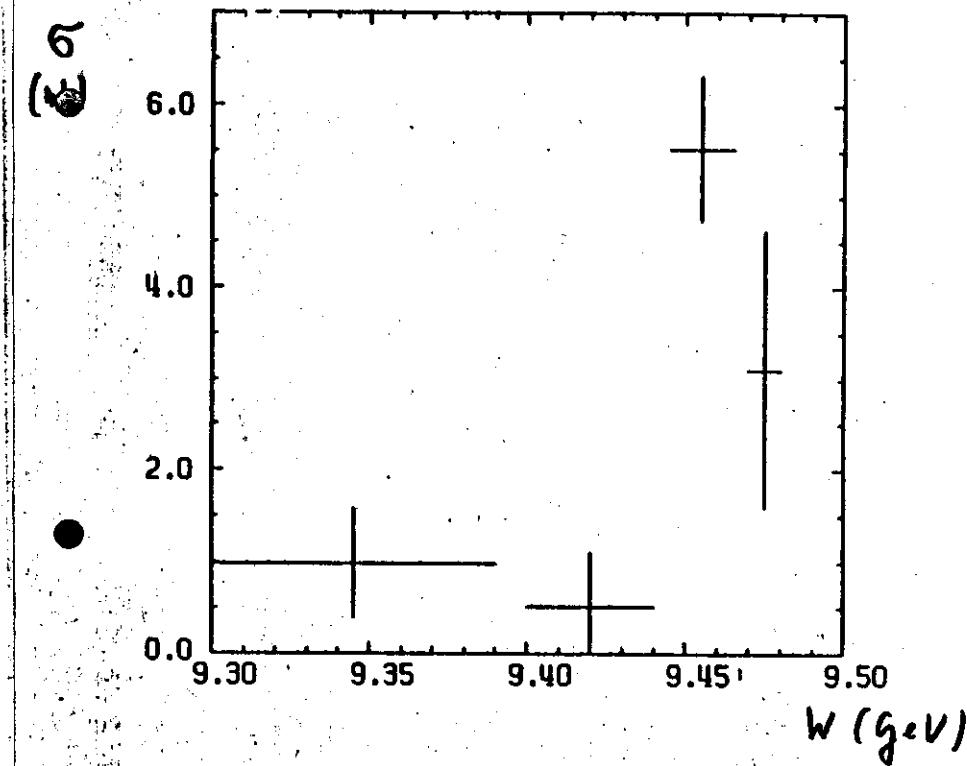


Nachweiswahrscheinlichkeit
für $K_s^0 \rightarrow \pi^+\pi^-$

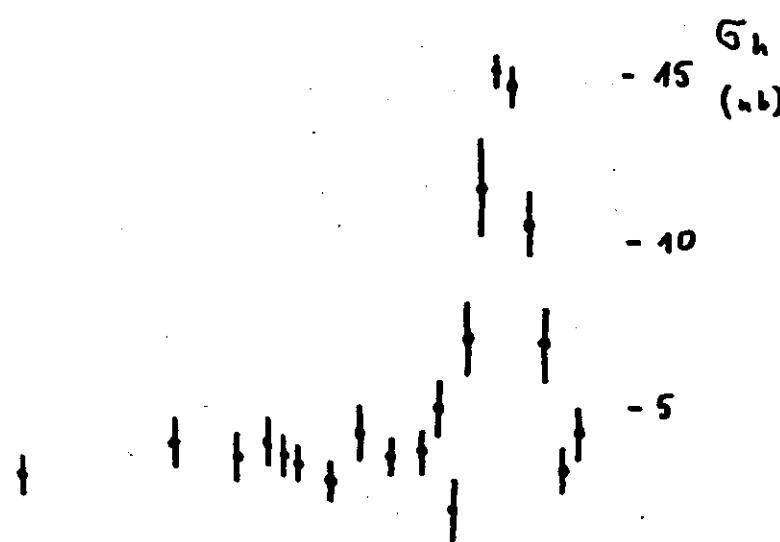


Erzeugung mit $\frac{d\sigma}{d\cos\theta} \propto 1 + \alpha \cos^2\theta$
 $\alpha = 0.5$

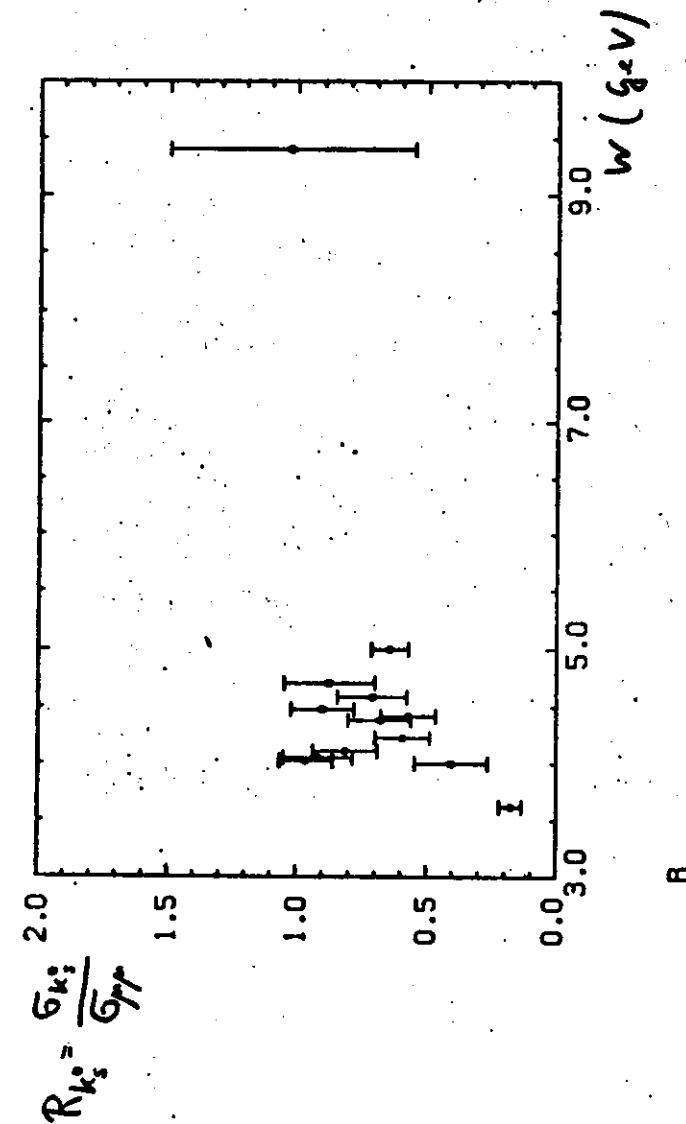
$e^+e^- \rightarrow K_s^0 + X$



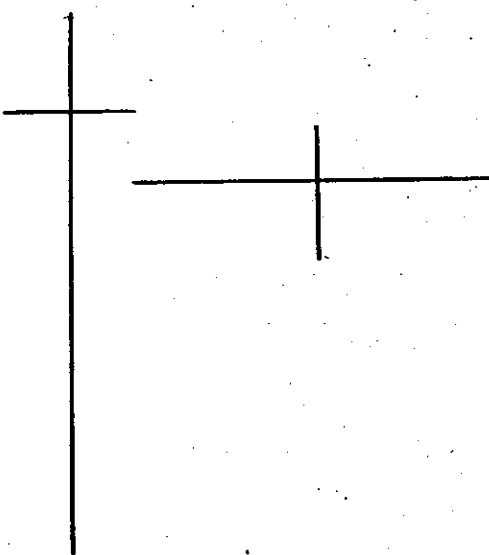
- 131 -



- 132 -

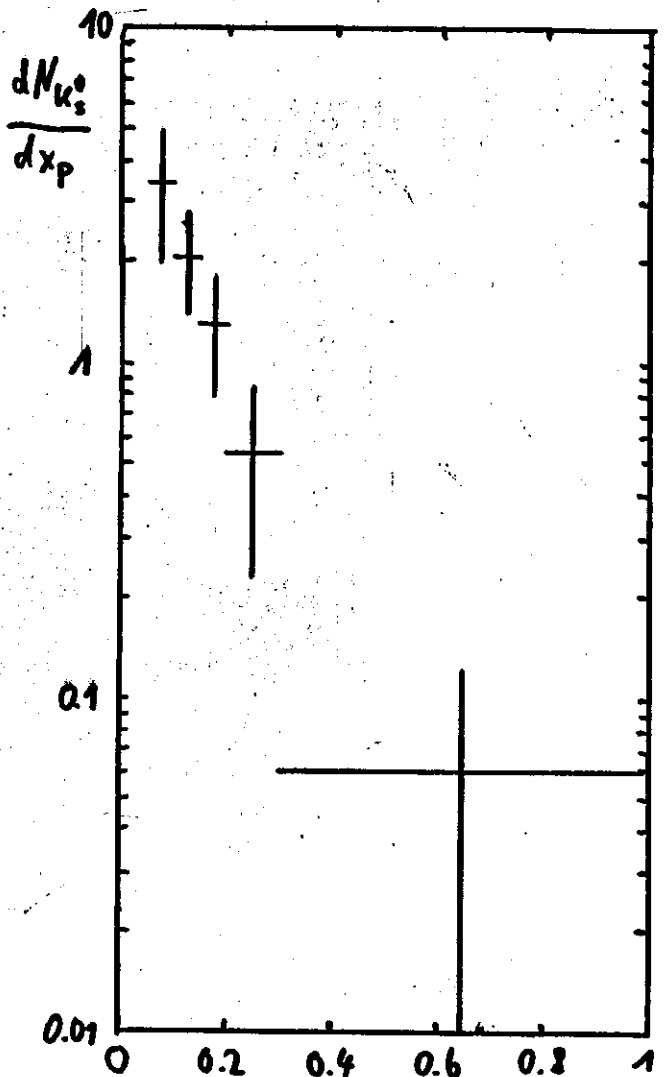


-133-



-134-

$\gamma \rightarrow K_s^0 + X$



$$x_p = \frac{p_{K^0}}{E_{Beam}}$$

Untersuchung des Zerfalls $\Upsilon \rightarrow \gamma + X$
mit dem Detektor PLUTO

Olivia Meyer

Gesamthochschule Wuppertal

Untersuchung des Zerfalls $\Upsilon \rightarrow \gamma + X$
mit dem Detektor PLUTO

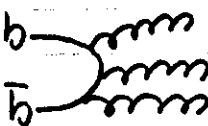
Motiv: Produktion schwerer Quarkpaare ist nach QCD stark unterdrückt \Rightarrow
Evidence für überhöhte 4-Produktion
wäre mit QCD schwer verträglich.



Abschätzung v. H. FRITZSCH u. K. H. STRENG

QCD - Annahmen:

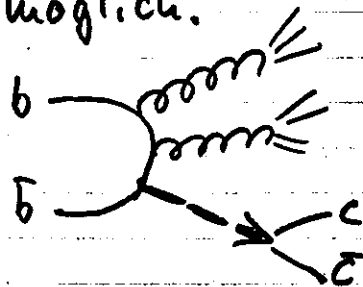
1. $\Upsilon \rightarrow 3$ "masselose" Gluonen



2. Gluonen \rightarrow aus "leichten" Quarks (u, d, s) aufgebaute Hadronen

3. Die mittlere Energie d. Gluonen beträgt ca. 3 GeV.

4. Produktion eines "schweren" Quarkpaars ($c\bar{c}$) ist nur über "massive" Gluonen möglich.



5. Wegen (3.) \Rightarrow Wahrscheinlichkeit für $[M_{min}(\text{gluon})]^2 > [3.1 \text{ GeV}]^2$ ist sehr klein.

Ergebnis d. Abschätzung:

$$\frac{\Gamma(Y \rightarrow 4 + X)}{\Gamma(Y \rightarrow \text{Hadronen})} \approx 1\%$$

Datenanalyse

Lumi(fb^{-1}) Events

ON-RESONANZ: a. 190 a. 1200

OFF-RESONANZ: a. 180 a. 400

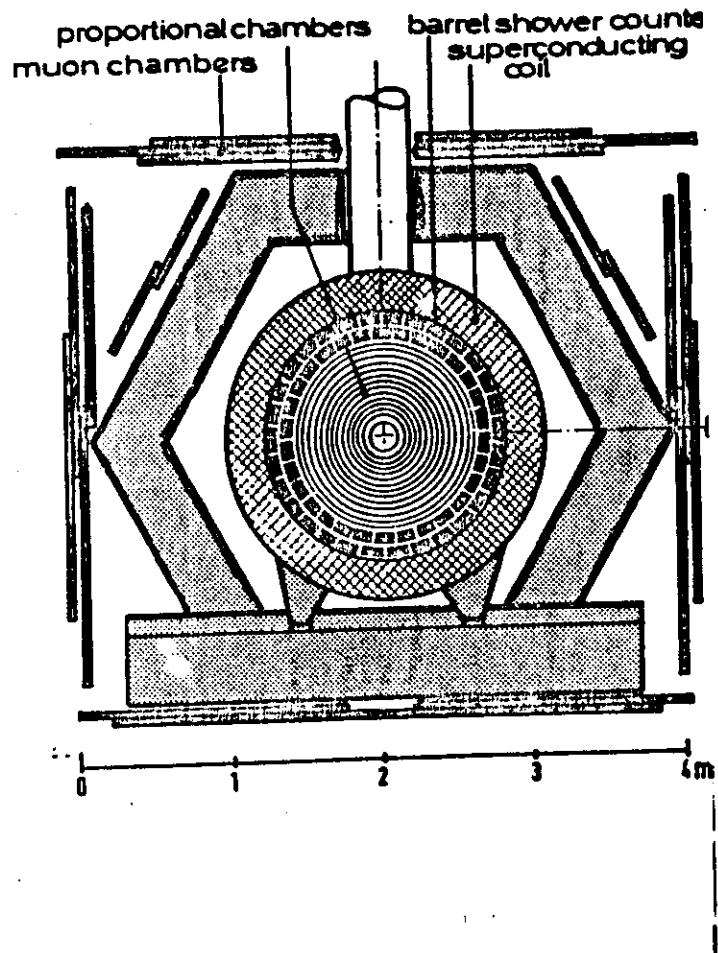
Detektor: Myonerkennung in $\Delta\Omega = 0.623 \cdot 4\pi$
Punchthrough: 3-4%

Untersucht wird:

$$Y \rightarrow \Psi + X$$

↓

$\mu\mu$



Eventselektion

1. mindestens 1 identifiziertes μ pion event
2. Pionenzahl ≥ 3
3. $N^+ - N^- \leq 2$ [beam gas]
4. cosmic-cut

- Gefragt: $M_{inv}(\mu + \text{track})$ mit
 $|\vec{p}(\mu)| > 0.9 \text{ GeV}, |\vec{p}(\text{tr})| > 0.9 \text{ GeV}$

Abschätzung des durch punch through
hervorgerufenen Untergrundes

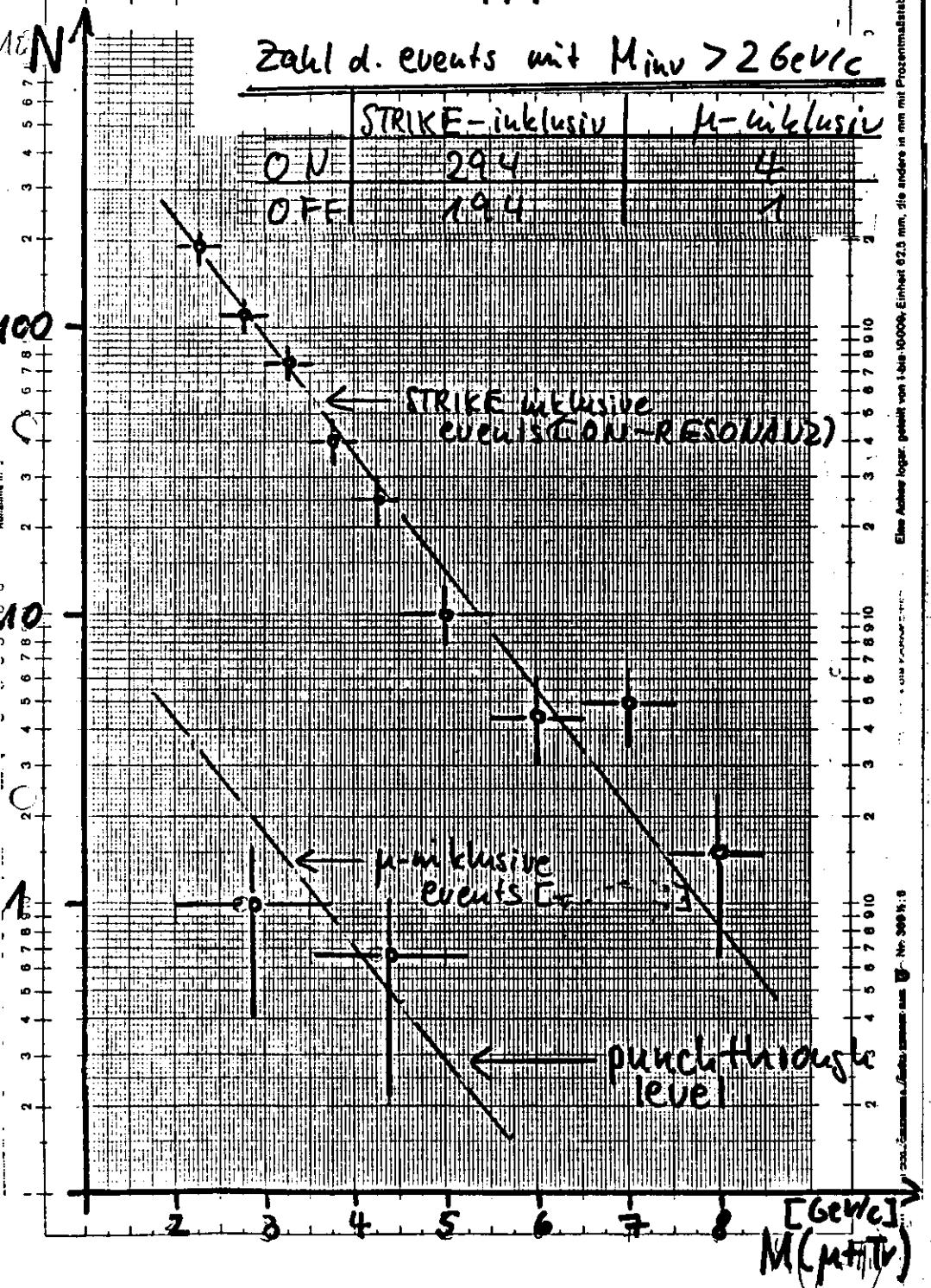
- Eventselektion und Bildung von M_{inv} erfolgt nach den gleichen Kriterien wie oben.

Unterschied:

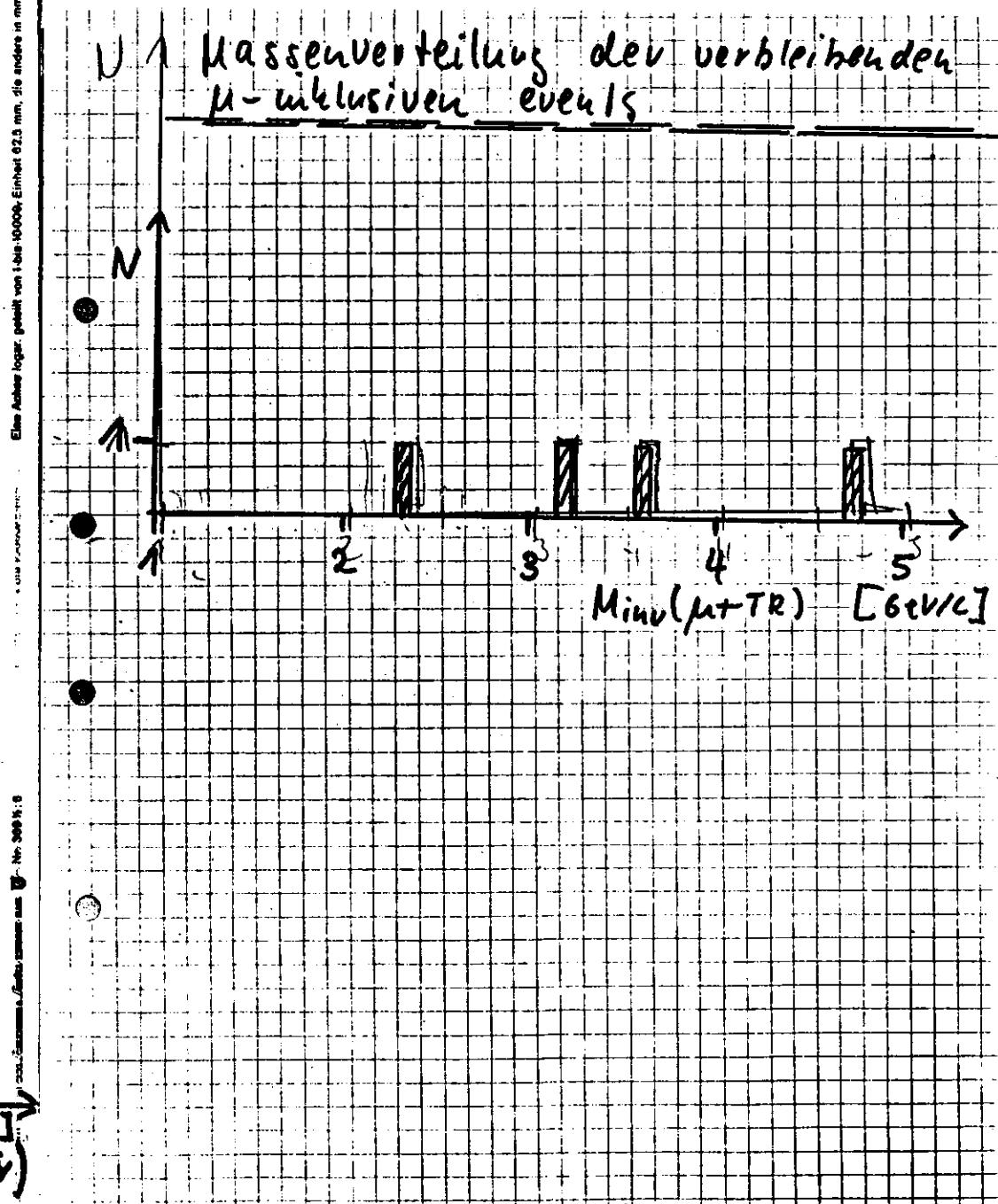
Statt eines identifizierten μ 's wird ein STRIKE verlangt.

Zahl d. events mit $M_{inv} > 2 \text{ GeV/c}$

	STRIKE-inklusiv	μ -inklusiv
ON	294	4
OFF	194	1



Massenverteilung der verbleibenden μ -inklusiven events



ON + OFF Res: kein event

Anzahl der nach QCD ON-Res.
erwarteten events:

Mit: $BR(\gamma \rightarrow \mu\mu) = 0.07$

$$\text{Akzeptanz} = 0.63 \times 0.87 \approx 0.5$$

$$\text{Zahl d. had. events: } \approx 1200$$

$\Rightarrow BR(Y \rightarrow \Psi + X) \approx 1\% \text{ entspricht } 0.5 \text{ events.}$

FOLGERUNG:

Experiment + QCD-Abschätzungen sind
kompatibel.

Das "upper limit" ist eine Frage
der Statistik.

J^P -Analyse von $\bar{\nu}\tau$
in $\tau \rightarrow \nu \bar{g}^0\pi$

Egbert Lehmann
DESY, Hamburg

J^P -Analyse von $\bar{\nu}\tau$ in $\tau \rightarrow \nu \bar{g}^0\pi$

E.Lehmann

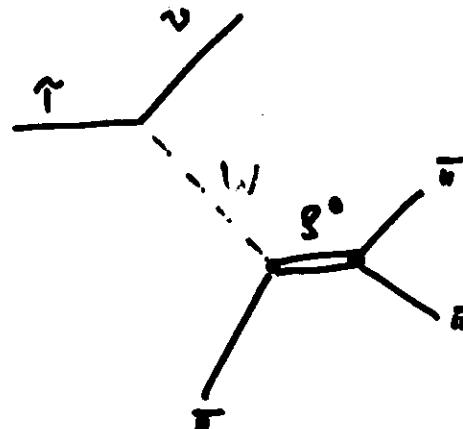
G-Parität $g(\bar{\nu}\tau) = -1$

Schwacher hadronischer Strom:

Axiell. Vektorstrom 1. Klasse: $J^P=0$

Vektorstrom 2. Klasse: $J^P=1$

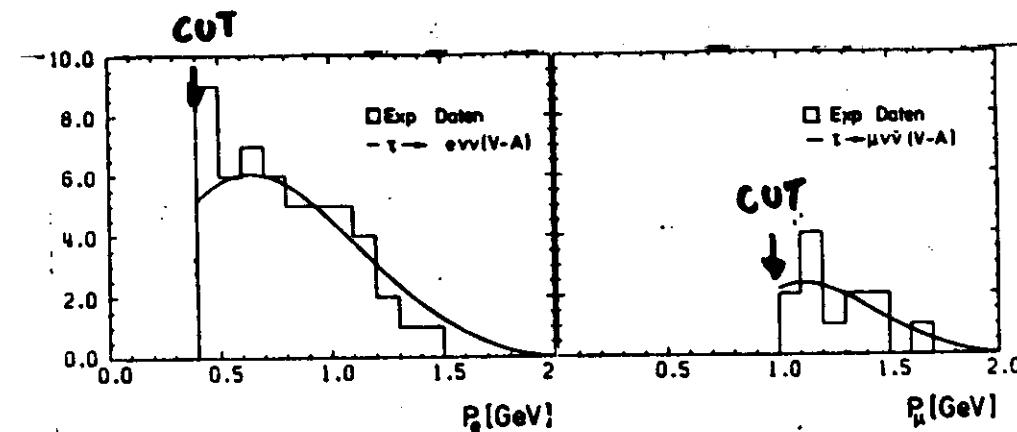
F_1 ?



Ereignisauswahl

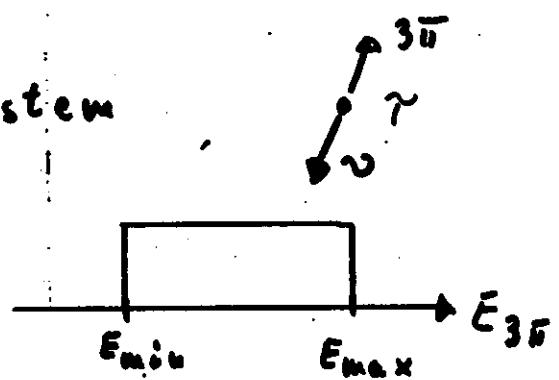
$$E_{CM} = 4 \dots 5 \text{ GeV}$$

- 1 Lepton + 3 gel. Teilchen + 0 γ
- $P_e > 400 \text{ MeV}/c$, $P_\mu > 1 \text{ GeV}/c$
- Elektron: Schauer hinter Blei
Myon: μ -Kammer hinter $\sim 70 \text{ cm}$ Eisen
- $P(h \rightarrow e) = 1.2\%$
- $P(h \rightarrow \mu) = 2.8\%$
- $W(\tau^0) = 78\%$
- HH^* -Schnitt bei $0.8 \text{ GeV}^2/c^4$
- $3\bar{\pi}_s$ verträglich mit τ -Perfo
 - $E_{3\bar{\pi}} < E_{\text{STRahl}}$
 - $m_{3\bar{\pi}} < m_\tau$ ($1.8 \text{ GeV}/c^2$)
 - $E_{\min} < E_{3\bar{\pi}} < E_{\max}$

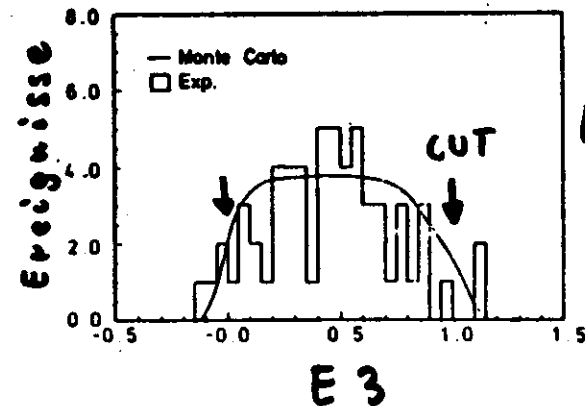


τ -Ruhesystem

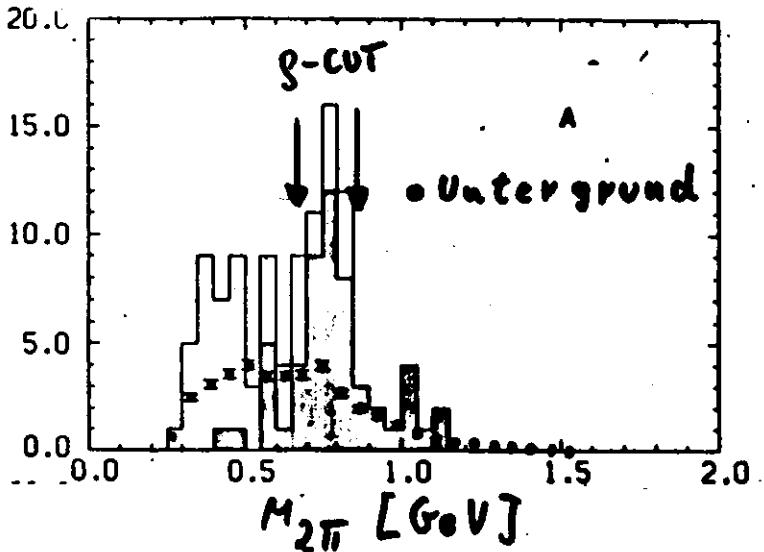
Labor



$$E_{\min}, E_{\max} = f(m_{3\bar{\pi}}, E_{\text{STRAHL}}, m_\tau)$$



$$E_3 = \frac{E_{3\bar{\pi}} - E_K}{E_{\max} - E_{\min}}$$



DATEN hadr. Untergrund

	DATEN	hadr. Untergrund
KONSIST.	54	18
NICHT KON.	13	11
<hr/>		
KONSISTENT im g-Band	40	8.5
ausser. g	14	9.5

Verhältnis $\gamma/\pi : \tau/1$ $\Rightarrow 100\% \pi^0 \pi^0$ (durch Vergleich mit MC)

Obere Grenze

$$\frac{\tau \rightarrow \nu \bar{\nu} \pi \pi}{\tau \rightarrow (\nu \bar{\nu} + \pi \bar{\pi})} \leq 0.27 \text{ (95% CL)}$$

	e	μ
beob. Ereignisse	34	6
Untergrund had.	6.5	2
" " γ	4.5	0
Signal	23	4
Nachweis- wahrscheinlichkeit	0.054 ± 0.009	0.034 ± 0.004

• e- μ Universalität angenommen

$$B(\tau \rightarrow \ell \bar{\nu} \nu) \cdot B(\tau \rightarrow \nu \bar{\nu} \pi) = 0.093 \pm 0.005$$

mit $B(\tau \rightarrow \ell \bar{\nu} \nu) = 0.16$: $B(\tau \rightarrow \nu \bar{\nu} \pi) = 5.8 \pm 1.0$
+ 20 % syst. Fehler

für $I=1$

$$B(\tau^+ \rightarrow \nu \bar{\nu} \pi) = 2 B(\tau^+ \rightarrow \nu \bar{\nu} \pi^+)$$

• Annahme über tel. Stärke von Vektor- und Axialvektorkorpartiel (Weinberg-Summenregel):

$$\frac{\Gamma(\tau \rightarrow R_1 \nu)}{\Gamma(\tau \rightarrow e \bar{\nu} \nu)} = \frac{3\pi}{4} \cos^2 \theta_c (1 - \Delta^2) \cdot (1 + 2\Delta^2) \Delta^2$$

$$\Delta = M_{R_1}/M_\tau$$

$$\approx B(\tau \rightarrow R_1 \nu) = 9\% \text{ Theorie}$$

$$11.6 \pm 2.6\% \text{ Experiment}$$

Dreidimensionale DichteVerteilung
für versch. J^P -zuordnungen

$$D(M_{3\pi}, s_1, s_2; J, \ell) = R(m_{3\pi}) \cdot H(s_1, s_2; J, \ell; M_{3\pi})$$

$R(m_{3\pi})$: kinematische Faktoren
vom $\bar{t} - u - w$ -Vertex

(Rok, Kawamoto) - Schwellenfaktoren von
 ℓ zwischen $g\pi$

- Resonanzfaktoren f. R_A

$H(s_1, s_2; J, \ell)$: Symmetrieeigenschaften
(Frater et al.) des $g\pi$ -Systems in J, ℓ

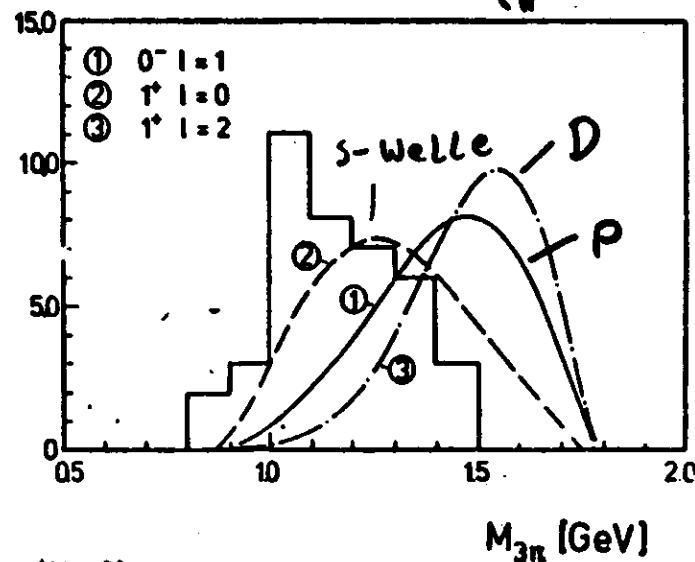
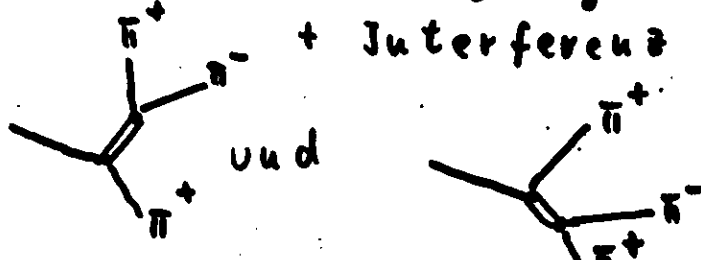
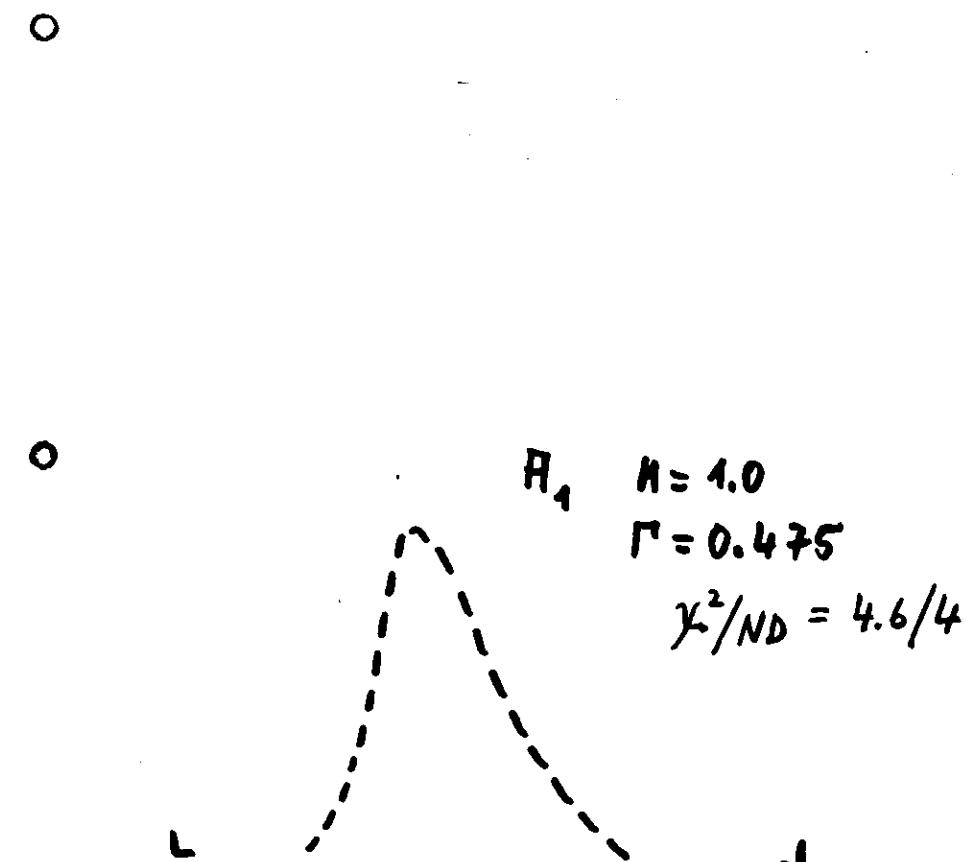


Abb. 39



Partialwellen des $\pi\bar{\pi}$ -Systems

G-Parität = -1 $J \leq 1$ (wegen W)

Axialvectorstrom 1. Art $J^P = 0^-, 1^+, 1^+$

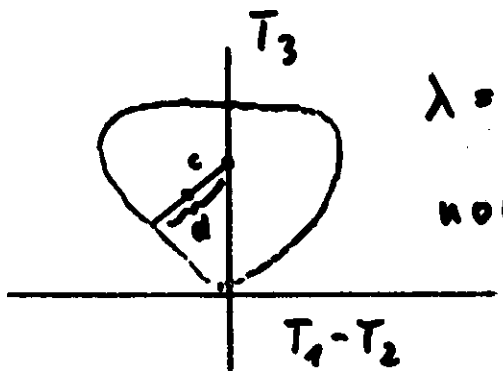
Vektorstrom 2. Art $J^P \in 1^-$

$$f(m_{3\pi}) \equiv \iint ds_1 ds_2 D(m_{3\pi}, s_1, s_2; J, \ell)$$

Experiment

3D \rightarrow 2D Darstellung

- Dalitzplot ($\int D dm_{3\pi}$)

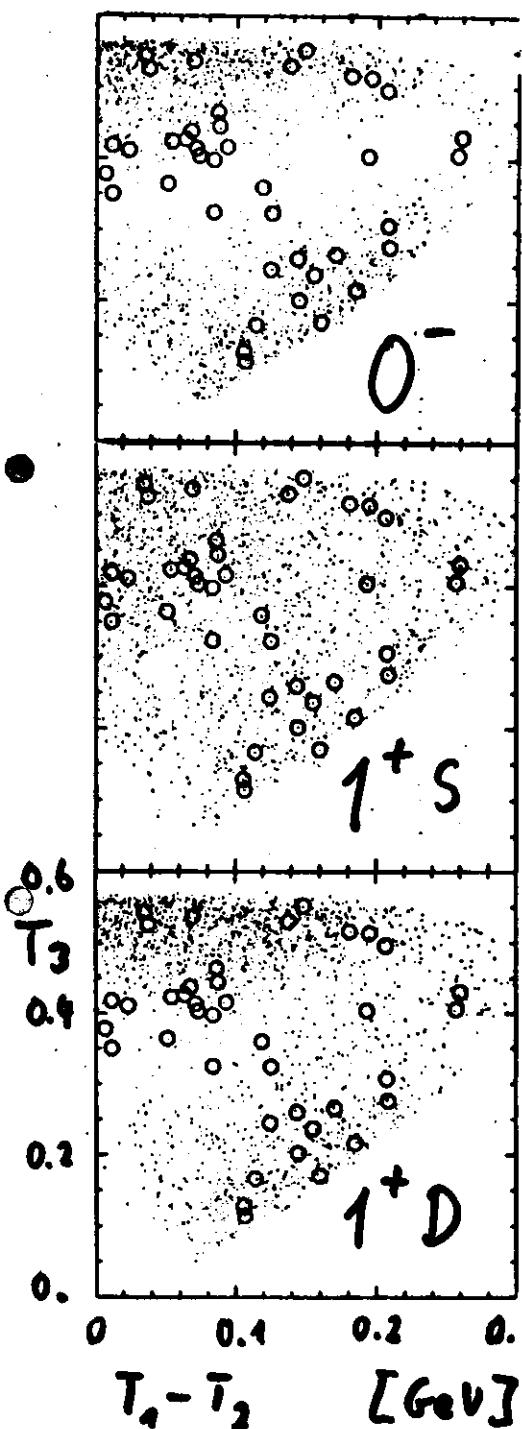


$$\lambda = \frac{c}{d}$$

norm. Abstand
von der Mitte

Grenzen abhängig von $m_{3\pi}$ (breit)

\rightsquigarrow Überlagerung von versch. Dalitzplots mit unterschiedlichen Grenzen



DATEN
MC + Untergrund
Untergrund

0-

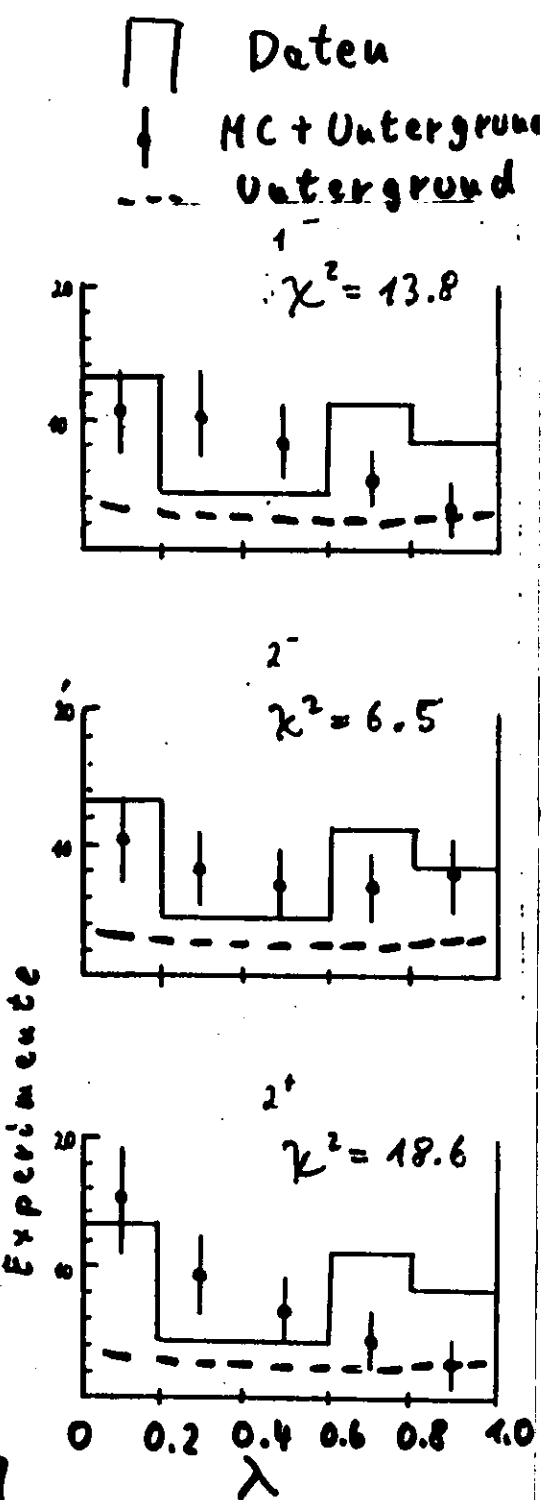
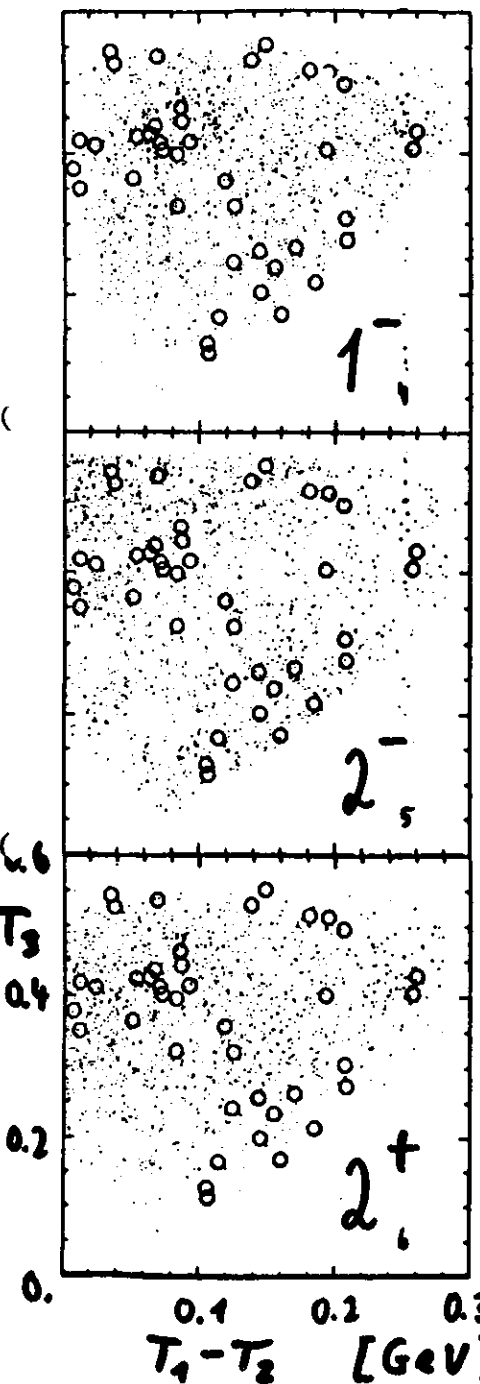
$$\chi^2 = 17.0$$

1+ L=0

$$\chi^2 = 7.5$$

1+ L=2

$$\chi^2 = 19.5$$



Bilde

$$L(\underline{M_{3\pi}}, \underline{s_1}, \underline{s_2}; \underline{J}, \underline{l}) = \ln D(\underline{M_{3\pi}}, \underline{s_1}, \underline{s_2}; \underline{J}, \underline{l})$$

als Funktion von $M_{3\pi}$

Wieder

3 D \longrightarrow 2 D

$$D(\underline{M_{3\pi}}, \underline{s_1}, \underline{s_2}; \underline{J}, \underline{l}) \longrightarrow L(\dots), \underline{M_{3\pi}}$$

vergleiche

Monte Carlo mit Daten

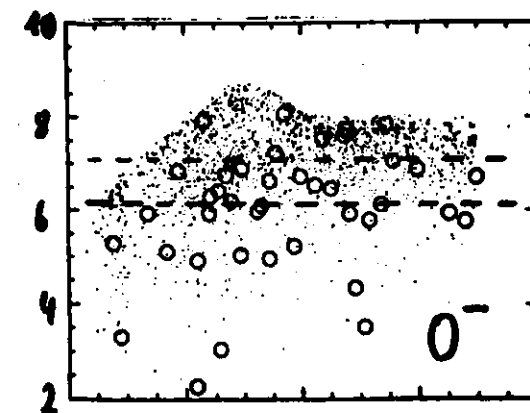
Mittelwerte:

$$\langle L_T \rangle = \frac{40 \langle L_{exp} \rangle - 13 \langle L_{ug} \rangle}{27}$$

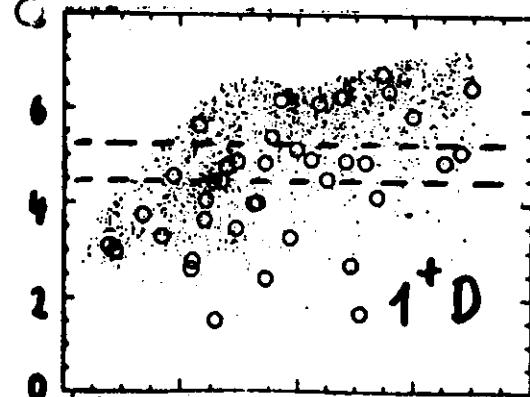
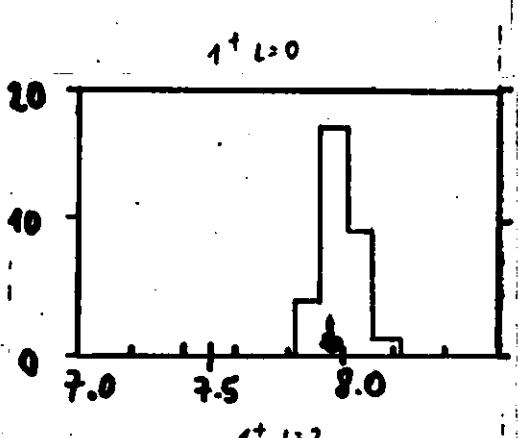
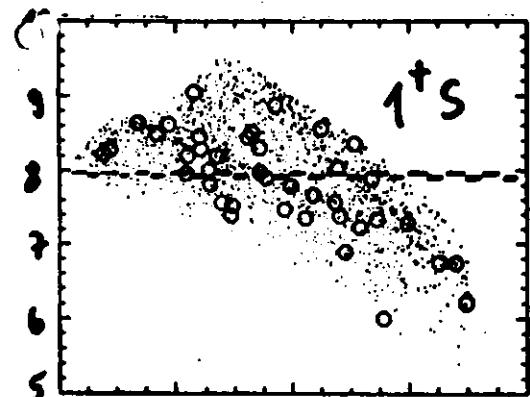
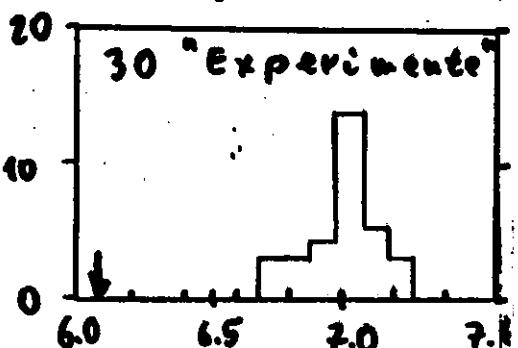
NICHT NORHIERT!

--<MC>--<Daten>

-157-



↓ DATEN □ Monte Carlo
0⁻



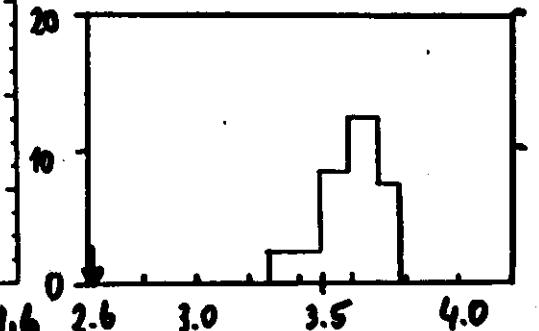
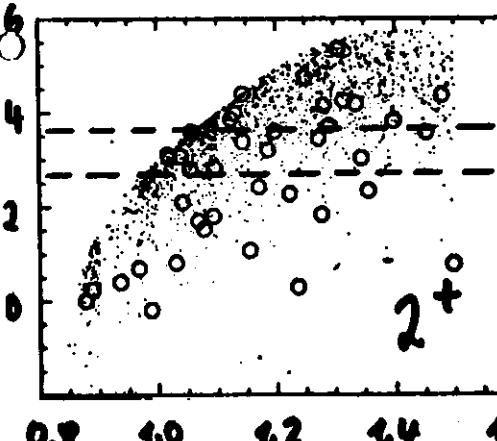
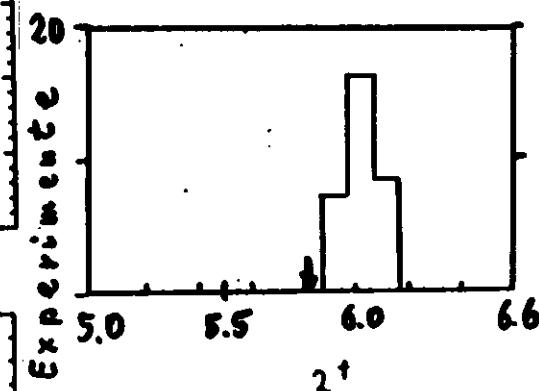
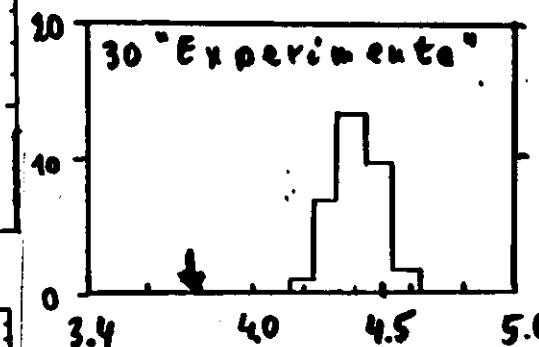
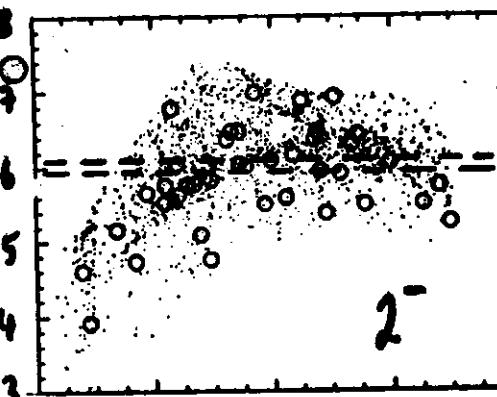
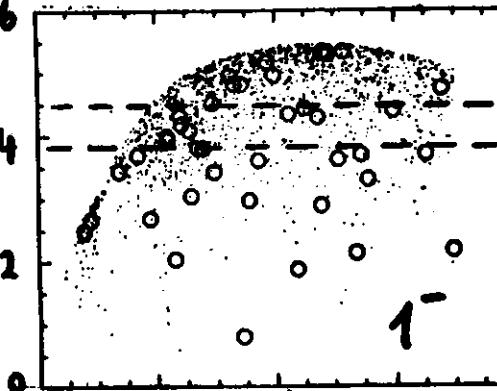
$M_{3\pi}$ [GeV]

$\langle L(J, l) \rangle$
[willk. Einheiten]

--<MC>--<Daten>

-158-

↓ DATEN
□ MONTE CARLO



$M_{3\pi}$ [GeV]

$\langle L(J, l) \rangle$
[willk. Einheiten]

Zusammenfassung

- $\gamma \rightarrow \nu g\bar{\nu}$ etabliert
- $1^+ S$ wahrscheinlich
Axialvektorstrom 1. Art
- R_1 mit $M=1 \text{ GeV}$ $\Gamma=0.475$
gibt gute Anpassung
- $B(\gamma \rightarrow \nu g\bar{\nu})$ stimmt mit
Theorie überein

Zusammenfassung:

DEUTSCHE PHYSIKALISCHE GESELLSCHAFT E.V.



Partialwellenanalyse des η' -Systems im Zerfall $\gamma \rightarrow \nu g\bar{\nu}$
PLUTO Collaboration Sprecher E. Lehmann (DESY)

Anhand von $e^+ e^-$ -Annihilationseignissen wurde der Partialwellenzustand des η' -Systems vom Zerfall $\gamma \rightarrow \nu g\bar{\nu}$ im Dalitzplot analysiert. Die Analyse ist unabhängig von kinematischen Effekten des schwachen Zerfallsprozesses oder Resonanzeffekten (A_1 -Meson) auf das η' -System. Partialwellen, die Strömen 2. Art entsprechen, sind mit den Daten inkonsistent. Die S-Wellenzuordnung (Axialer Strom 1. Art, A_1 -Quantenzahlen) stimmt gut mit den Daten überein.

Untersuchungen an
Zwei-Photon Ereignissen
(PLUTO an PETRA)

Franck Raupach

RWTH Aachen

Raupach

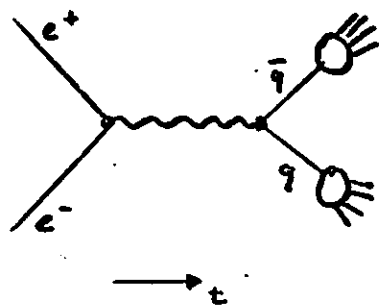
8 Mrz 1978

UNTERSUCHUNGEN AN

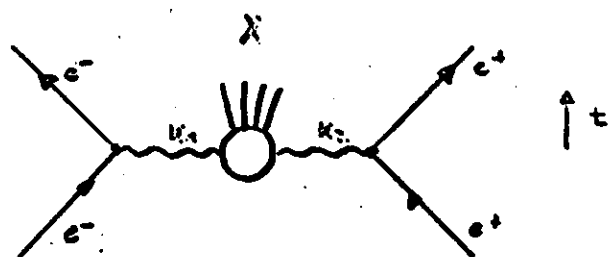
ZWEI - PHOTON -EREIGNISSEN
(PLUTO AN PETRA)

1. PHYSIKALISCHE MOTIVATION
2. DETEKTORBESCHREIBUNG
3. ERGEBNISSE

I. EIN-PHOTON-GRAPH



II. ZWEI-PHOTON-PROZESS



$$\left| \frac{W^2}{k_1^2 k_2^2} = 4 K_1 K_2 \right. , \quad \left. S \sim \ln \frac{E}{m_e} \right.$$

A. UNTERGRUND

2. physikalische Aspekte

EPA:

$$N(k) \approx \frac{2\alpha}{\pi} \ln \left\{ \frac{E \cdot \sin \Theta_{max}}{m_e} \right\}$$

a) W KLEIN

i) SUCHEN NACH RESONANSEN

($f(1270), \dots$)

ii) DIFFRATIVER WIRKUNGS-
QUERSCHNITT

$$\sigma_{\gamma\gamma} \approx \sigma_{pp} / \sigma_{pp} \approx 300 nb$$

b) größere W

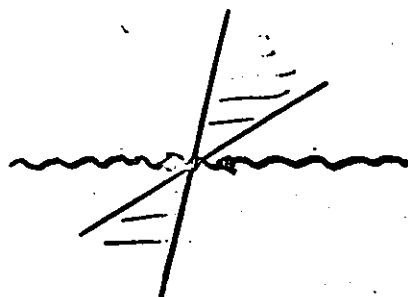
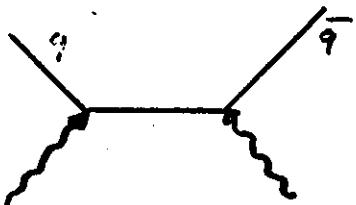
i) PRODUKTION VON HADRONEN

ii) ERZEUGUNG VON JETS

MIT GROßEN P_T

$ee \rightarrow ee\bar{q}\bar{q} \rightarrow ee + \text{JETS}$

QCD:



ohne

"beam-pipe-jets"

NEUES R :

$$R_{gg} = \frac{d\sigma(ee \rightarrow ee\bar{q}\bar{q})}{d\sigma(ee \rightarrow eeg\bar{g})}$$

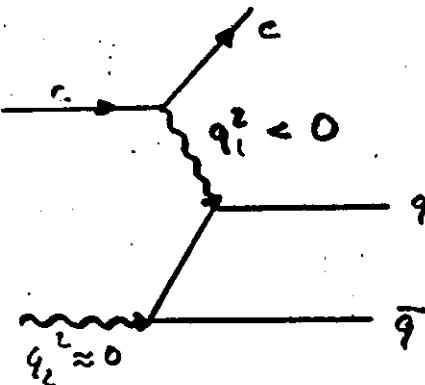
QCD: (3-COLOR)

$$R_{gg} = 3 \sum_{q=u,d,s,\dots} e_q^4$$

=> TEST VON QCD

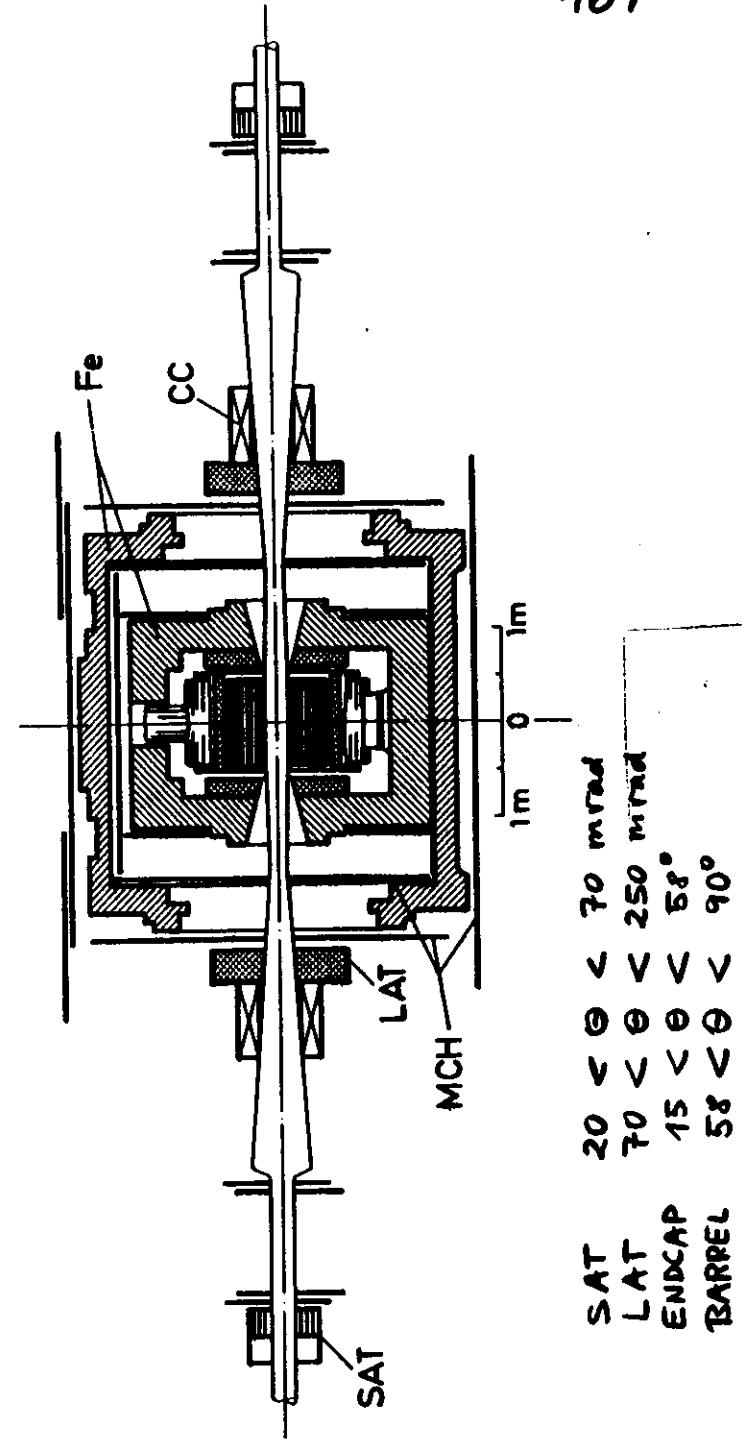
iii) PHOTON - STRUKTUR - FUNKTION
ggf.

eine virtuelle Photone



=> QCD - TEST
($\frac{e_{ggf}}{q^2 \rightarrow 0} f(x)$)

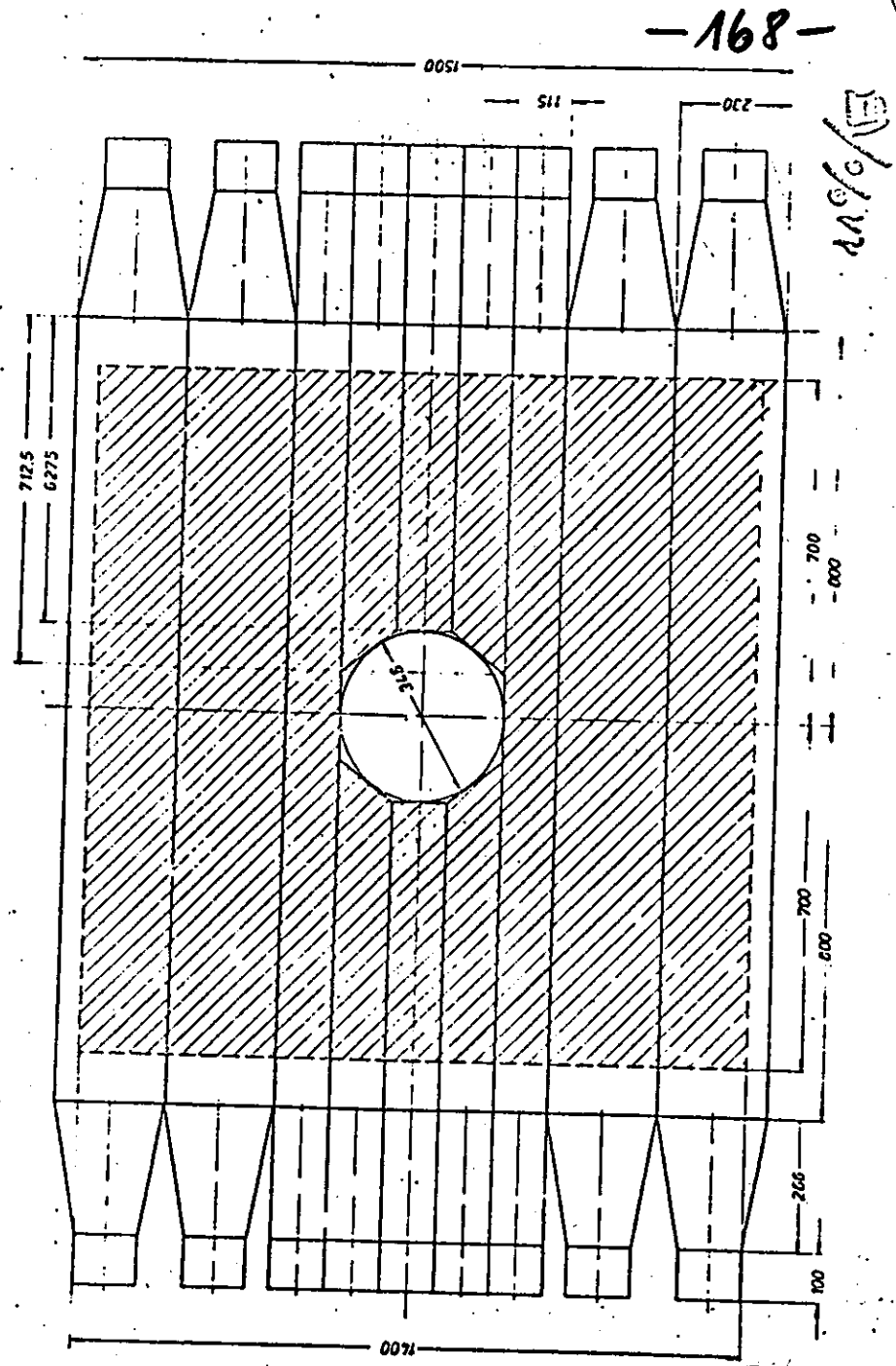
PLUTO



-167-

o)

Sandwich - Show or Cross Section
Prop. Tube chamber

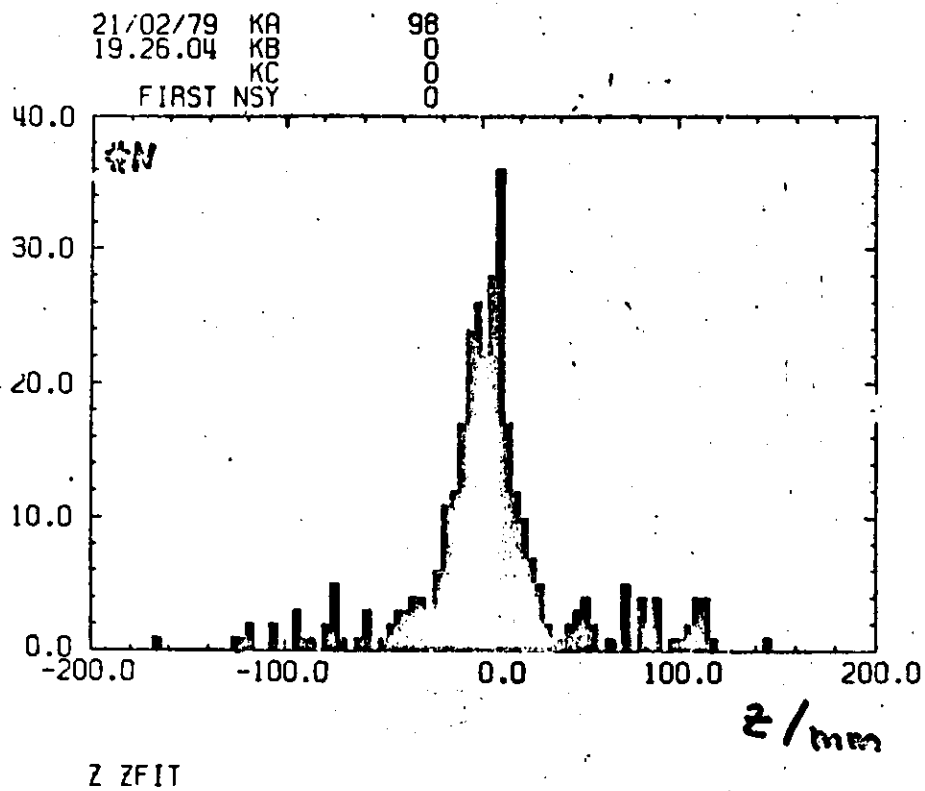


-168-

dN/dE/ΔE

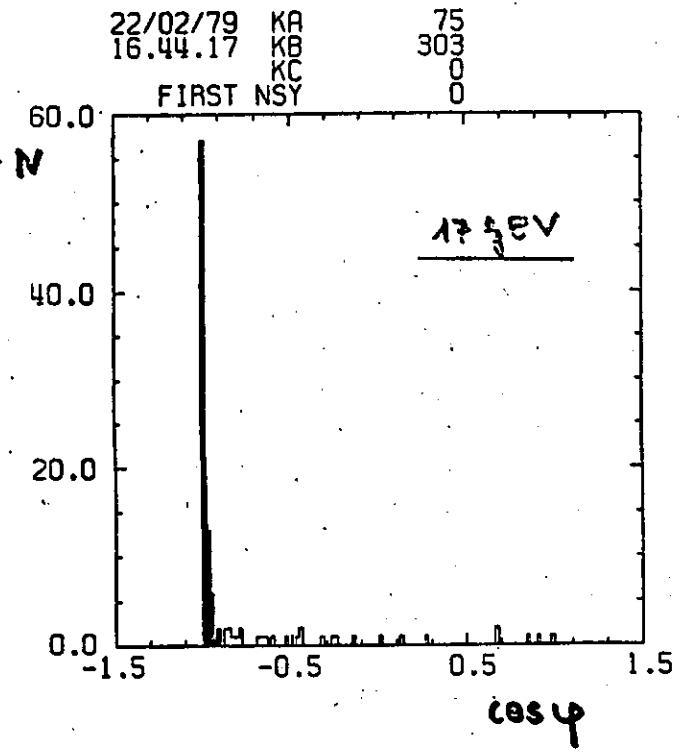
- 169 -

VERTEX - VERTEILUNG
(getragte EVENTS)



- 170 -

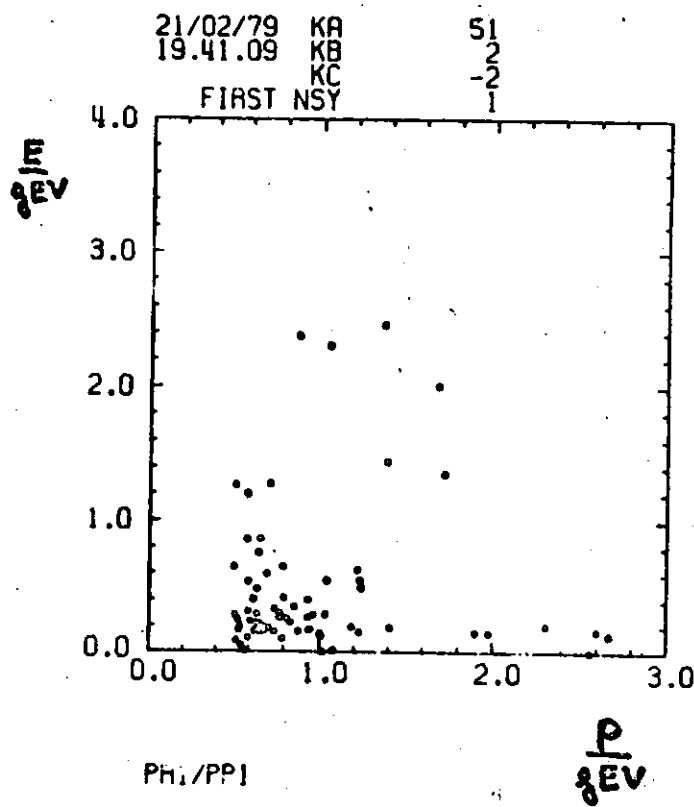
HIPPLUSSENNE VON EVENTS
KIT TAG (r - φ - PROJEKTION)



ENERGIE ÜBER IMPULS

(INNEN)

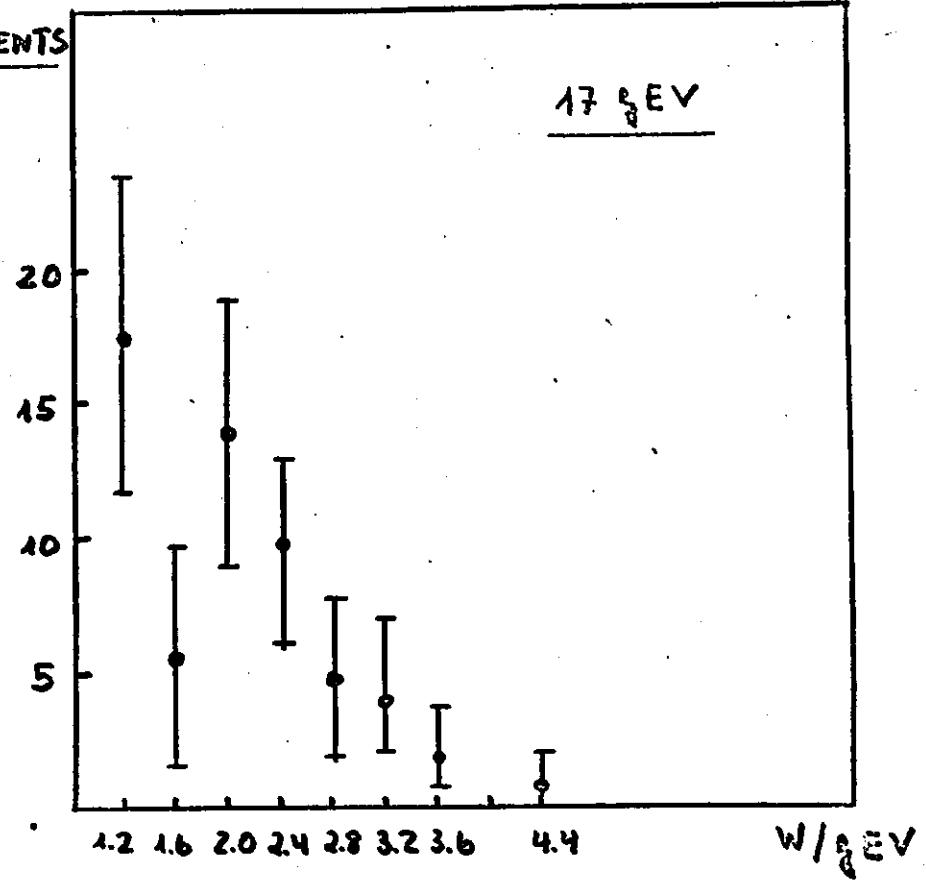
-171-

SINGLE TAG : DATEN

-172-

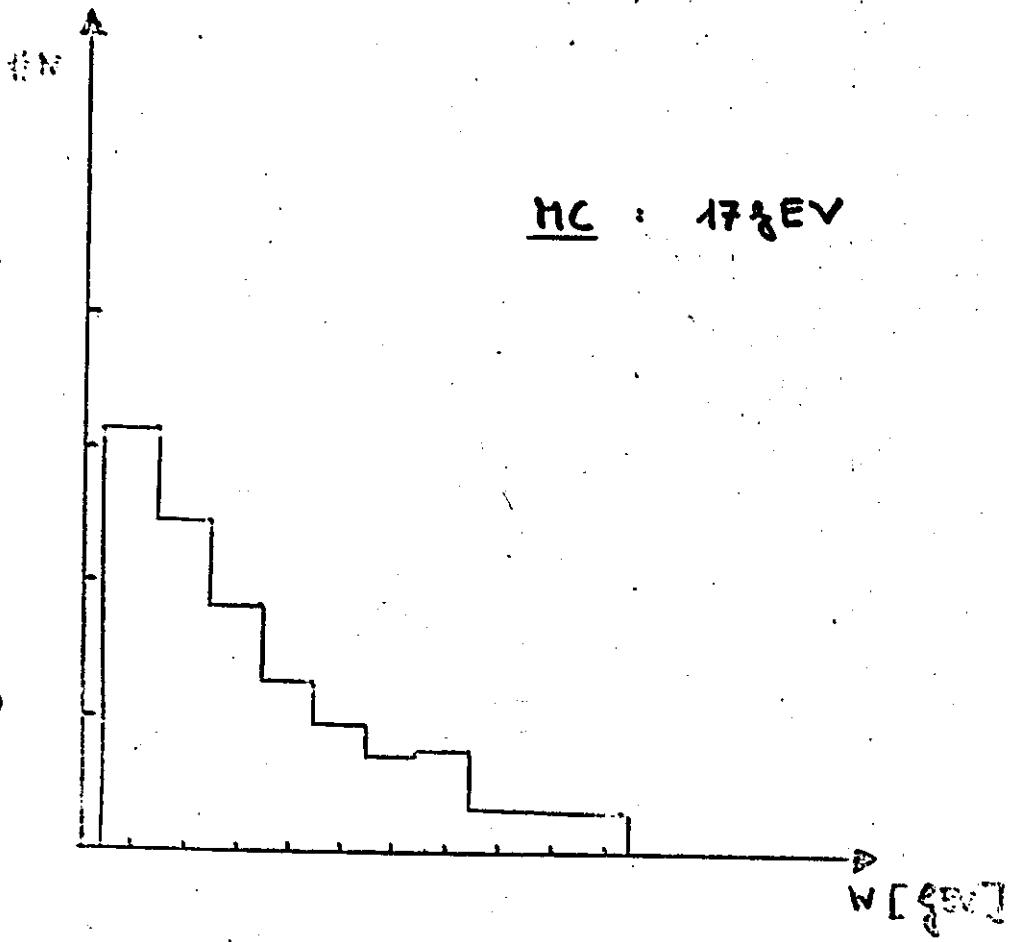
EVENTS

17.5 EV

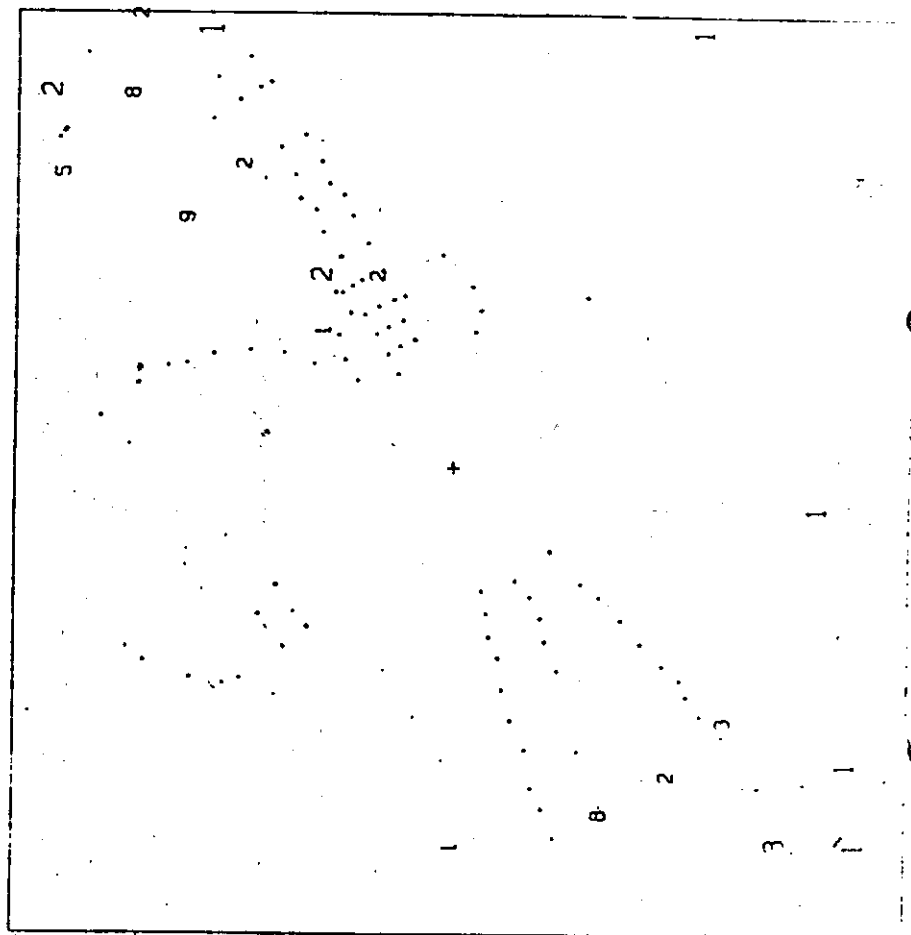


- 173 -

SINGLE TAG : nc



- 174 -

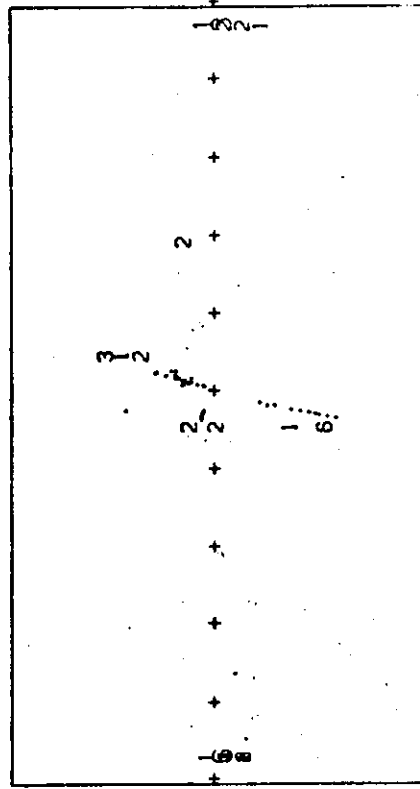
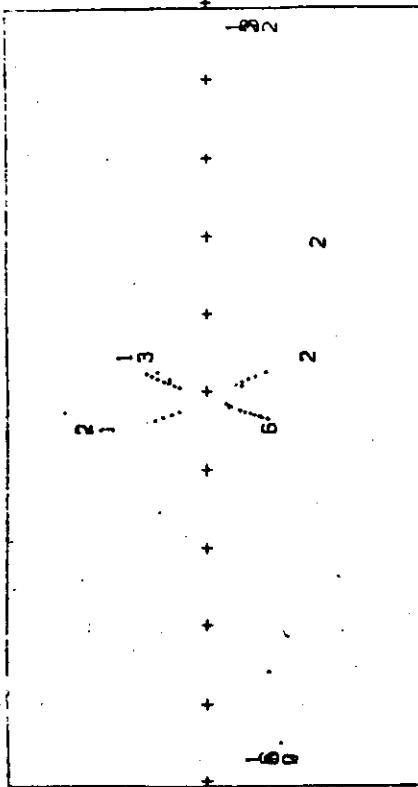


- 175 -

R U N \pm 18994

EVENT \pm 1867

X-VERSUS-Z AND
Y-VERSUS-Z VIEW
 $-7000. < Z < 7000.$
 $-750. < X < 750.$

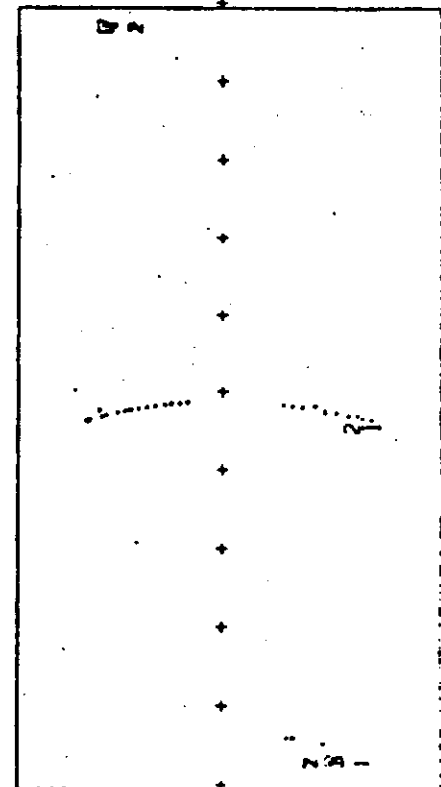
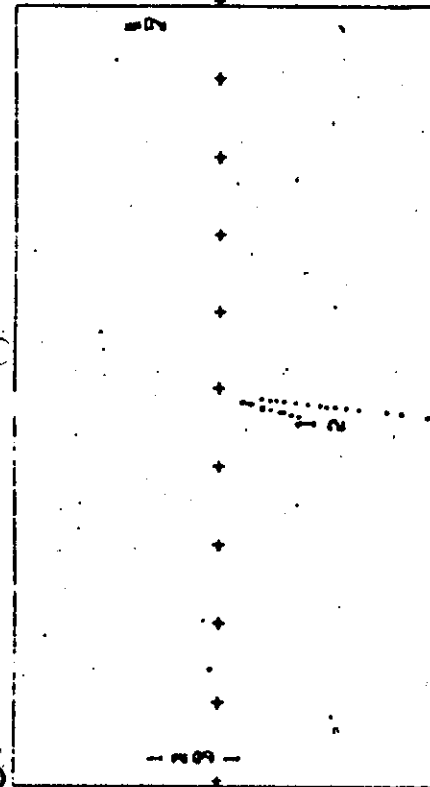


- 176 -

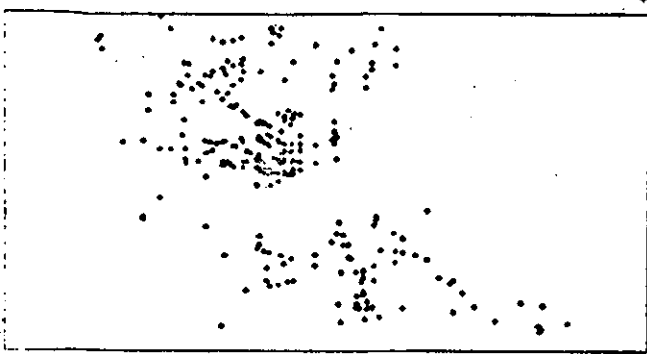
R U N \pm 19182

EVENT \pm 1643

X-VERSUS-Z AND
Y-VERSUS-Z VIEW
 $-7000. < Z < 7000.$
 $-550. < X < 550.$

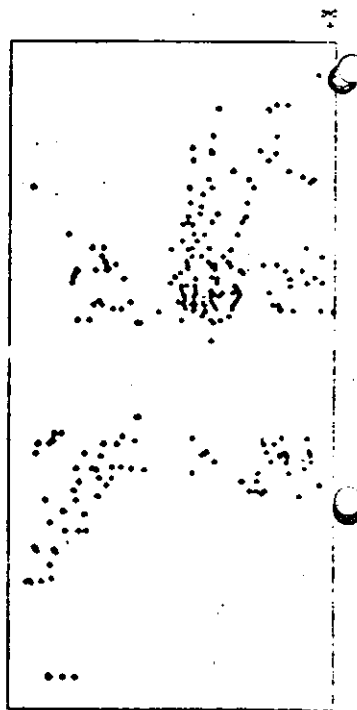


-177-



IN
EVNT 4897
SHAKER ADCS,SUM
CUTS=< 1.999,

-178-



C

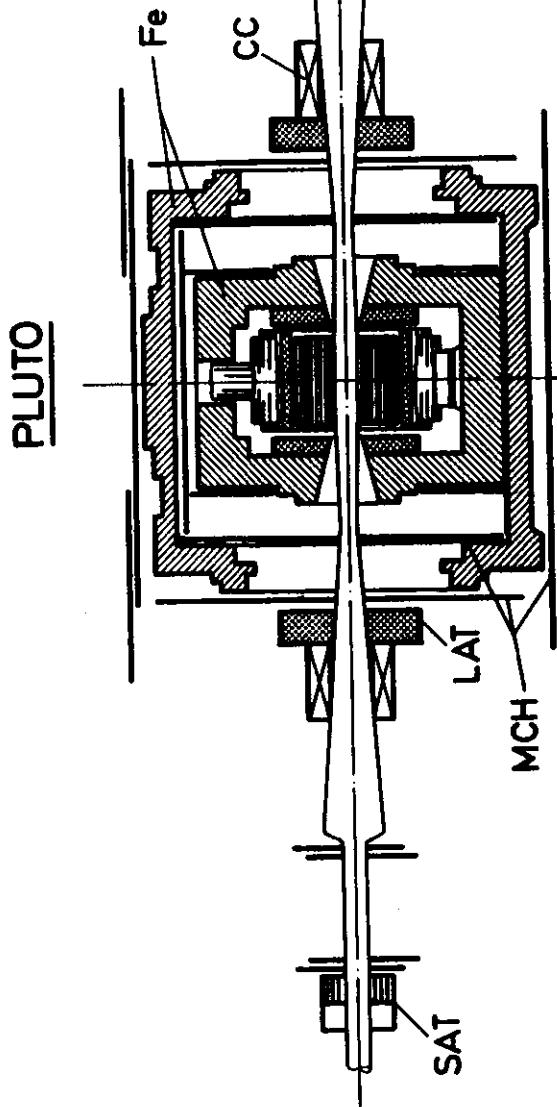
O

Ergebnisse der PLUTO-Kollaboration
bei PETRA, σ_{TOT} unter besonderer
Berücksichtigung der Luminositäts-
Messung

Werner Lackas
RWTH Aachen

ERGEBNISSE DER
PLUTO - Collaboration Lackas
bei PETRA Jan 1973

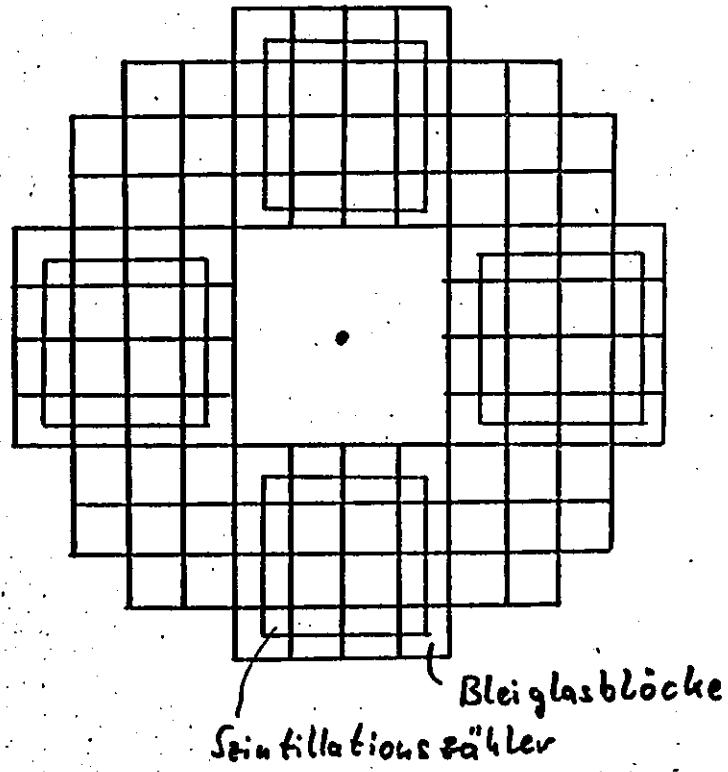
- σ_{TOT}
unter besonderer Berücksichtigung
der Luminositätsmessung
1. Detektorbeschreibung
2. σ_{TOT}
3. a) Hadronselektion
b) Luminositätsbestimmung

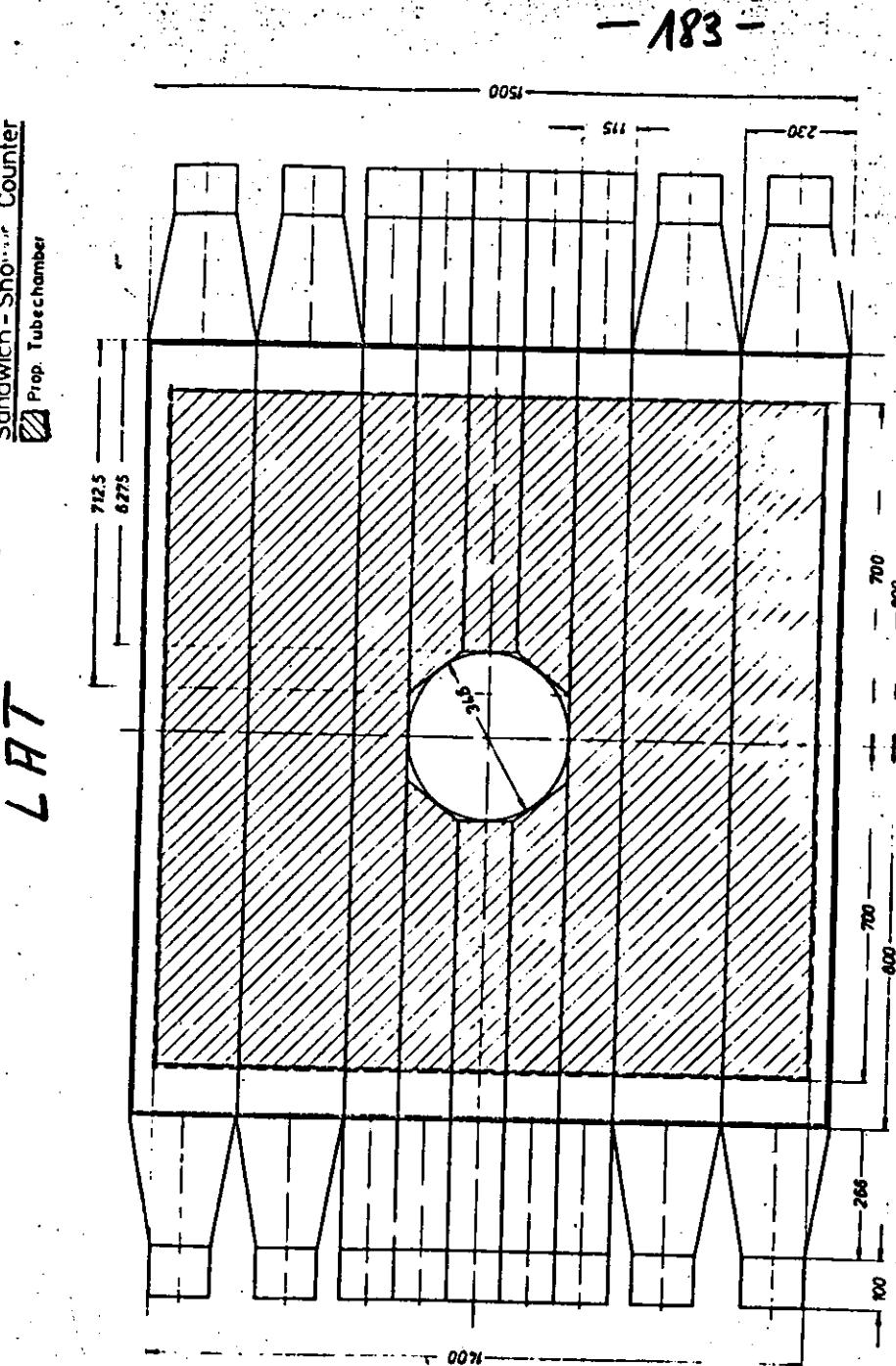


Barrel $58^\circ < \theta < 90^\circ$
 Endcap $15^\circ < \theta < 58^\circ$
 LAT $4^\circ < \theta < 15^\circ$
 SAT $1.1^\circ < \theta < 4^\circ$

Innen detektor Drahtkammern
 $30^\circ < \theta < 90^\circ \Rightarrow$
 geladenen Akzeptanz \geq
 86% von 4π

neutrale Akzeptanz \geq 99% von 4π





-183-

-184-

Vorwärtsspektrometer
(Luminositätsmonitor)

SAT 'Small Angle Tagger'

$$\Theta \rightarrow 23 - 70 \text{ mrad}$$

- o) Bleiglas-Matrix aus je 96 Elementen

$6.6 \times 6.6 \text{ cm}^2, 12.5 \text{ Str. L.}$

- o) 4 Scintillations Zähler

- o) 4 Ebenen Propkammer

LATT 'Large Angle Tagger'

$$\Theta \rightarrow 70 - 260 \text{ mrad}$$

- o) Blei-Scintillator Schauenzähler
13.5 Str. L.

- o) 5 Ebenen Prop.-Rohrkammern

$$G_{TOT} = \frac{N_{Had}}{L}$$

Hadronen Selektion

Luminositätsbestimmung

TRIGGER

- 1) 2 coplanare oder 3 beliebige Spurkandidaten im Juumdetektor
(Hadronen + QED , geladenen Trigger)
- 2) Mehr als 3 GeV in den inneren Schauerzählern
(Hadronen + QED , neutralen Trigger)
- 3) Mehr als 3 GeV in beiden Vorwärtsspektrometern
(Luminositätstrigger)
- 4) 2×0.5 GeV oder 1×3 GeV im Vorwärtsspektrometer + 1 GeV Schauerenergie oder 1 Spurkandidat im Juumdetektor
(2 γ Trigger)

↓

≈ 5 Hz Triggerrate

Hadronen selektion

1) Anzahl der geladenen Spuren ≥ 2

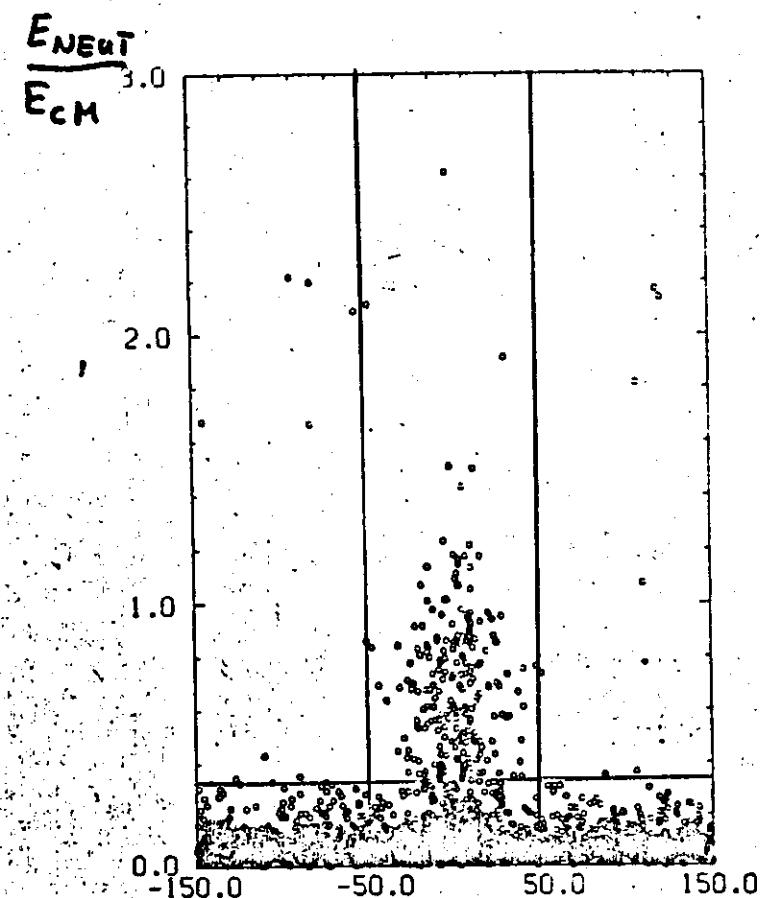
2) Winkelschnitt für 2 Spur Ereignisse

$$30^\circ < \Delta\phi < 150^\circ$$

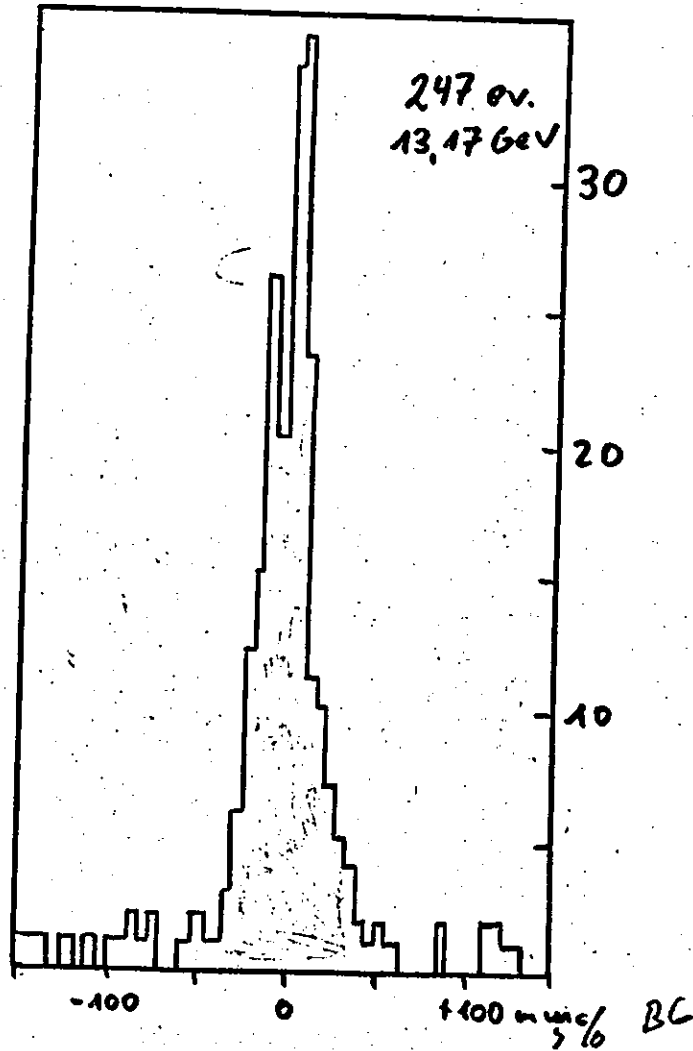
(QED + Cosmics)

3) Energieschnitt in der neutralen Energie

$$E_{\text{neut}} > .33 * E_{\text{CM}}$$



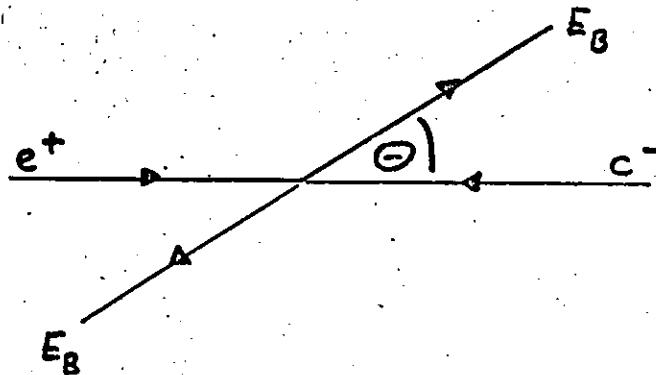
β -Verteilung der Hadronen



LUMINOSITÄTSBESTIMMUNG

Eichprozess

Bhabha

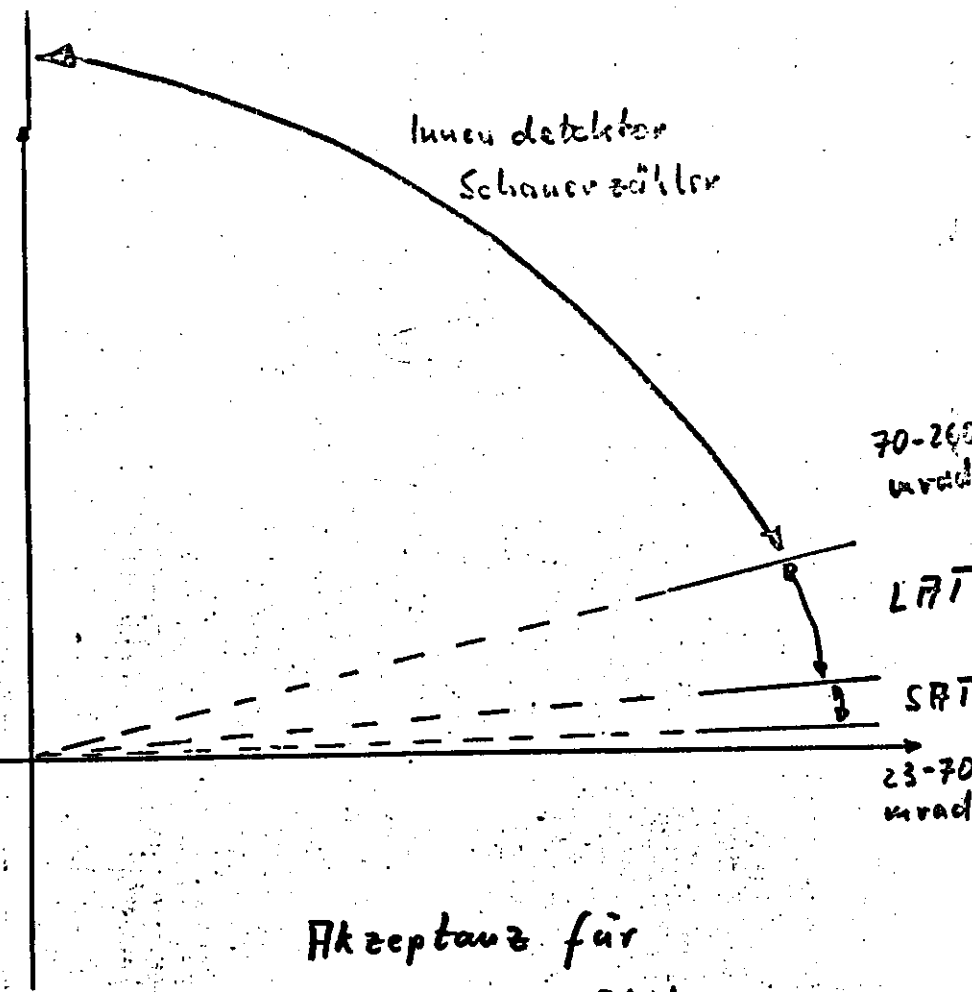


Erwartung:

a) co-lineare Ereignisse

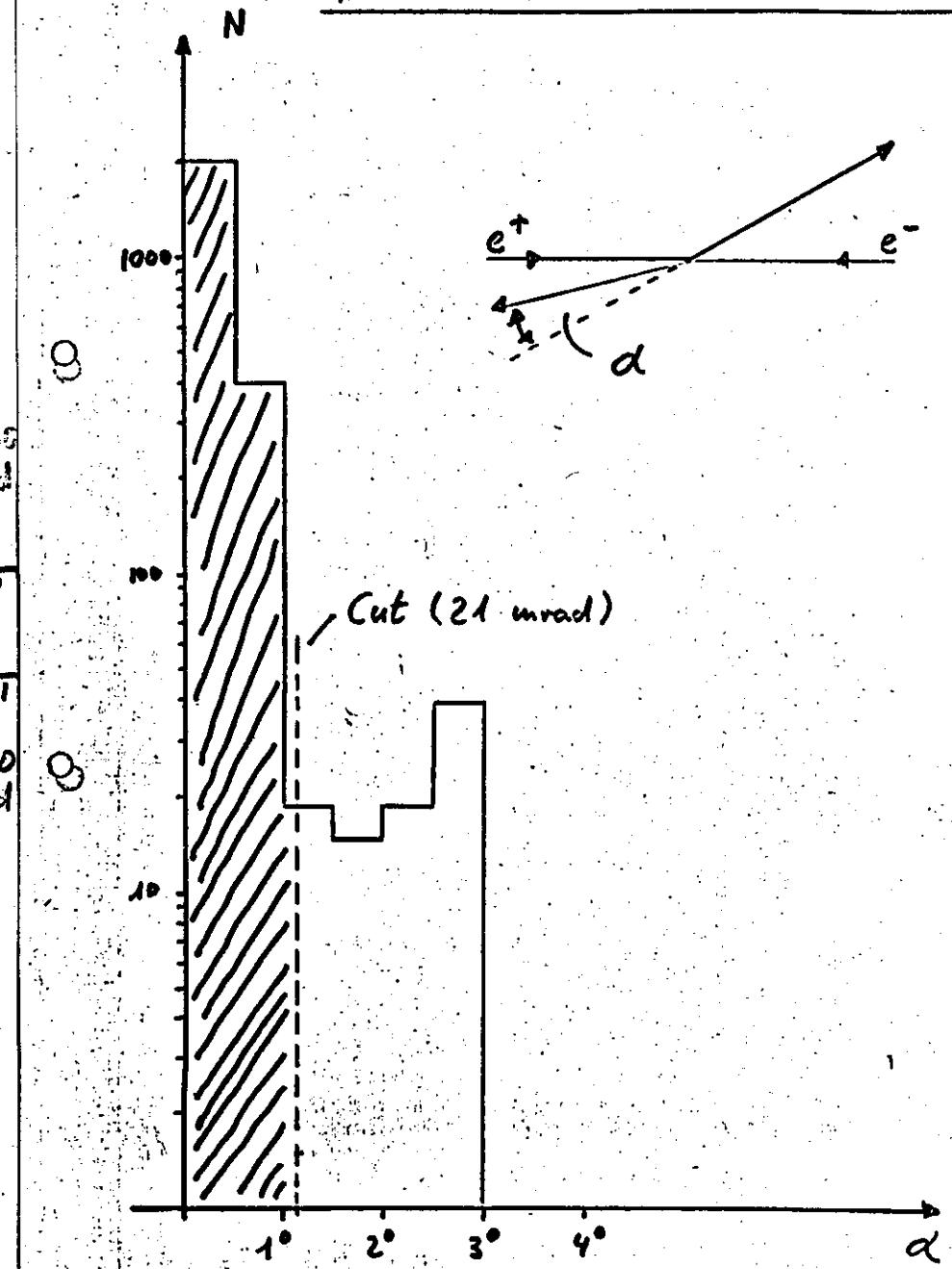
b) hohe Energie in Schauerzählern

-191-



-192-

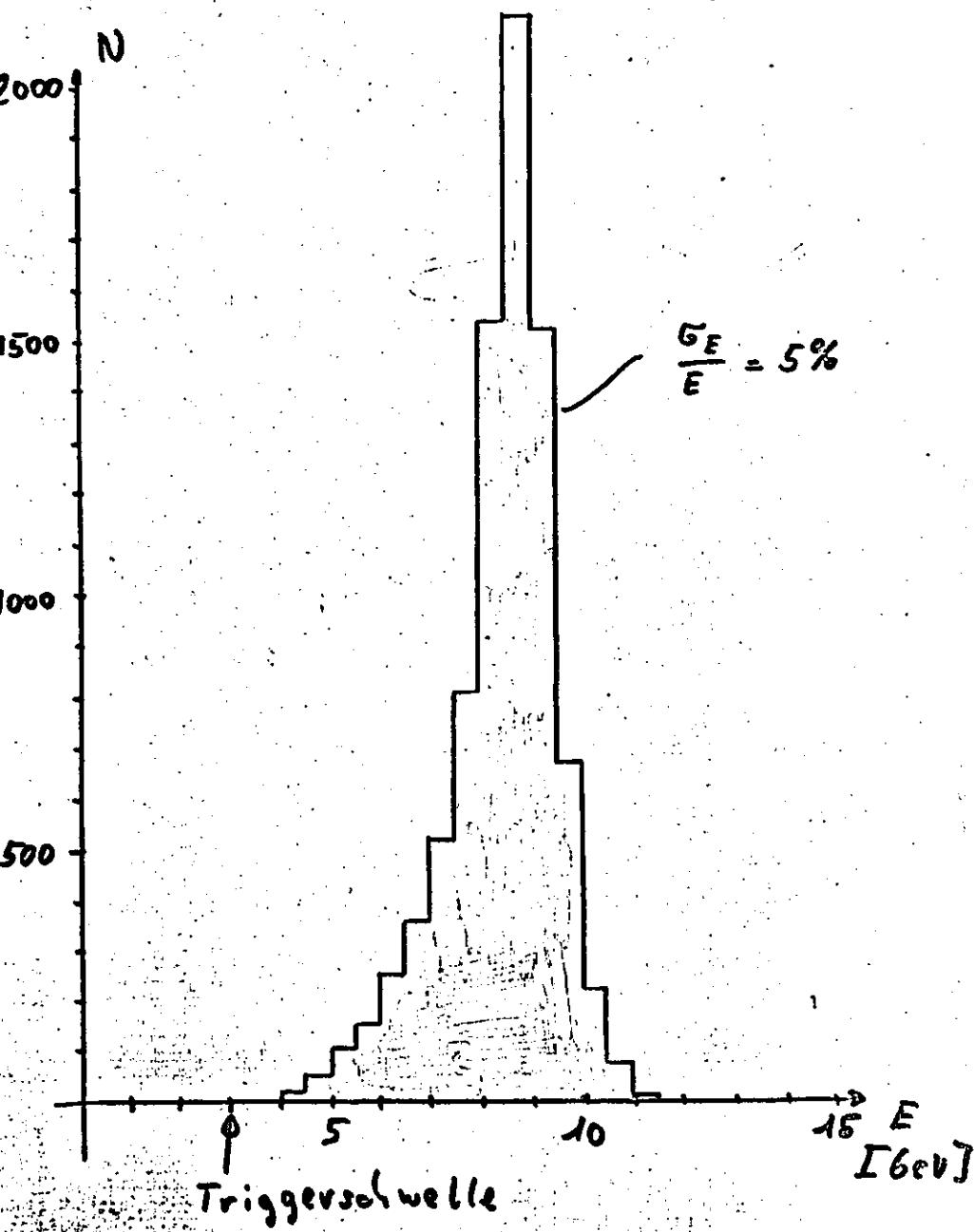
Akkollinearitätswinkel SAT



-193-

ENERGIE IM SAT

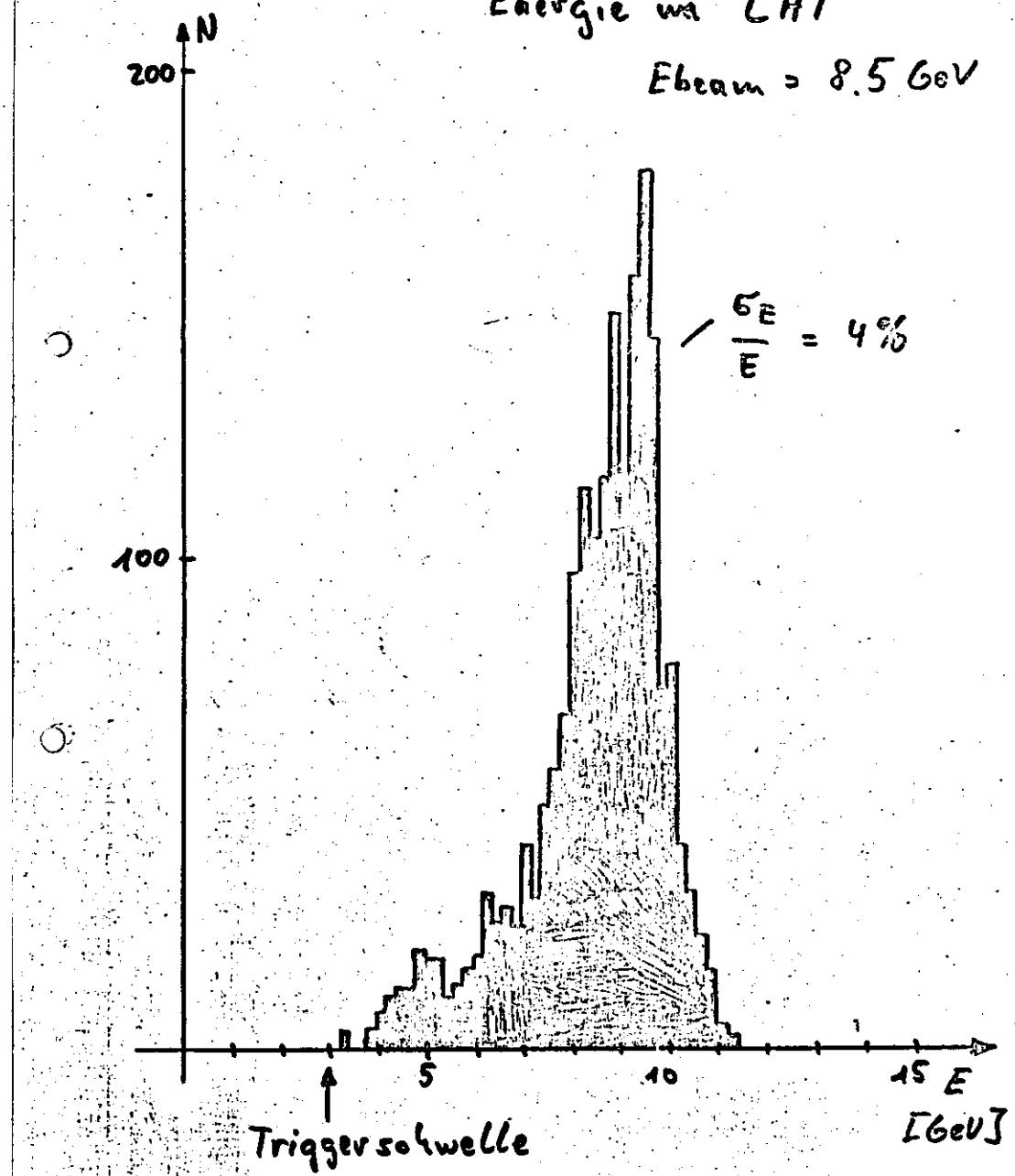
$E_{BERN} = 8.5 \text{ GeV}$



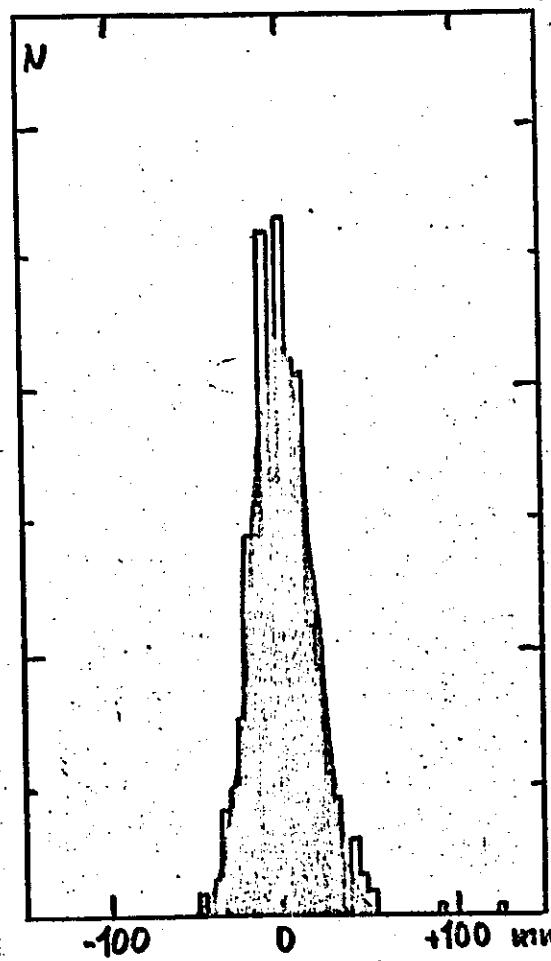
-194-

Energie im LAT

$E_{beam} = 8.5 \text{ GeV}$



-195-



Z-Verteilung der Innen detektor-

Bhabhas

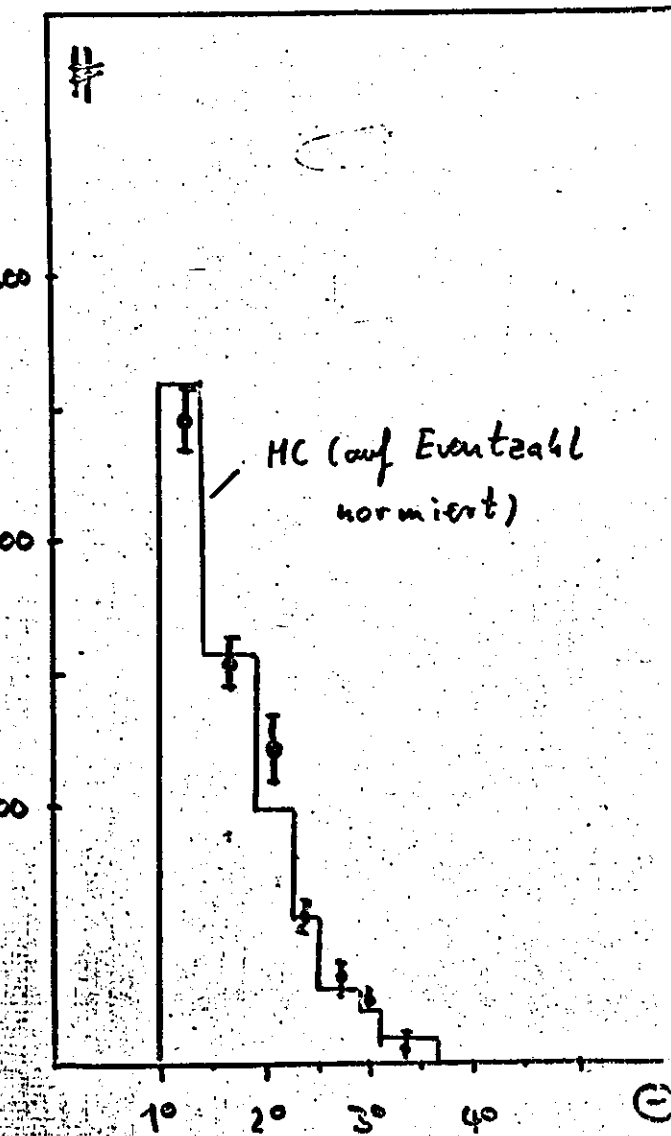
Gaußfit \rightarrow Bunchlänge σ_b

$$\sigma_b = 11.8 \pm 0.5 \text{ mm}$$

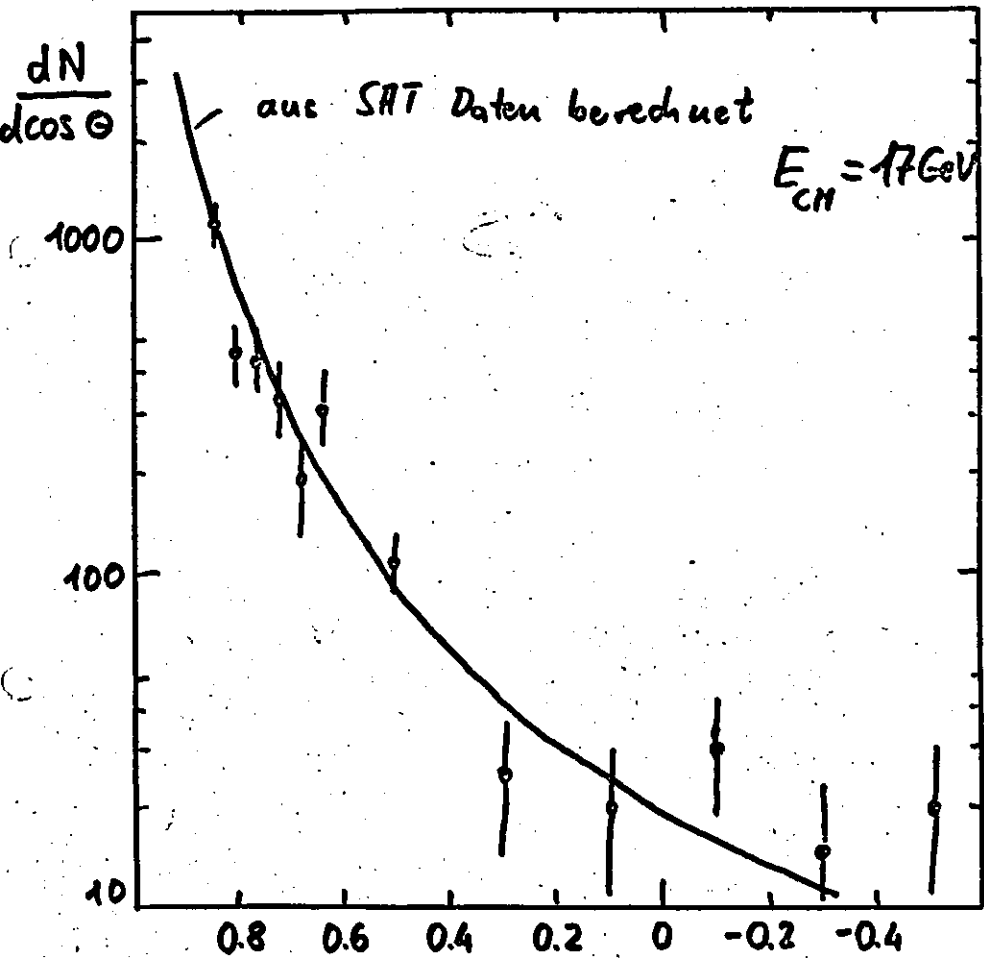
(erwartet 11.4 PETRA Hoch. Studien)

-196-

Winkelverteilung BHABHA
ECM = 17 GeV Σ AT



$e^+e^- \rightarrow e^+e^-$ Juelendetektor



— entspricht einer Erwartung
von 170 Ereignissen
| beob. 173 " |

Berechnung von R

$$R = \left(\frac{N_{Had} - N_{\gamma\gamma}}{\mathcal{L} \cdot G_{\mu\mu}} - R_{vis}^{Z\bar{Z}} \right) \cdot \frac{1 + \Delta^{str.}}{E}$$

Korrektur auf

$$\begin{aligned} & : \text{Strahlungskorr } \Delta^{str.} = -10\% \\ & : \text{Akzeptanz } \epsilon = 78\% \} \\ & : e^+e^- \rightarrow Z^+Z^- \rightarrow \text{Hadr. } R_{vis}^{Z\bar{Z}} = 12 \} \text{ MC} \\ & : 2\gamma\text{-Prozesse } N_{\gamma\gamma} = 13 \quad E_{cm} = 17 \\ & \qquad \qquad \qquad = 6 \quad E_{cm} = 13 \end{aligned}$$

$$\begin{aligned} N_{Had} &= 108 \quad E_{cm} 17 \text{ GeV} \\ &= 96 \quad E_{cm} 13 \text{ GeV} \end{aligned}$$

$$\begin{aligned} \mathcal{L} &= 88.3 \text{ nb}^{-1} \quad E_{cm} 17 \text{ GeV} \\ &= 42.6 \text{ nb}^{-1} \quad " 13 \text{ GeV} \end{aligned}$$

$$\Rightarrow R_{13 \text{ GeV}} = \underline{\underline{5.0 \pm 0.5}}$$

$$R_{17 \text{ GeV}} = \underline{\underline{4.3 \pm 0.5}}$$

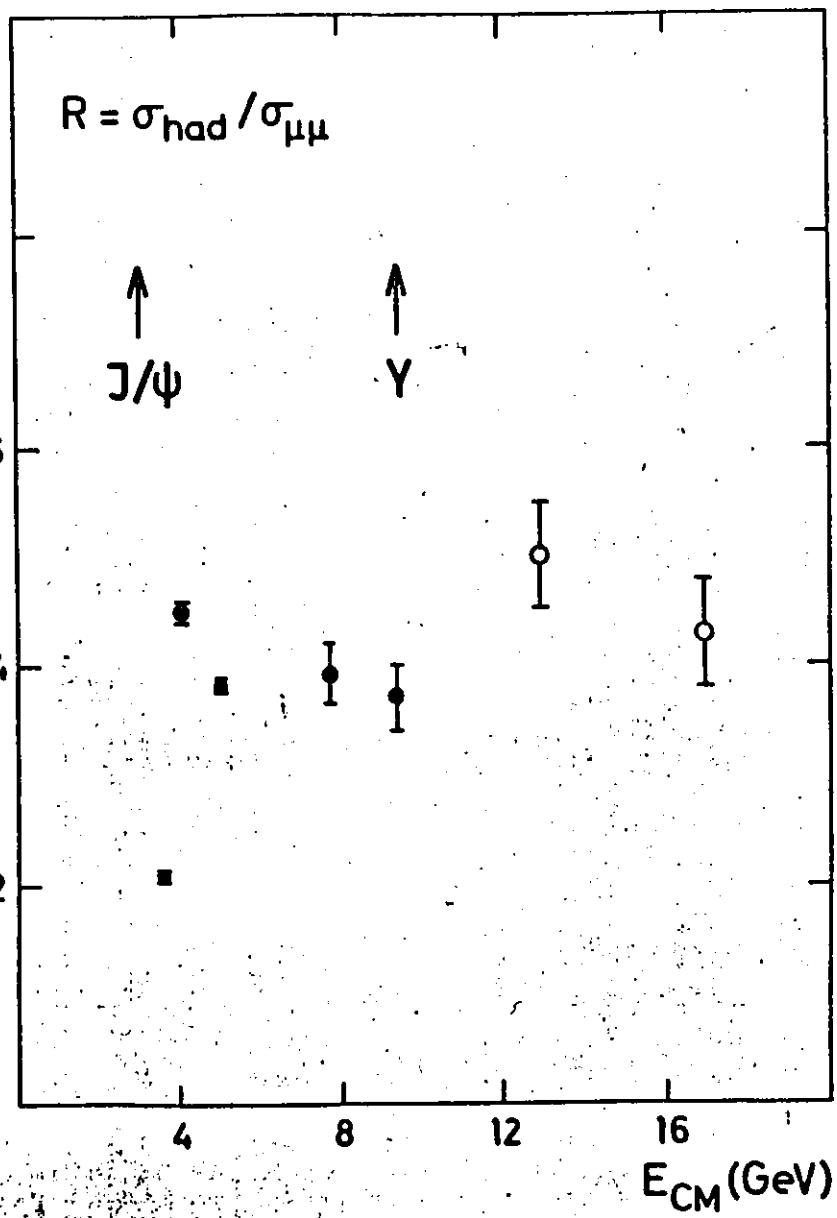


Fig. 5

DEUTSCHE PHYSIKALISCHE GESELLSCHAFT E.V.



Zusammenfassung:

Messung des totalen hadronischen Wirkungsquerschnitts bei 17 GeV Schwerpunktsenergie

PLUTO Collaboration (Sprecher W. Lackas, 1. Physikalisches Institut der RWTH Aachen)

Mit dem magnetischen Detektor Pluto wurden hadronische Reaktionen in der $e^+ e^-$ Paarvernichtung am Speicherring PETRA untersucht.

Es werden die ersten Ergebnisse bei 17 GeV Schwerpunktsenergie diskutiert. Insbesondere wird auch die Normierung durch Messung der Kleinwinkel Bhabha Streuung behandelt.

